



ORKUSTOFNUN  
Vatnsorkudeild

**JÖKULSÁR Í SKAGAFIRÐI**

**Stafnsvatnavirkjun  
Hljóðhraðamælingar 1981-1983**

Halína Bogadóttir

OS-84030/VOD-15 B

Mars 1984



**ORKUSTOFNUN**  
Grensásvegi 9, 108 Reykjavík

**JÖKULSÁR Í SKAGAFIRÐI**

**Stafnsvatnavirkjun  
Hljóðhraðamælingar 1981-1983**

Halína Bogadóttir

OS-84030/VOD-15 B

Mars 1984

EFNISYFIRLIT

bls.

|           |   |    |
|-----------|---|----|
| 1         | INNGANGUR   | 4  |
| 2         | HLJÓÐHRAÐAMÆLINGAR  | 4  |
|           | 2.1 Yfirlit   | 4  |
|           | 2.2 Takmörk hljóðhraðamælinga   | 6  |
|           | 2.3 Úrvinnsla   | 6  |
|           | 2.4 Stutt lýsing á mælilínum  | 7  |
|           | 2.4.1 A1 :Stíflustæði við Austaripolla og Geldingsá                     | 7  |
|           | 2.4.2 A2 :Skurðleið sunnan við Geldingsá                                | 7  |
|           | 2.4.3 B :Stíflustæði í Jökulsá í Pollagili                              | 8  |
|           | 2.4.4 C :Stíflustæði í Jökulsá við Hraunlæk                             | 9  |
|           | 2.4.5 D :Skurðleið sunnan við Reyðarvatn                                | 9  |
|           | 2.4.6 Kjarnaholur (GiGu)  | 10 |
|           | 2.4.7 Samanburður kjarnahola og hljóðhraðamælinga                       | 11 |
|           | 2.4.8 E :Skurðleið frá Reyðarvatni að Stafnsvötnum                      | 12 |
|           | 2.4.9 F :Stíflustæði við Rústakvisl                                     | 13 |
|           | 2.4.10 G :Skurðleið yfir að Rúnukvisl                                   | 13 |
|           | 2.4.11 H :Skurðleið yfir Hraunþufumúla                                  | 13 |
|           | 2.4.12 K :Stíflustæði við neðra Stafnsvatn                              | 13 |
|           | 2.4.13 L :Aðrennslisskurðleið Stafnsvötn-Giljamúli                      | 14 |
| VIÐAUKI A | Hljóðhraðalínurit SA(1981) og GS(1982, 1983)                            | 35 |
| VIÐAUKI B | Hljóðhraðamælingar - Töflur   | 51 |
| VIÐAUKI C | Coraborun - Töflur  | 61 |
| VIÐAUKI D | Kjarna-og Titringsholur - Töflur og Snið                                | 67 |
| VIÐAUKI E | Samaburður dýptarákvörðunar<br>hljóðhraðamælinga og kjarnaholur - Tafla | 69 |
| VIÐAUKI F | Kjarnaholur - Snið  | 71 |

## MYNDASKRÁ

- Mynd 0 Afstaða staðsetningarkorta
- Mynd 1 Staðsetning hljóðhraðamælisniða, cobrahola, kjarna-og titringshola
- Mynd 2 Staðsetning hljóðhraðamælisniða og cobrahola
- Mynd 3 Staðsetning hljóðhraðamælisniga og cobrahola
- Mynd 4 Stækkað kort af stíflustæði í Jökulsá í Pollagili
- Mynd 5 Línurit yfir hljóðhraða og dýpi á berggrunn (skv.öllum hljóðhraðamælingum)
- Mynd 6a Samanburður á hljóðhraðadreifingu á mismunandi svæðum
- Mynd 6b Samanburður á dýptardreifingu á mismunandi svæðum
- Mynd 7 Taftímakort. Skurðleið sunnan við Reyðarvatn
- Mynd 8 Dýpi á berggrunn. Skurðleið sunnan við Reyðarvatn
- Mynd 9 Samanburður á hljóðhraðamælingum og kjarnaholum. Skurðleið sunnan við Reyðarvatn
- Mynd 10 Snið eftir stíflustæði við Austaripolla (A1-A1')
- Snið eftir skurðleið sunnan við Geldingsá (A2-A2')
- Snið eftir stíflustæði á Jökulsá í Pollagili (B-B')
- Snið eftir stíflustæði á Jökulsá við Hraunlæk (C-C')
- Mynd 11 Snið eftir skurðleið sunnan við Reyðarvatn (D1-D1')
- Snið eftir skurðleið sunnan við Reyðarvatn (D1-D2')
- Mynd 12 Snið eftir skurðleið sunnan við Reyðarvatn (D3-D1')
- Snið eftir skurðleið sunnan við Reyðarvatn (D4-D5)
- Mynd 13 Snið eftir skurðleið frá Reyðarvatni að Stafnsvötnum (E-E')
- Mynd 14 Snið eftir stíflustæði við Rústakvísl (F-F')
- Snið eftir skurðleið yfir Runu (G-G')
- Snið eftir skurðleið yfir Hraunþúfumúla (H-H')
- Snið eftir stíflustæði í Giljamýrum (J-J')
- Mynd 15 Snið eftir stíflustæði við Neðra Stafnsvatn (K-K')
- Snið eftir aðrennslisskurðleið Stafnsvötn-Giljamúli (L-L')

## 1 INNGANGUR

Í þessari greinagerð er að finna niðurstöður og túlkun hljóðhraðamælinga sem gerðar voru sumrin 1981, 1982 og 1983 á væntanlegum stíflustæðum og veituleiðum Jökulsár eystri í Skagafirði. Árið 1981 var mælt á stíflustæði í Jökulsá sunnan við Austurípolla (SA 1-14), en árið 1982 hófst rannsókn á stíflustæðum við Jökulsá norðan við Austurípolla, stíflustæðum við Stafnsvötn og á skurðleiðum sunnan og norðvestan við Reyðarvatn (GS 1-65). Auk þess voru boraðar nokkrar cobrahólur við Stafnsvötn og á Giljamúla (GC 00-33). Fjórar hólur voru boraðar á svæðinu sunnan við Reyðarvatn, 2 kjarnahólur (GL01, GL02) og 2 titringshólur (með Borro IV), (GBL01, GBL02). Nánari upplýsingar um staðsetningar mælipunkta frá 1982 eru að finna í skýrslu Landmæling OS OS-82113/VOD-53 B.

Sumarið 1983 var rannsókn haldið áfram á væntanlegum veituleiðum við Rústakvísl, Runukvísl, Hraunpúfumúla og á Giljamúla. Einnig var fyllt inn í eyður við Stafnsvötn og Austurípolla (GS101 - 156). Boraðar voru 3 kjarnahólur sunnan við Reyðarvatn (GK03, GK04, GK05) og fjöldi cobrahóla sunnan við og norðvestan við Reyðarvatn og Runukvísl (GC101 - 205), (sjá OS-83110/VOD-39 B). Eins og sjá má á mynd 0 (yfirlitskort staðsetninga ) hafa á sumum mælingasvæðunum verið boraðar cobrahólur, auk hljóðhraðamælinganna. Mest var rannsakað á svæði sunnan við Reyðarvatn með þéttum hljóðhraðamælingum, cobraborunum og kjarnaborunum, og þess vegna er túlkun nákvæmari þar en á öðrum svæðum.

Rannsóknarsvæðinu er skipt niður í 11 mælisvæði, merkt A-L á mynd 0 og síðan eru teiknuð 15 langsníð (myndir 10-15) eftir öllum þessum svæðum og fylgja stuttar lýsingar fyrir hvert mælisvæði.

Allar hljóðhraðamælingarnar eru teiknaðar á kort (skv. skýrslum Landmælinga OS) í mælikvarða 1:20.000 og síðan minnkað í A4 (mælikv. ca. 1:55.000), (myndir 1, 2, og 3). Mynd 4 sýnir 4X stækkun af 1:20.000 kortinu af stíflustæðinu í Jökulsá norðan Austurípolla.

## 2 HLJÓÐHRAÐAMÆLINGAR

### 2.1 Yfirlit

Rannsóknarsvæðinu (hnit: X = 516.000 - 544.000, Y = 507.000 - 526.000) er skipt í eftirfarandi mælisvæði, (sjá mynd 0):

#### a) Hljóðhraðamælingar :

- A (GS140-GS147). Stíflustæði við Austurípolla og skurðleið sunnan við Geldingsá (myndir 1, 10).
- B (GS1-6 , GS9-21 og SA14 ). Stíflustæði í Jökulsá í Pollagili (myndir 1, 4, 10).
- C (SA7-13). Stíflustæði í Jökulsá sunnan við Hraunlæk (myndir 1, 10).

- D (SA1-6, GS7-8, GS22-38). Skurðleið sunnan við Reyðarvatn (myndir 1, 11, 12).
- E (GS39-54, GS56X, GS57-63). Skurðleið frá Reyðarvatni að Stafnsvötn (myndir 1, 2, 13).
- F (GS-150-153). Stíflustæði við Rústakvísl (myndir 2, 14).
- G (GS101-109). Skurðleið yfir Runukvísl (myndir 2, 14).
- H (GS130-134). Skurðleið yfir Hraunpáfumúla (myndir 2, 14).
- K (GS55, GS56, GS64-65, GS111-113, SG154-156). Stíflustæði við Neðri Stafnsvötn (myndir 3, 15).
- L (GS114-127). Aðrennslisskurðleið Stafnsvötn Giljamúli (myndir 3, 15).

**b) Cobraboranir voru gerðar eftir á eftirfarandi línnum**

- D Sunnan við Reyðarvatn
  - D1 - D1' (GC117-124) GK05, GBL01
  - D1'- D2 (GC126-132) GL02, GK03, GK04, GK05
  - D3 - D1' (GC109-116)
  - D4 - D5 (GC101-108, 134-139) GL01, (GBL02)
- E (GC 146-149, 196-205, 150-183, 206-216, GC184-194) frá Reyðarvatni að Stafnsvötnum
- G (GC217-235) yfir Runukvísl
- J (GC11-33) í Giljamýrum
- K (GC00-10) við Stafnsvötn

**c) Kjarna- og titringsholur**

Borholur eru allar 7 á svæði D, 5 kjarnaholur: GL01, GL02, GK03, GK04, GK05 og 2 titringsholur: GBL01, GBL02.

Alls voru mæld 134 hljóðhraðasnið, boraðar 172 cobraborun, 5 kjarnaholur og 2 titringsholur.

Skipting rannsókna milli ára :

Árið 1981 SA1-14 (14 hljóðhraðasnið)

Árið 1982 GS1-65 (66 hljóðhraðasnið) 33 cobraboranir, 4 borholur

Árið 1983 GS101-156 (54 hljóðhraðasnið) 138 cobraboranir, 3 borholur

Nánari upplýsingar um cobraboranir er að finna í töflum í skýrslum OS-82113/VOD-53 B og OS-83110/VOD-39 B sem sýna hnit og bordýpi. Einingar eru þar teikningar af cobraborunum, sem sýna samband milli dýpis og bortíma.

Tilgangur mælinganna var að finna þykkt og hljóðhraða jarðlaga á stíflustæðum og skurð- og veituleiðum.

Mælingarnar gerði Jósef Hólmjárn með 12 rása ABEM tæki og Bison Geo-Pro 8012 tæki.

Öll hljóðhraðalínurit og túlkun þeirra eru sýnd í viðauka A og B. Sjá má að mællínur eru annaðhvort 65 m eða 107 m á milli skotpunkta A og B, og oft var auka sprengipunktur í miðju hljóðhraðasniðinu til að bæta við upplýsingum um yfirborðsjarðlög, sérstaklega þar sem óregla er.

## 2.2 Takmörk hljóðhraðamælinga

Ýmsir erfiðleikar komu fram við túlkun hljóðhraðamælinga, og verður það rætt betur í kafla 2.4 þar sem hverju mælisvæði er lýst. Hér er þó rétt að benda á algengt vandamál við túlkun hljóðhraðamælinganna (bókstafir skv. merkingu í töflum):

- 1) Q - línurit ógreinilegt. Fyrir kemur að orkubylgjan deyfist svo, að mjög óregluleg mynd er af brotnum P-bylgjum úr háhraðalaginu. Erfitt er að túlka svona mælingar nema rétt til að finna út fjölda hljóðhraðalaga. Upplýsingar verða aldrei nákvæmar.
- 2) O - minnsta dýpi á fast.
- 3) P - mesta dýpi á fast. Stundum er erfitt að greina hraða efsta lags (V1) nákvæmlega en hann skiptir miklu máli við dýpis útreikninga, sérstaklega í tveggja laga hljóðhraðalíkani, (lagamótin hliðrast upp eða niður í réttu hlutfalli við hljóðhraða V1). Þess vegna er í þessum tilfellum giskað á lágmarks/hámarks V1 gildi og reiknað minnsta/mesta dýpi á fast (þykkt lags 1).
- 4) H - möguleiki á þunnu ca. 4 metra "millilagi". Þegar mælingar eru nokkuð þétt saman, og á nokkrum þeirra "sést" greinilega millilag en ekki á nálægum hljóðhraðasniðum er spurning hvort "millilag" (þ.e. milli lausra yfirborðslaga og berggrunns) sé ekki til á svæðinu, en ef það er ekki þykkara en efsta lag, eða hljóðhraðaskil þessara tveggja laga eru ógreinileg, þá kemur það ekki fram á hljóðhraðalínuritinu og útreiknað dýpi á fast er of lítið.
- 5) D - túlkun óviss. Nokkrir möguleikar koma til greina við túlkun með mismunandi líkani.
- 6) G - gott línurit sem sýnir greinileg hljóðhraðaskil og fjölda laga, svo að það verður ekki túlkað öðruvísi.

Nokkuð ákveðin V3 gildi fáast úr mælingum, þar sem bylgja berst í "föstu bergi" og líka er hægt að reikna tímatöf (með hjálp forrita) á bylgju sem berst í gegnum laus jarðlög. Ef hljóðhraði í lausum lögum er þekktur er hægt að reikna nákvæmlega dýpi undir hverjum hljóðnema sem tekur á móti fyrsta komutíma úr "föstu bergi".

Gera má ráð fyrir að skekkja mælinganna hvað varðar þykkt einstakra laga sé 10-20%. Sé lag minna en ca. 3 m að þykkt getur í mælingum skeikað um 1 m til og frá.

Niðurstöður hljóðhraðamælinga gefa einar sér engan veginn fullnægjandi upplýsingar um eðli og uppbyggingu lausra yfirborðslaga og efsta hluta berggrunnsins. Þær gefa hugmynd um hvort uppbygging jarðlaga sé einföld og benda á svæði með óreglu sem athuga þarf betur með öðrum beinum eða óbeinum aðferðum.

## 2.3 Úrvinnsla

Við úrvinnsluna var notuð VAX-tölva OS og teikniborð TEKTRONIX 5663 og eftirtalin forrit:

SEISM (til að reikna þykkt mismunandi laga skv. "Time intercept--aðgerð").

GTPL0T (til að teikna cobra - og hljóðhraðamælipunkta).

JSVPRX (til upplýsinga um hnit, hæð og niðurstöður á töfluformi).

SEITEI (til að teikna línurit af mælingum).  
HYSTSORT (línurit af skiptingu hljóðhraða eftir að raunverulegur hljóðhraði hefur verið reiknaður)  
HYSTPL (til að teikna skiptingu hljóðhraða í hundradshluta )  
VDREIF (línurit yfir öll hljóðhraðagildi)

Allar upplýsingar eru á skrá sem ber heitið \*S og er geymd á diskettu (VOD 242) label SKAG á Orkustofnun.

Niðurstöður eru í töflu og á langsniðum merktar A-L (myndir 10-15), þar sem allar upplýsingar voru teiknaðar inn á sama stað (hljóðhraðamælingar, cobraborun, kjarnaholur).

Mynd 5 sýnir skiptingar eftir hljóðhraða skv.öllum hljóðhraðamælingum í Skagafirði 1981-83. Á mynd 5a er mynd sýndarhljóðhraði af öllu svæðinu, en á mynd 5b er teiknuð upp svipuð skipting, eftir að raunverulegur hljóðhraði hefur verið reiknaður. Yfirleitt koma fram 3 hljóðhraðalög :

- Lag 1  $V_1 = 0,5$  (SD=0,1) km/s yfirborðslag, misþykkt en of (<3 m)  
Lag 2  $V_2 = 1,3$  (SD=0,3) km/s kemur vel fram á sumum stöðum þykkt; þynnri lög en 3 m "sjást" ekki á hljóðhraðalínu  
Lag 3  $V_3 = 3,1$  (SD=0,6) km/s er mjög algengur hraði fyrir berg" svæðisins (SD = 0,6) en  $V_3$  gildi sýnist vera breytta frá 2,2 km/s til 4,4 km/s. Skv. þessu gildi er berg skipt í 3 hópa.

$V_3 < 2,6$  km/s lághraði í neðsta laginu.

$V_3 = 2,7 - 3,3$  km/s algengur hraði í neðsta laginu.

$V_3 > 3,4$  km/s háhraði í neðsta laginu.

Dýptarsúlurit (mynd 5c) sýnir að um 50% mælinga sýna dýpi á fast minna en 4 m og 80% af mælingum sýna dýpi á fast berg minna en 10 m.

## 2.4 Stutt lýsing á mælingum

### 2.4.1 A1 :Stifflustæði við Austarípolla og Geldingsá (G)

### 2.4.2 A2 :Skurðleið sunnan við Geldingsá (GS140-143).

Gerðar voru 8 mælingar og eru línurit einstakra prófíla sýnd í viðauki A og niðurstöður á langsniðum á mynd 10 og í töflu (viðauki B).

Mælingarnar sýna ekki glögg hljóðhraðaskil og ekki er gott samræmi milli þeirra.

Hljóðhraði

Túlkun

1.  $V_1 = 0,5$  km/s

Yfirborðslag um 2-3 m þykkt

2.  $V_2 = 1,2$  km/s

Lag 2 sem er um 4-7 m þykkt, en "sétt" ekki á öllum hjálíkjandi mælingum.  
Það er mögulegt að lag 2 sé alstaðar

á svæði A, en þar sem þykkt lags 2 er svipuð og þykkt lags 1 (yfirborðslags) kemur það ekki fram. Útreiknað dýpi er lágmarks gildi. Á 3-10m dýpi.

3.  $V_3 = 2,7$  km/s

Við suðurenda skurðleiðar er hljóðhraði mikill eða 3,8 km/s.

Engin kjarnahola var boruð á þessari leið til að kanna betur, hvort lag með hraða um 3,8 km/s sé undir lagi 3 (með hraða 2,2-3 km/s). Ef um slíkt væri að ræða þá myndi lag 4 vera í ca. 710 m y.s. (A2-A2').

Athyglisverð er óregla línurita GS142 og GS143 (mynd 18) sem geta bent á óreglu í jarðlögum.

#### 2.4.3 B :Stíflustæði í Jökulsá í Pollagili

(GS1-6, 9-21, SA14) (sjá kort á mynd 4 og mynd 9).

Vestan við Jökulsá, þar má greina tvö lög:

Hljóðhraði

1.  $V_1 = 0,5$  (0,6-1,0 km/s)

2.  $V_3 = 3,0$  km/s

Dýpi á "fast" (hljóðhraðalag með 3 km/s) er um 3 m við ána og vex til vesturs í 13 m (ca. 705 m y.s.)

Austan við Jökulsá má greina þrjú lög:

Hljóðhraði

Túlkun

1.  $V_1 = 0,5$  km/s

$h_1 = 1-2$  m

2.  $V_2 = 1,5$  km/s  
(1,3-2,0 km/s)

$h_2 = 5-10$  m

3.  $V_3 = 3,4$  km/s

$H = h_1 + h_2 = 6-15$  m

Mesti hraði millilags( $V_2$ ) og bergs( $V_3$ ) er við ána, þar sýndist líka vera mesta dýpi á fast.

#### 2.4.4 C :Stiflustræði í Jökulsá við Hraunlæk (SA7-13).

Myndir 1 og 10. Gott innbyrðis samræmi er milli mælinga. Þær eru glöggar og sýna tvö lög:

| Hljóðhraði       | Túlkun   |
|------------------|--|
| 1. V1 = 0,8 km/s | Gildi fyrir efra hljóðhraðalag er líkleg ágiskun. Samkvæmt því gildi (0,7-0,9) er dýpi á lag 2 breytilegt, 3-14 m. |
| 2. V3 = 2,8 km/s |  |

Mæling SA10 með óvissu merki sýnir öflug hljóðhraðaskil 3,0/2,0 km/s.

#### 2.4.5 D :Skurðleið sunnan við Reyðarvatn (SA1-6, GS7-8)

Myndir 1,11 og 12. Þetta svæði hefur verið mest rannsakað með hljóðhraðamælingum og líka með fjölda cobraborana og 6 borholum. Úrvinnsla er nákvæmari en á öðrum svæðum og reynt var að tengja saman niðurstöður ýmissa mæliaðferða til að fá samilega glögga mynd af uppbyggingu lausra jarðlaga og berggrunnsins. Gerðar voru 25 hljóðhraðamælingar (SA1-6, GS7, 8, 22-38), og eru línurit einstakra mælisniða sýnd í viðauki A. Niðurstöður eru sýndar á 4 langsníðum, D1 - D5 (myndir 11, 12) ásamt 41 cobraholum (GC101-GC142), 5 kjarnaholum (GL01, GL02, GK03, GK04, GK05) og 2 titringsholum (GBL01, GBL02). Hljóðhraði bæði berggrunnsins og ofanálíggjandi laga er breytilegur á svæðinu.

| Hljóðhraði               | Túlkun   |
|--------------------------|--|
| 1. V1 = 0,5 eða 1,6 km/s | Lag þetta er um 5-15 m þykkt, fyrir kemur í nokkrum mælingum að lag þetta skiptist glöggt í þunnt, ca. 2 m lag með V2 = 0,5 km/s og undirlíggjandi lag með 1-1,6 km/s. Sennilega óglögg skil á milli laga vegna lítils þykktarmunar samliggjandi laga. Grunnvatnsborð á breytilegu dýpi getur líka valdið skekkju. |
| 2. V3 = 3,2 km/s         | Hljóðhraði (berggrunnsins) kemur skýrt fram en er breytilegur á þessu svæði, eða frá 2,5 - 4,0 km/s og hægt er að greina V3 í 3 hópa (sjá myndir 7 og 8).  |

Hljóðhraði lausra jarðlaga er óviss og líklega einnig breytilegur. Hann skiptir miklu máli við útreikninga á dýpi. Taftími var reiknaður með plús-mínus aðferð (forrit PLUMI 1, sem K.G. hannaði). Forritið reiknar taftíma mælipunktanna, skotpunkta og hraðann V með aðferð minnstu kvaðrata. Niðurstöður taftímareikninganna eru sýndar á mynd 7 sem taftímakort af mælisvæðinu sunnan við Reyðarvatn. Til að umreikna taftímakort yfir í dýptarkort (mynd 8) þarf að fá upplýsingar um hljóðhraða jarðgrunnsins (V1 og/eða V2) og í grófum dráttum margfalda með tímatöf gildi í punktinum, þar sem reikna skal dýpi (gildi í ms á taftímakorti), þ.e. ef hraði efsta lags væri sá

sami á svæðinu þá mundi dýpi grunnlags vaxa í réttu hlutfalli við tímatöfina.

Fyrir tveggja laga líkani:

$$d_1 = h_1 = d_p \frac{V_2 \cdot V_3}{\sqrt{V_3^2 - V_2^2}}$$

$d_1$  - dýpi á berggrun

$d_p$  - tímatöf í punkti þar sem reikna skal dýpi

$h_1$  - þykkt laga 1

$v_2$  - bylgjuhraði í lausu jarðlögum

$v_3$  - bylgjuhraði í berggrunni

Fyrir þriggja laga líkani :

$$d_2 = h_1 + h_2 = d_1 + (d_p - d_1 \frac{\sqrt{V_3^2 - V_1^2}}{V_3 \cdot V_1}) \frac{V_3 \cdot V_2}{\sqrt{V_3^2 - V_2^2}}$$

$d_2$  - dýpi á berggrun

$h_2$  - þykkt laga 2

$v_1$  - bylgjuhraði í þunna yfirborðslaginu

Vegna breytilegs hraða var giskað á gildi  $V_1$  og/eða  $V_2$  (sjá mynd 7).

Merkt er "óvissusvæði" þar sem misræmi er á milli samliggjandi hljóðhraðamælinga. Mynd 8 (dýptarkort) sýnir dýpt skv. hljóðhraðamælingum, cobraholum og öðrum borholum. Dýpi á berggrun er breytilegt um 4-15 m, víðast um 10 m, en snarminnkar rétt hjá Reyðarvatni (í ca. 2 m) (GS37).

Tengsl á milli borhola (kjarna- og titringsborh.) og hljóðhraðamælinga eru sýnd á mynd 9 og í viðauka E.

#### BORHOLA

#### HLJÓÐHRAÐAMÆLING

|       |                                 |
|-------|---------------------------------|
| GL01  | GS7                             |
| GL02  | á milli GS8 og GS26             |
| GL03  | hjá GS28                        |
| GL04  | hjá GS30 (á milli GS29 og GS30) |
| GBL01 | GS32                            |
| GBL02 | hjá SA03                        |

#### 2.4.6 Kjarnaholur (Gisli Guðmundsson)

GL-01 Snið kjarnahola eru sýnd í viðauka F. Efst er um 4 m þykkt laust yfirborðslag. Neðan 4 m verður töluverð hörkubreyting, komið í jökulruðning. Hann er þó ekki kjarnatækur, millimassin skolast í burtu við borun. Á um 7 m dýpi er komið í ólavin basalt, sem nær

niður á holubotn, 22,6 m dýpi. Lagið er beltað, það skiptast á fín og stórblöðrótt belti (sjá viðauka F). Lektarmæling var framkvæmd í holunni (með sænskum pakkara). Samkvæmt henni reyndist lektin frekar lítil í basaltinu. Lektin var ekki mæld í jökulruðningnum.

GL-02 Tæplega 6 m þykkur jökulruðningur liggur ofan á ólivin basalti á þessu holustæði. Það kemur fram hörkubryting í jökulruðningnum á um 2,5 m dýpi. Mörkin milli jökulruðnings og basalts eru mjög óljós því kjarni fékkst ekki fyrr en á 7 m dýpi (sjá viðauka F). Út frá borhraðanum hafa lagamótin verið átluð á 5,6 m dýpi. Basaltið náði niður á 10,5 m dýpi, en enginn kjarni kom úr neðstu 15 cm. Frá um 7 m til 9,5 m dýpi hefur basaltið lágt RQD gildi, enda er það stórblöðrótt og sprungið. Frá 8 m til 9 m dýpi var algengt skoltap í holum, en það bendir til mikillar lektar á því dýptarbili, en lektarmælingar voru ekki framkvæmdar.

GK-03 Efst er 5-6 m þykkur jökulruðningur, ósamlímdur og ekki kjarnatækur. Neðan við jökulruðningin er um 0,5 m þykkur leirfylltur kargi. Á 6,5 m dýpi tekur við dílabasalt. Basaltið fær háa kjarnaheimtu. Það er nokkuð sprungið og blöðrótt, sérstaklega neðri hluti þess. Basaltið er um 4 m þykkt. Þar fyrir neðan tekur við rúmlega 1 m þykkur kargi. Á 11,7 m dýpi og niður á 12,4 m dýpi er vel samlímt völuberg. Þar tekur við flögótt þóleítt basalt. Það nær niður á 13,6 m dýpi. Frá 13,6 m til 14,2 m er vel samlímt völuberg. Frá 14,2 m til 20,2 m dýpis er dilótt basalt með háa kjarnaheimtu og hátt RQD. Neðan þess og niður á holubotn í 22,4 m er vel samlímt völuberg. Ófullkomin lektarmæling frá 6,8 m og niður á botn bendir til lítillrar lektar.

GK-04 Um 4 m þykkur laus jökulruðningur liggur ofan á ólivin basaltlagi. Basaltið er mjög heillegt, nema á 5,2 m dýpi. Þar er kjarnin kurlaður og varð jafnframt skoltap á þessu dýpi. Á 7 m dýpi er vel samlímdur kargi, en mjög sprunginn. Á 7,5 m dýpi tekur aftur ólivin basalt við, samskonar basalt og að ofan og nær niður á 72 m dýpi. Þar tekur við um 1 m þykkur kargi, síðan heillegt basalt niður á holubotn á 44,5 m dýpi. Ekki voru framkvæmdar lektarmælingar í holunni, en eins og áður segir varð skoltap á 5,2 m dýpi, sem bendir til mikillar lektar á því bili.

GK-05 Efst er 8 m þykkur ósamlímdur jökulruðningur. Á um 8 m dýpi er plagíóklas dilótt basalt, frekar heillegt. Á 12 m dýpi er kargalegt berg. Basaltið nær niður á 25 m dýpi, þar tekur við vel samlímt völuberg og sandsteinslög niður á 29,3 m dýpi. Basalt (plag.dilótt) nær niður á botn í 30,5 m. Lektarmæling var framkvæmd frá 8,7 til 30,5 m. Reyndist lektin vera um 5 Lu. Við borunina varð skoltap á um 9 m dýpi og 28,5 m dýpi. Bendir það til frekar mikillar lektar á því dýpi.

#### 2.4.7 Samanburður kjarnahola og hljóðhraðamælinga

##### KJARNAHOLA GLO1 - mælisnið GS7.

Þykkt yfirborðslag (um 4 m) liggur ofan á næstum því jafn þykkum jökulruðningi. Á hljóðhraðaferlinum koma ekki fram skil á milli yfirborðslags og jökulruðnings heldur "sést" aðeins eitt lag með hraða um 0,9 km/s. Ólivin basaltið á 7 m dýpi (JVB er líka á 7 m

dýpi) sýnir frekar mikinn hraða eða um 4 km/s. Dýpis útreikningar á fast passa ágætlega saman.

#### KJARNAHOLA GLO2 - milli mælisnið GS8 og GS26.

Efst 2,5 m er laust yfirborðslag, þá 3,5 m vatnsmettaður jökulruðningur (JVB á 3 m dýpi) og ólivín basalt frá 6 m. Svæði í kringum þessa holu sýnir mesta óvissu, og er því mikið ósamræmi á milli nálægra hljóðhraðamælinga. GS8 sýnir eitt 6 m þykkt lag með 0,6 km/s ofan á fast bergi með 3,8 km/s, en GS26 sýnir 3,5 m lag með  $V1 = 0,4$  km/s, þá millilag með  $V2 = 1,1$  km/s um 16 m þykkt og svo fast berg með  $V3 = 3,5$  km/s á 20 m dýpi (!). Cobraborun stoppaði á 2,4 m dýpi.

#### KJARNAHOLA GK03 - mælisnið GS28.

Hola sýnir 6 m lausan jökulruðning og þar undir dýlabasalt. JVB er á 6 m dýpi. Mælisnið sem er ca. 40 m frá holunni sýnir hljóðhraðaskil á 4,5 m dýi á milli  $V1 = 0,6$  km/s og  $V3 = 3,3$  km/s. Cobra stoppaði á 2,6 m.

#### KJARNAHOLA GK04 - mælisnið GS29, GS30.

Ágætt samræmi milli holu og hljóðhraðamælinga ósamlímdur jökulruðningur virðist vera með  $V1 = 0,5$  km, 4 m á þykkt og þá kemur ólivín basalt með  $V3 = 2,9$  km/s. JVB er á 2,5 m dýpi.

#### 2.4.8 E :Skurðleið frá Reyðarvatni að Stafnsvötnum

(GS39-54, GS56X, GS57-63).

Cobraholur GC146-149 (1983)  
GC196-205 ( " " )  
GC150-183 ( " " )  
GC206-216 ( " " )  
GC184-195 ( " " )

Hljóðhraðalínuritin eru sýnd í viðauka A og langsnið á mynd 13. Flestar mælingar sýna tvö hljóðhraðalög með hraða yfirborðslags frá um 0,5 til 1 km/s ( $V1$ ). Hraði  $V1$  er líklega breytilegur á svæðinu og stundum óviss. Hljóðhraði grunnbergsins er yfirleitt um 3 km/s (2,6-3,9 km/s, og dýpi á það lag er um 2-4 m. Í nokkrum mælingum (GS61, GS62) kemur í ljós millilag með  $V2$  um 1,2 km/s og 4-10 m þykkt. Cobraholur sýna fast á 1,2 m. Ekki er útilokað millilag (t.d. jökulruðningur) víða á svæðinu, en ef svo er þá frekar þunnt (<4 m) og finnst þess vegna ekki á fleiri hljóðhraðalínuritum.

Mynd 13 sýnir helstu upplýsingar færðar yfir á langsnið. Sjá má að nærliggjandi cobraholur sýna oftast dýpi < 2 m en á þremur stöðum sýna mælingar berggrunn á 4-9 m dýpi. Merkt er "óviss" svæði, þar sem hugsanlega getur verið dýpra á fast en á öðrum stöðum og líka óviss svæði þar sem ósamræmi er á milli hljóðhraða og cobraborana.

#### 2.4.9 F :Stíflustæði við Rústakvisl (GS150-153).

Línurit einstakra mælisniða eru sýnd í viðauki A og langsníð eftir stíflustæðinu á mynd 14. Tvö lög með mismunandi hljóðhraða finnast hér:

Hljóðhraði

1.  $V_1 = 0,5-0,7$  km/s
2.  $V_3 = 3,2$  km/s (2,6-3,5 km/s)

Líklega er berggrunnur á um 3 m dýpi allsstaðar nema við GS153, sérstaklega við B endann (sjá mynd 14).

#### 2.4.10 G :Skurðleið yfir að Rúnukvisl (GS101-109).

Gerðar voru 9 mælingar og eru línurit mælisniða sýnd í viðauka A ásamt nærliggjandi cobraholum GC217-237, langsníð er á mynd 14. Gott innbyrðis samræmi er milli mælinga; þær eru glöggar og sýna tvö lög :

Hljóðhraði

Túlkun

- |                     |  |
|---------------------|--|
| 1. $V_1 = 0,4$ km/s | 2-3 m yfirborðslag. Samræmist vel dýpt Cobrahola |
| 2. $V_3 = 3-4$ km/s | e.t.v. tvö mismunandi lög (?)                    |

Mælingar GS105, 106 gefa til kynna þunnt millilag með hraða um 1,2-1,4 km/s og 2-5 m þykkt. Ekki er útilokað að millilag þetta sé að finna í fleiri nærliggjandi prófílum en það þarf að vera a.m.k. 3 m þykkt til að koma fram á hljóðhraðaferlinum. Cobraholum ná 1-2 m dýpi. Útreiknað dýpi skv. hljóðhraðamælingum er minnsta mögulega dýpi á fast.

Nyrst á mælisvæðinu G-G' (mynd 14) er hljóðhraði í berginu um 3 km/s (algengast á öllu svæðinu), en um 4 km/s sunnan megin.

#### 2.4.11 H :Skurðleið yfir Hraunþufumúla (GS130-134).

Mynd 14. Hér er ekki glöggt hvort um tvö eða þrjú hljóðhraðalög er að ræða. Líklegust er eftirfarandi lagskipting:

Hljóðhraði

Túlkun

- |                           |  |
|---------------------------|--|
| 1. $V_1 = 0,5$ km/s       | 1-2 m  |
| 2. $V_2 = 1,0 - 1,4$ km/s | 4-7 m  |
| 3. $V_3 = 3,0$ km/s       | Þriðja hljóðhraðalag $V_3$ er mjög útbreitt og með ákveðin gildi 3 km/s í öllum mælingum á dýpi 6-8 m, sem er hér hámarks dýpi á fast. |

#### 2.4.12 K :Stíflustæði við neðra Stafnsvatn.

Mælisnið GS55-56, GS64-65, GS111-113, GS154-156.

Hér eru 10 hljóðhraðamælingar, langsníð er á mynd 15. Mæliferlin eru

ógreinileg. Þau sýna óglögg hljóðhraðaskil, mjög breytilegan hraða berggrunns og yfirborðslaga og breytilega þykkt yfirborðslaganna (hugsamlega klaki).

Hljóðhraði

Túlkun

1.  $V_1 = 0,5 \text{ km/s}$  (eða  $1,4 \text{ km/s}$ )

2 - 8 m yfirborðslag

2.  $V_3 = 3,2 \text{ km/s}$  ( $2,2-4,6 \text{ km/s}$ )

Flestar cobrahamölur GC00-10 (OS82-113/VOD-53 B) sýna "stopp" á um 2 m dýpi, nema nokkrar sem ná um 7 m dýpi.

#### 2.4.13 L :Aðrennslisskurðleið Stafnsvötn-Giljamúli

Myndir 3 og 15. Mæliferli eru ógreinileg. Þau sýna óglögg hljóðhraðaskil. Oftast kemur fram yfirborðslag með  $V_1 = 0,5 \text{ km/s}$  sem er misþykkt 2-7 m. Líklegast er hér um tvö hljóðhraðalög að ræða, en hraði berggrunnsins  $V_3$  sýnist vera breytilegur, eða um  $2,2-4,6 \text{ km/s}$ , á mismunandi dýpi, 2-8 m. Engar aðrar mælingar hafa verið gerðar hér. Á nokkrum stöðum var hægt að sjá klaka í jörð sem getur valdið óreglu á mæliferlunum. Vegna mikillar óreglu á hljóðhraðalínuritum GS114-127 (viðauki A) og erfiðleika við túlkun er dýpi ekki reiknað út nákvæmlega heldur gefin mörk hámarks og lágmarks dýpis á fast. Hljóðhraðalínurit hverrar einstakrar mælingar á þessu óvissusvæði eru sýndar á langsníði (mynd 15).

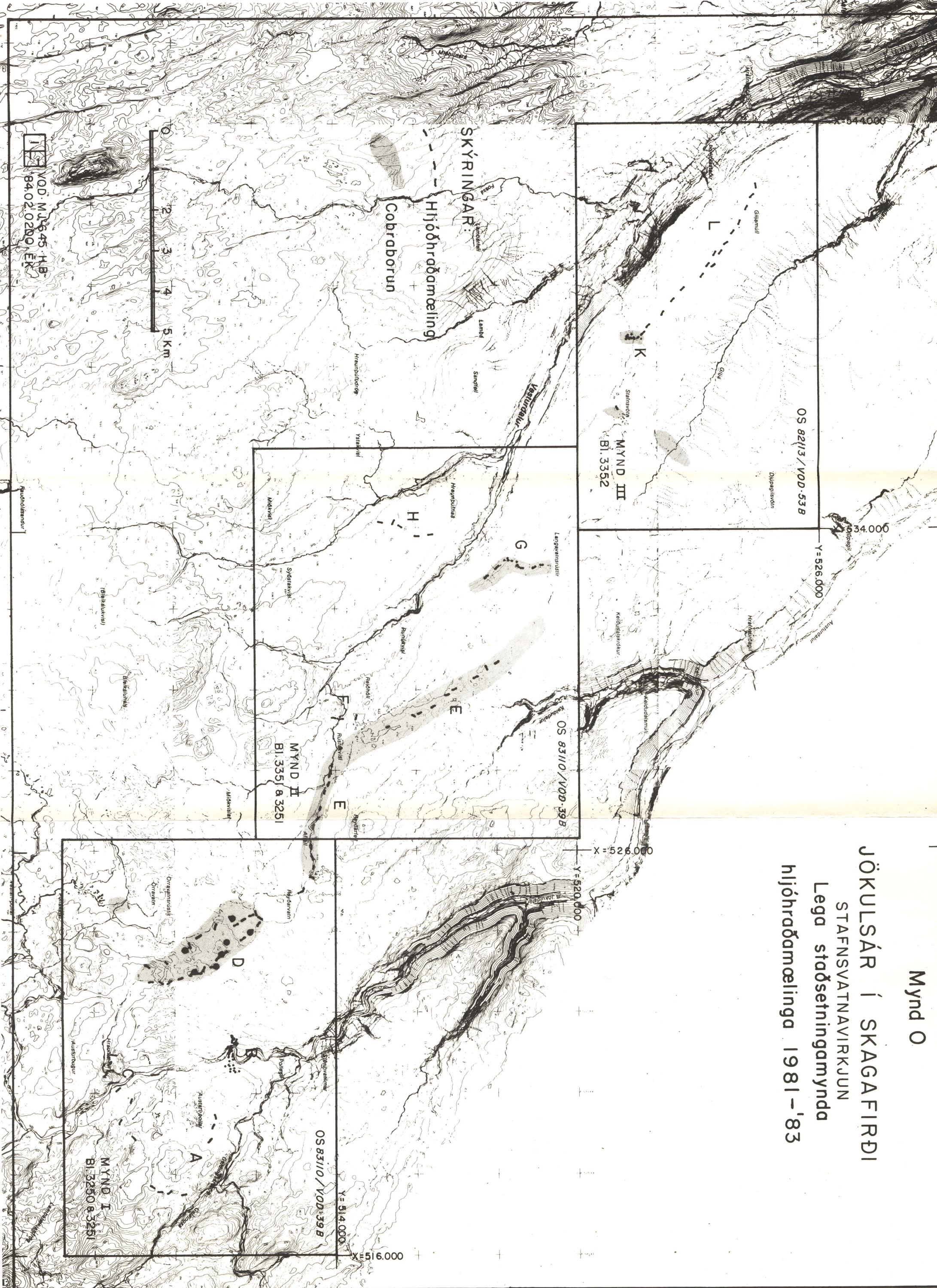
Hljóðhraði er fall af tíðni og bylgjulengd. Nær skotpunkti, þar sem hljóðhraði yfirborðslaga er um  $0,5 \text{ km/s}$ , er bylgjulengd a.m.k. 10 m. Til þess að mæla þykkt lags þarf það að vera um  $1/4$  af bylgjulengd þ.e ca 2,5 m á þykkt.

Skv.cobramælingum á nærliggjandi svæðum er þykkt klaka um 1 m á 1-2 m dýpi.

Til að segja til um hvort og hvernig klaki truflar hljóðhraðamælingu á Giljamúla þarf að kanna betur ástand klaka og gerð lausra yfirborðslaga á svæðinu. Mikil óvissa er í hljóðhraðamælingum við Stafnsvötn og Giljamúla og má gera ráð fyrir grófri skekkju.

Mynd O

JÖKULSÁR Í SKAGAFIRÐI  
STAFNSVATNAVIKJUN  
Legg staðsetningamynda  
hjúðhraðamælinga 1981-83



VOD: M.1645-HB  
84.02.02BO EK



SKÝRINGAR:

Cobradorun

Hjúðhraðamæling

MYND III  
BI. 3352

MYND II  
BI. 3351 & 3251

MYND I  
BI. 3250 & 3251

OS 83110/VOD-39B

OS 82113/VOD-53B

OS 83110/VOD-39B

X=516.000

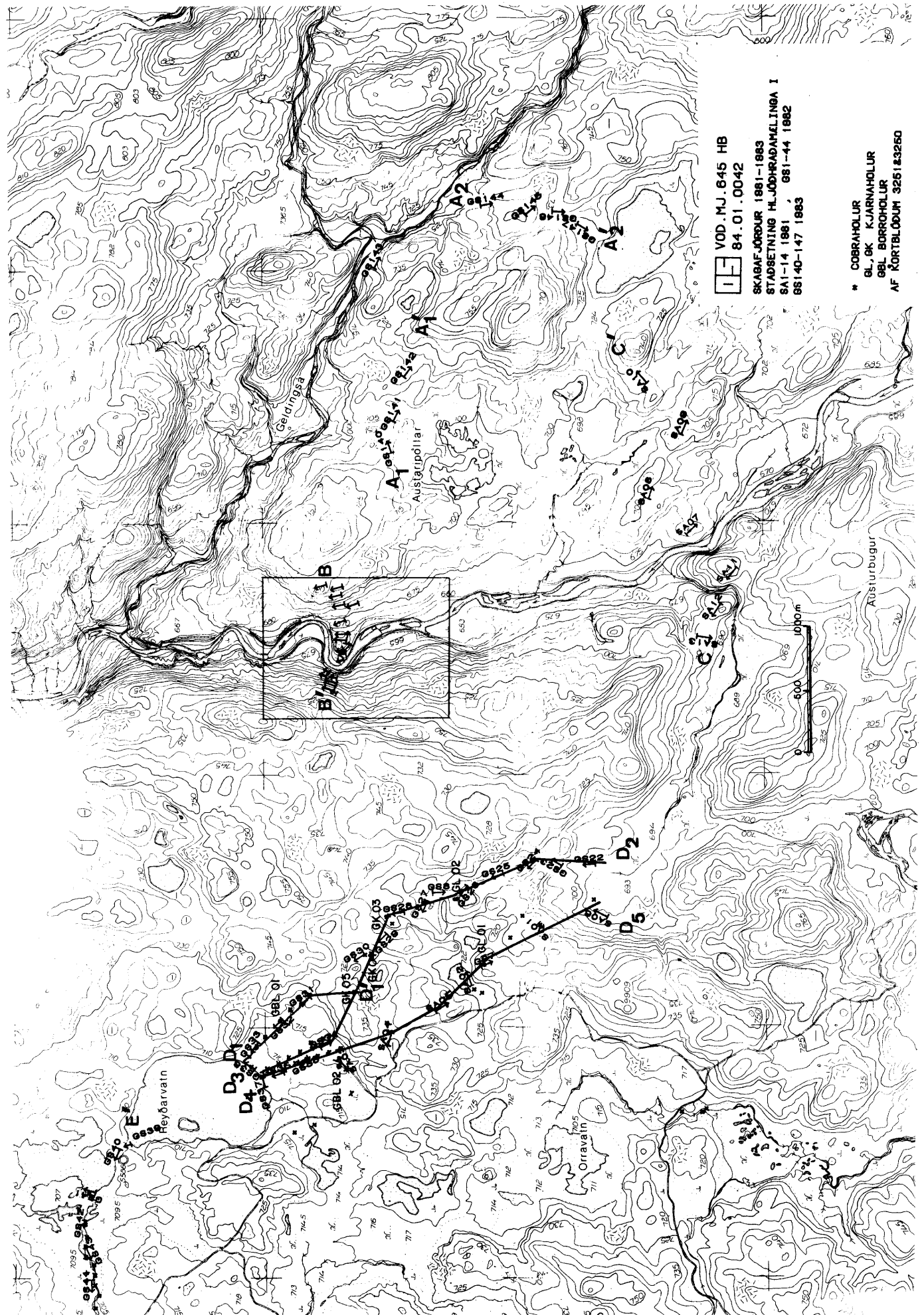
X=526.000

Y=526.000

X=534.000

Y=514.000

Y=520.000



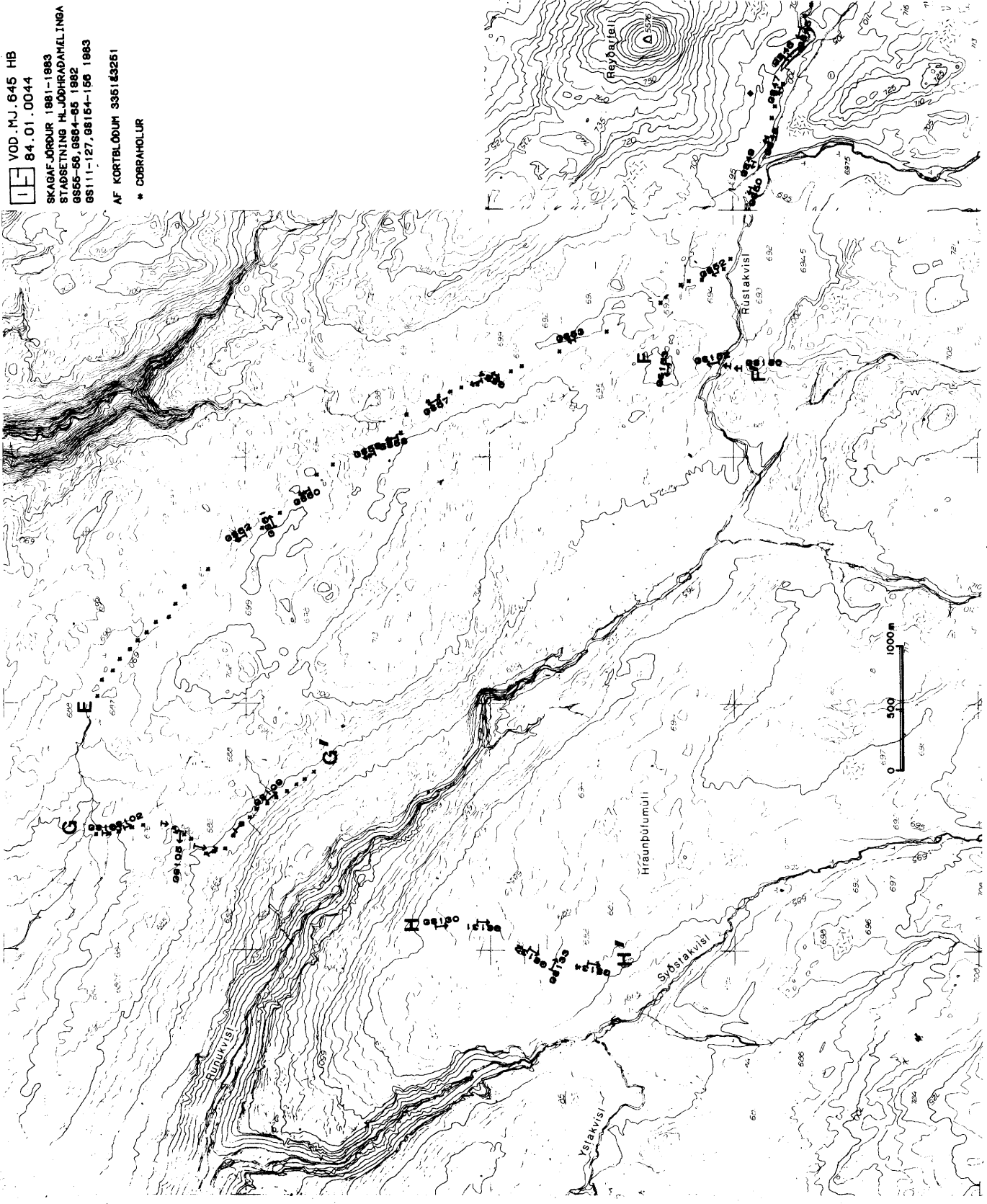
 VOD . MJ. 645 HB  
84.01.0042

SKAFAFJÖRÐUR 1981-1983  
STAÐSETNING HLJÓÐRADAMALINGA I  
SA1-14 1981 881-44 1982  
88140-147 1983

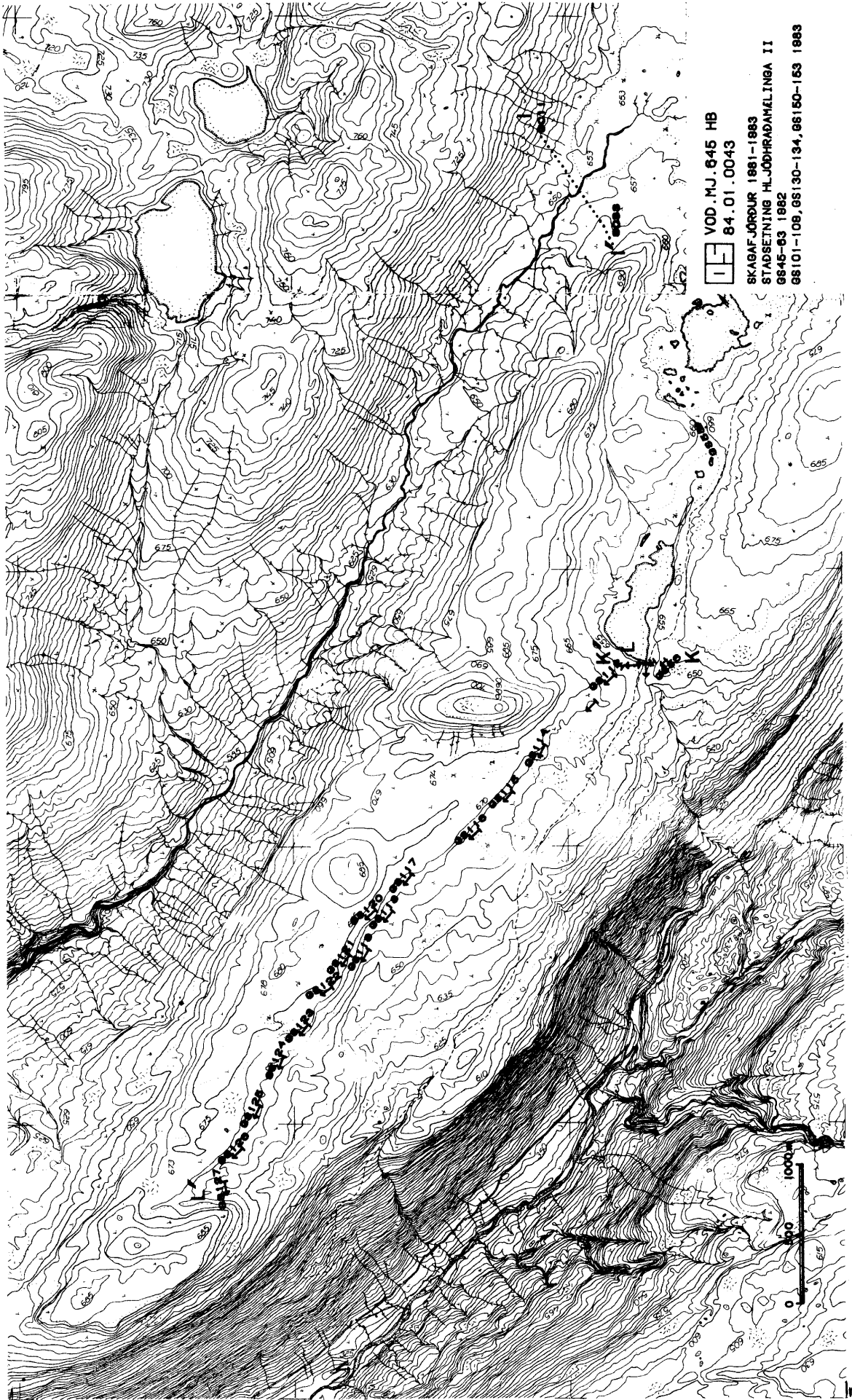
\* COBRAHÖLUR  
GL. OK KJARNAHÖLUR  
GEL BORRHÖLUR  
AF KÖRTBLÓÐUM 3251:3250

Mynd 1 Staðsetning hljóðradamalisniða, cobrahola, kjarna-og titringshola

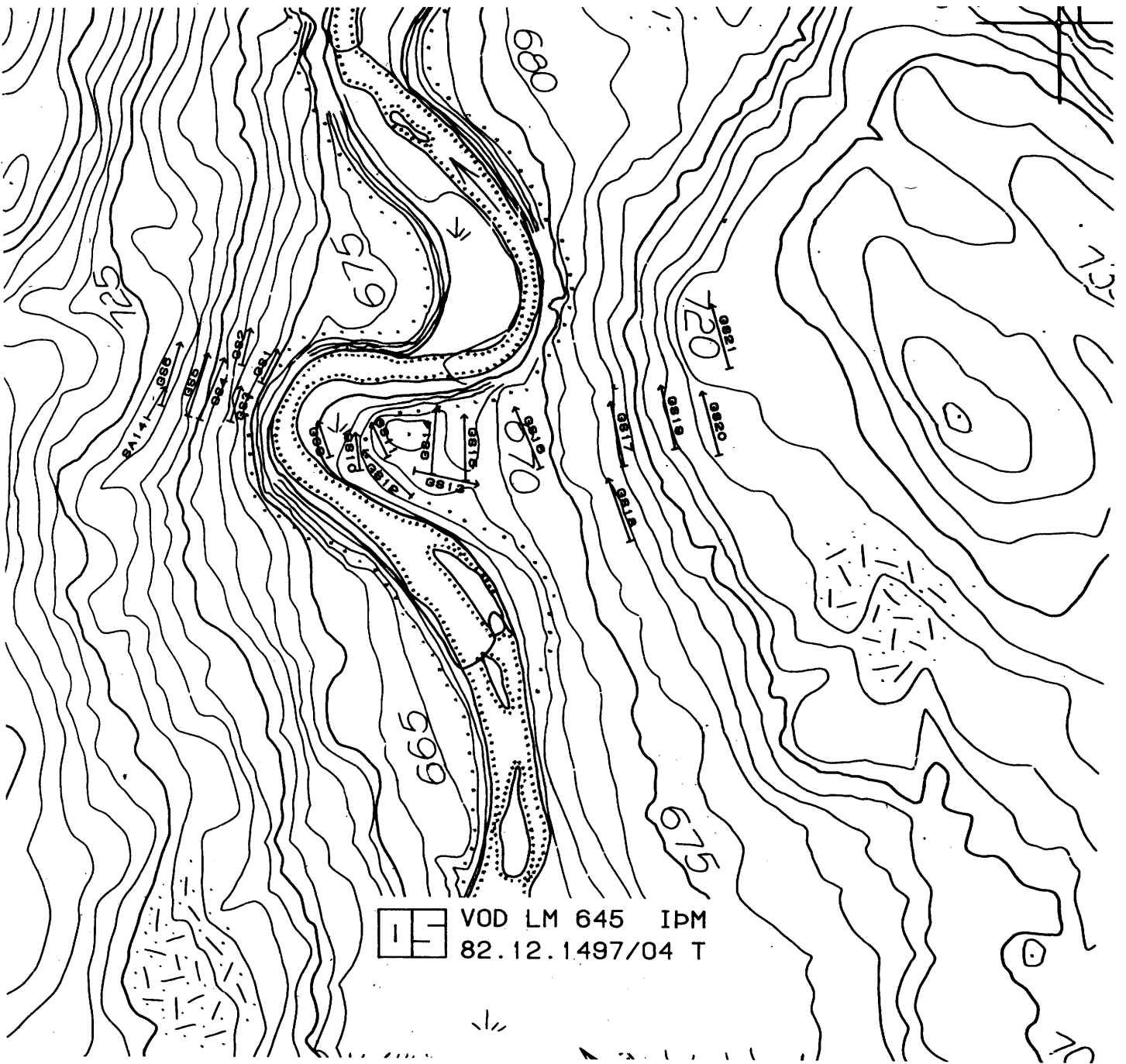
VOD .M.J. 645 HB  
84.01.0044  
SKAFAFJÖRÐUR 1981-1983  
STAÐSETNING HLJÓÐRAÐAMÁLISNÍÐA III  
6856-56, 6864-65, 1982  
68111-127, 68154-156, 1983  
AF KORTBLÖÐUM 335143251  
\* COBRAHÖLUR



Mynd 2 Staðsetning hljóðraðamálsnía og cobrahola



Mynd 3 Staðsetning hljóðradamalisniða og cobrahola



Mynd 4 Stækkað kort af stíflustæði í Jökulsá í Pollagili

ORKUSTOFNUN  
vatnsorkudeild

a

Sýndar Hljóðhraði

KH/S  
4.8 - 5.0 \*  
4.6 - 4.8 \*  
4.4 - 4.6 \*  
4.2 - 4.4 \*  
4.0 - 4.2 \*  
3.8 - 4.0 \*\*\*  
3.6 - 3.8 \*\*\*  
3.4 - 3.6 \*\*\*  
3.2 - 3.4 \*\*\*  
3.0 - 3.2 \*\*\*\*\*  
2.8 - 3.0 \*\*\*\*\*  
2.6 - 2.8 \*\*\*\*\*  
2.4 - 2.6 \*\*\*\*\*  
2.2 - 2.4 \*  
2.0 - 2.2 \*\*  
1.8 - 2.0 \*\*  
1.6 - 1.8 \*\*  
1.4 - 1.6 \*\*\*  
1.2 - 1.4 \*\*\*\*\*  
1.0 - 1.2 \*\*\*\*\*  
0.8 - 1.0 \*\*\*\*\*  
0.6 - 0.8 \*\*\*\*\*  
0.4 - 0.6 \*\*\*\*\*  
0.2 - 0.4 \*\*\*\*\*  
0.0 - 0.2

FJÖLDI PUNKTA = 558

% MÆLINGA



% MÆLINGA

ORKUSTOFNUN  
vatnsorkudeild

DEPTAR HISTOGRAM  
SKAGAFJÖRÐUR 1981-1983

METRAR

18.0 - 20.0  
16.0 - 18.0 \*\*\*  
14.0 - 16.0 \*\*\*  
12.0 - 14.0 \*\*\*  
10.0 - 12.0 \*\*\*  
8.0 - 10.0 \*\*\*  
6.0 - 8.0 \*\*\*\*\*  
4.0 - 6.0 \*\*\*\*\*  
2.0 - 4.0 \*\*\*\*\*  
0.0 - 2.0 \*\*\*\*\*

FJÖLDI FYKKTARGILDA (h1+h2): 254

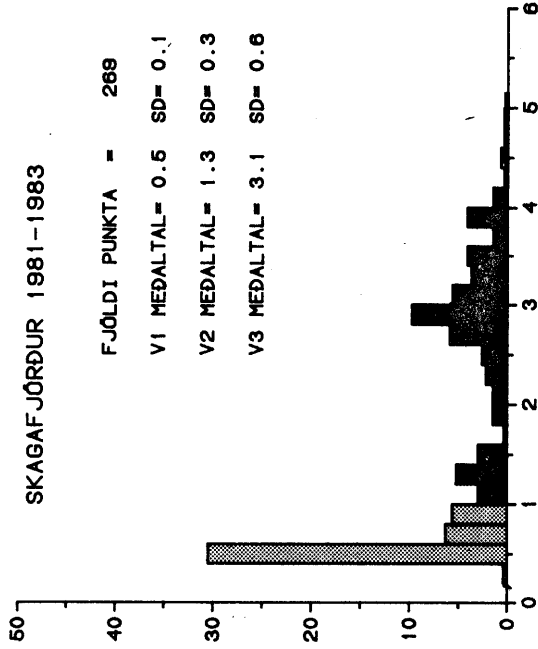


% MÆLINGA

b

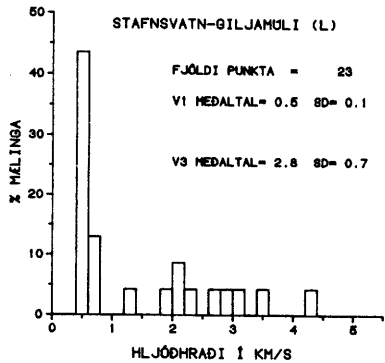
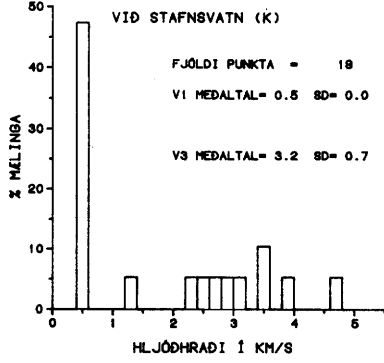
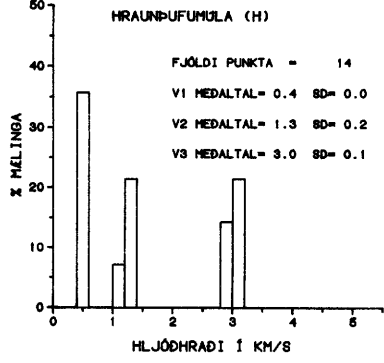
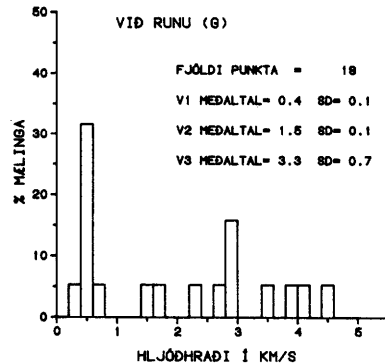
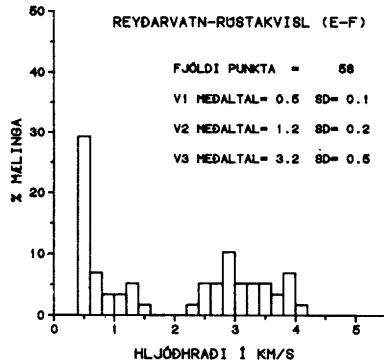
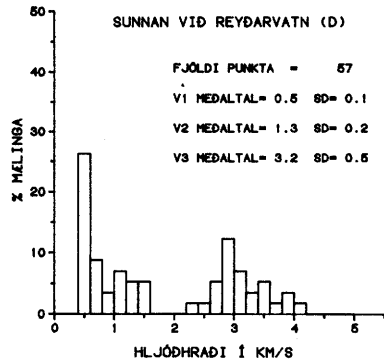
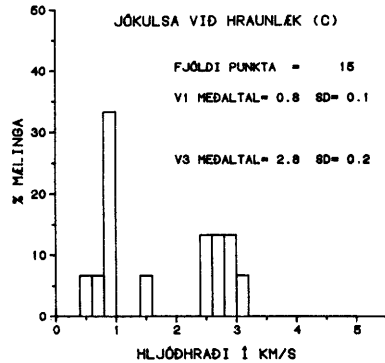
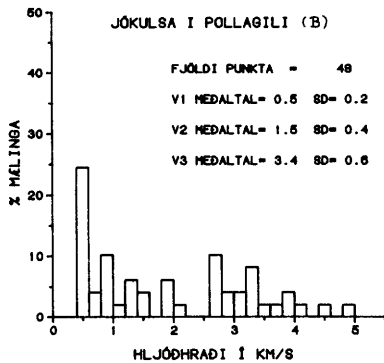
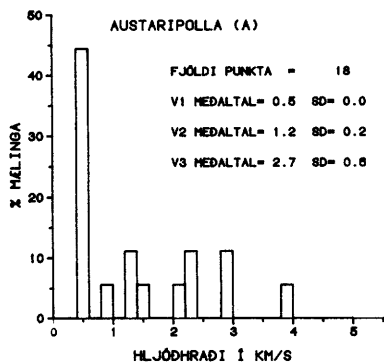
SKAGAFJÖRÐUR 1981-1983

FJÖLDI PUNKTA = 269  
V1 MEDALTAL= 0.5 SD= 0.1  
V2 MEDALTAL= 1.3 SD= 0.3  
V3 MEDALTAL= 3.1 SD= 0.6



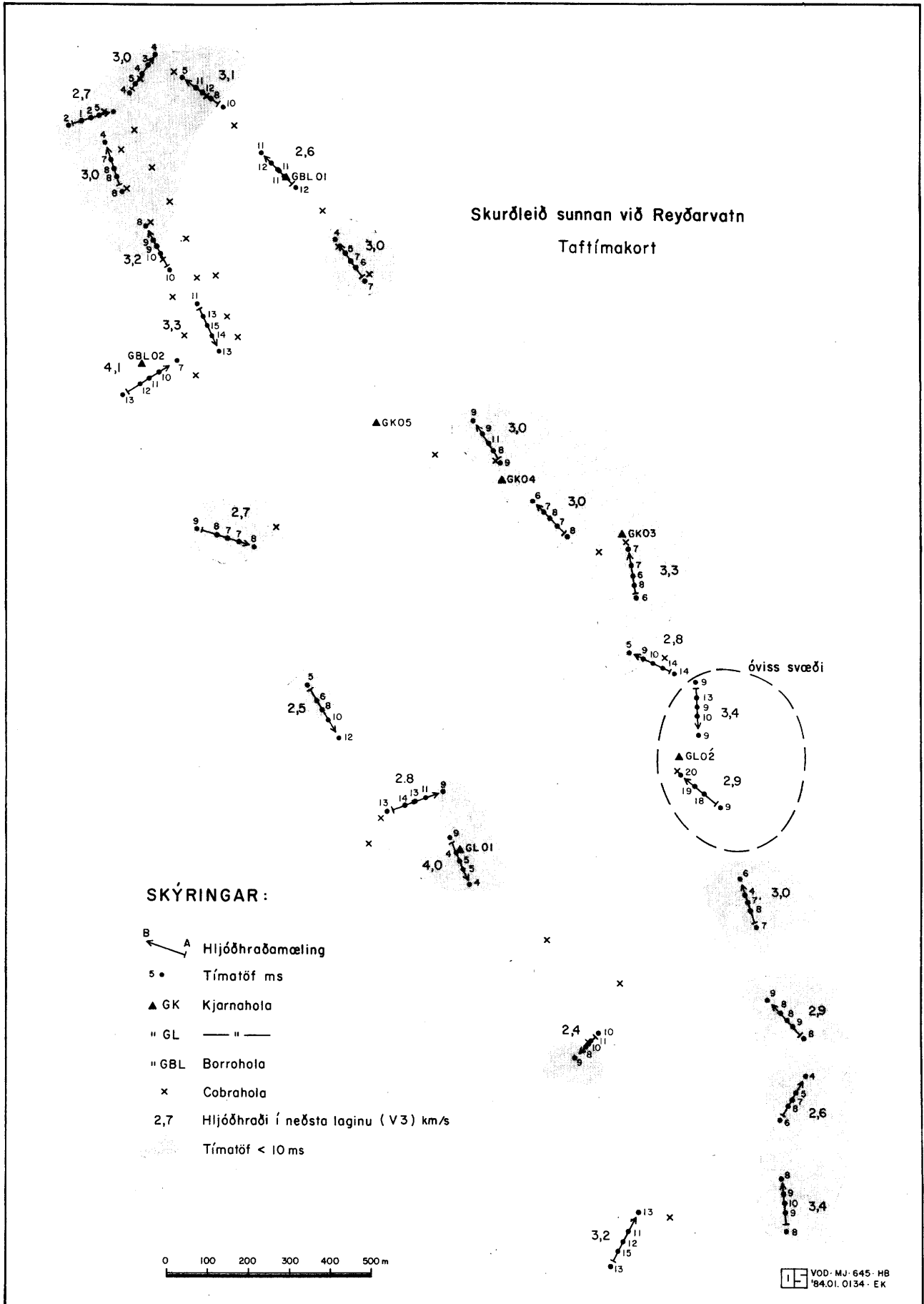
RAUNVERULEGUR  
HLJÓÐHRÁÐI Í KM/S

Mynd 5 Línurit yfir hljóðhraða og dýpi á berggrunn  
(skv.óllum hljóðhraðamælingum)



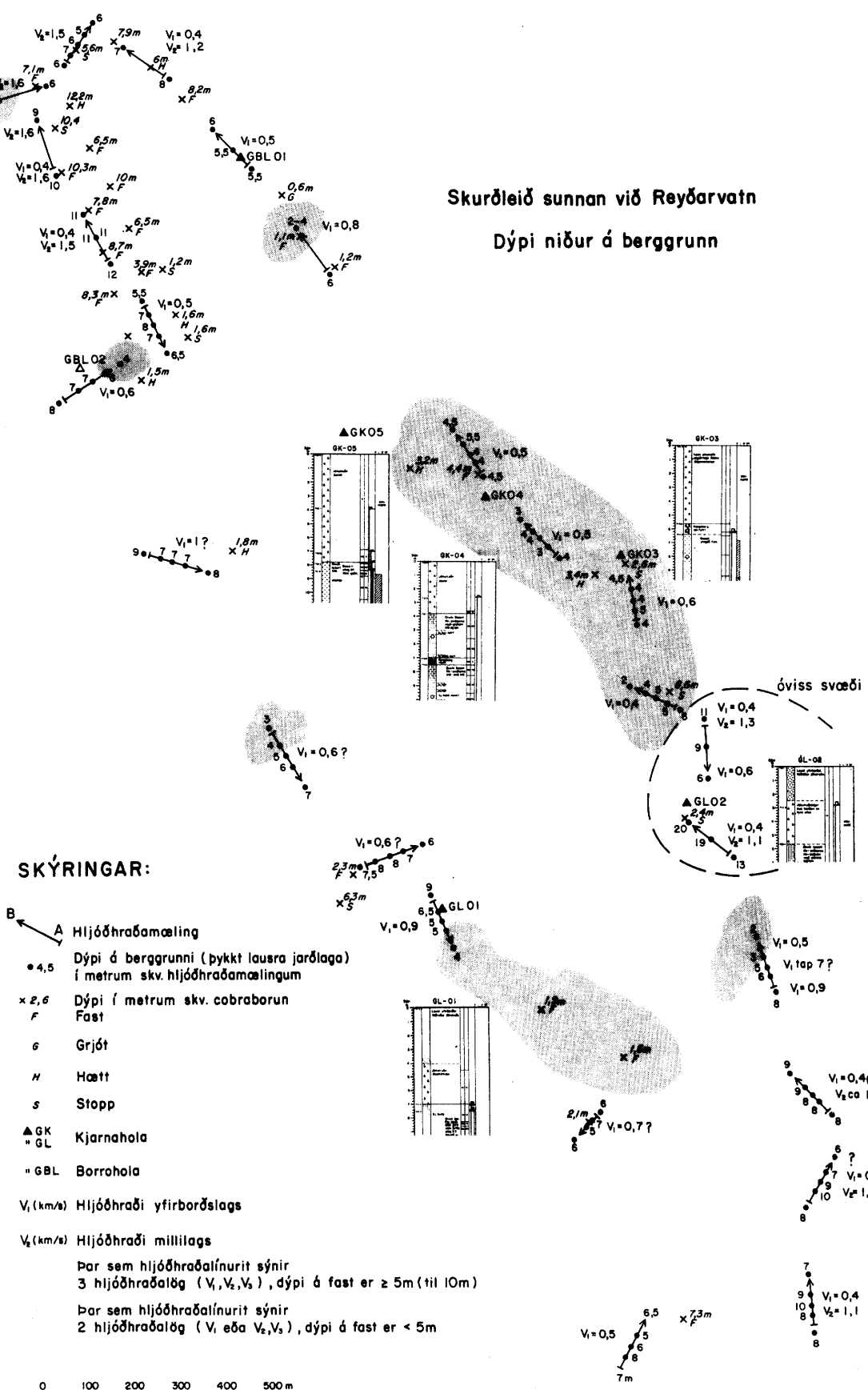
Mynd 6a Samanburður á hljóðhraðadreifingu á mismunandi svæðum



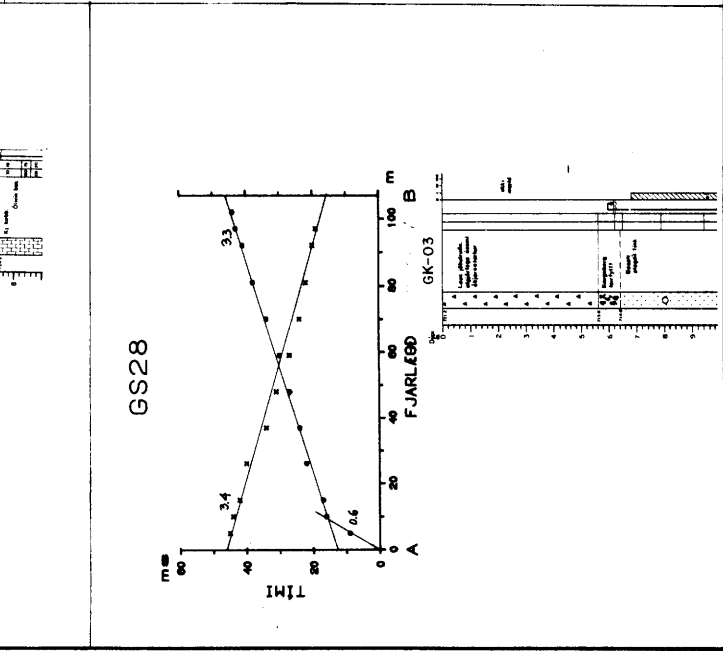
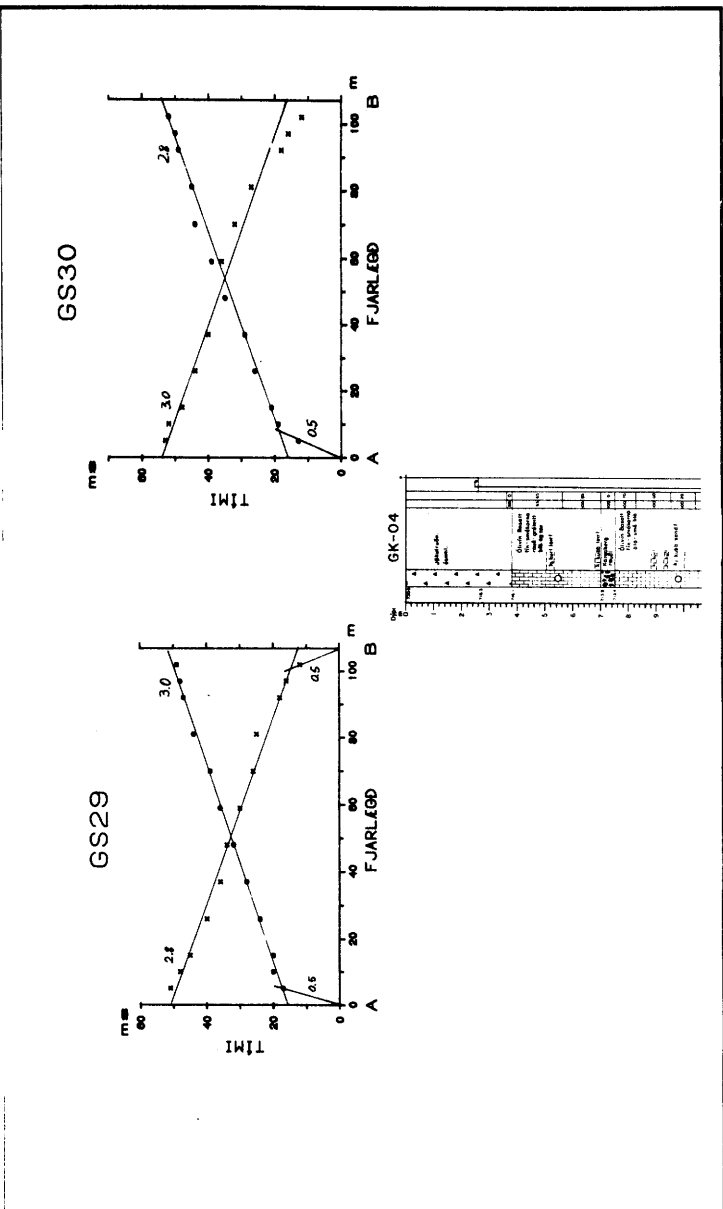
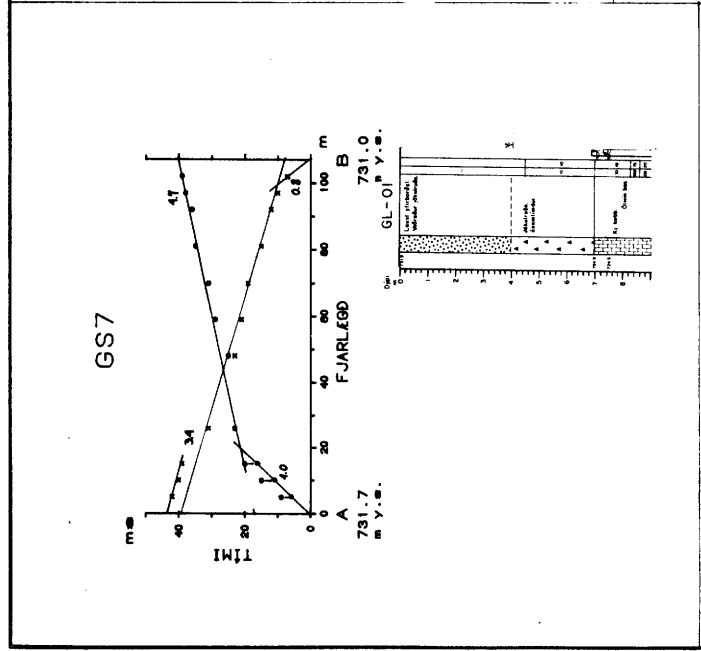
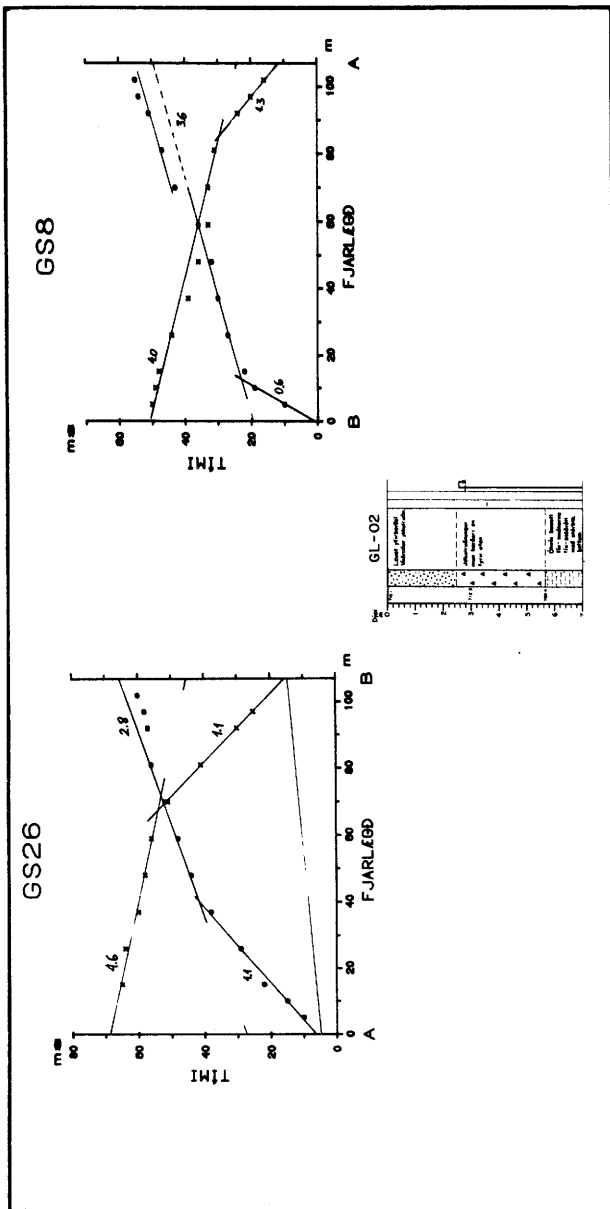


**Mynd 7 Taftímakort. Skurðleið sunnan við Reyðarvatn**

Skurðleið sunnan við Reyðarvatn  
Dýpi niður á berggrunn



Mynd 8 Dýpi á berggrunn. Skurðleið sunnan við Reyðarvatn



Mýnd 9 Samanburður á hljóðhraðamælingum og kjarnaholum. Skurðleið sunnan við Reyðarvatn

### Skýringar :

← GS20 | Hljóðhraðasnið  
B A

GS (55) Hljóðhraðasnið þvert á langsnið

0,5  
▼  
1,3 Hljóðhraðaskil (hugsanlega lagamót)

0,5  
▼ ? Óskýr lagamót  
1,3

(← GS25 →) Hljóðhraðasnið liggur ekki á langsniði

0,5  
3,5 Hljóðhraði í km/s

(3) I  
(8) I Lagamót á dýptarbili 3-8m

┌  
S Cobra - hola

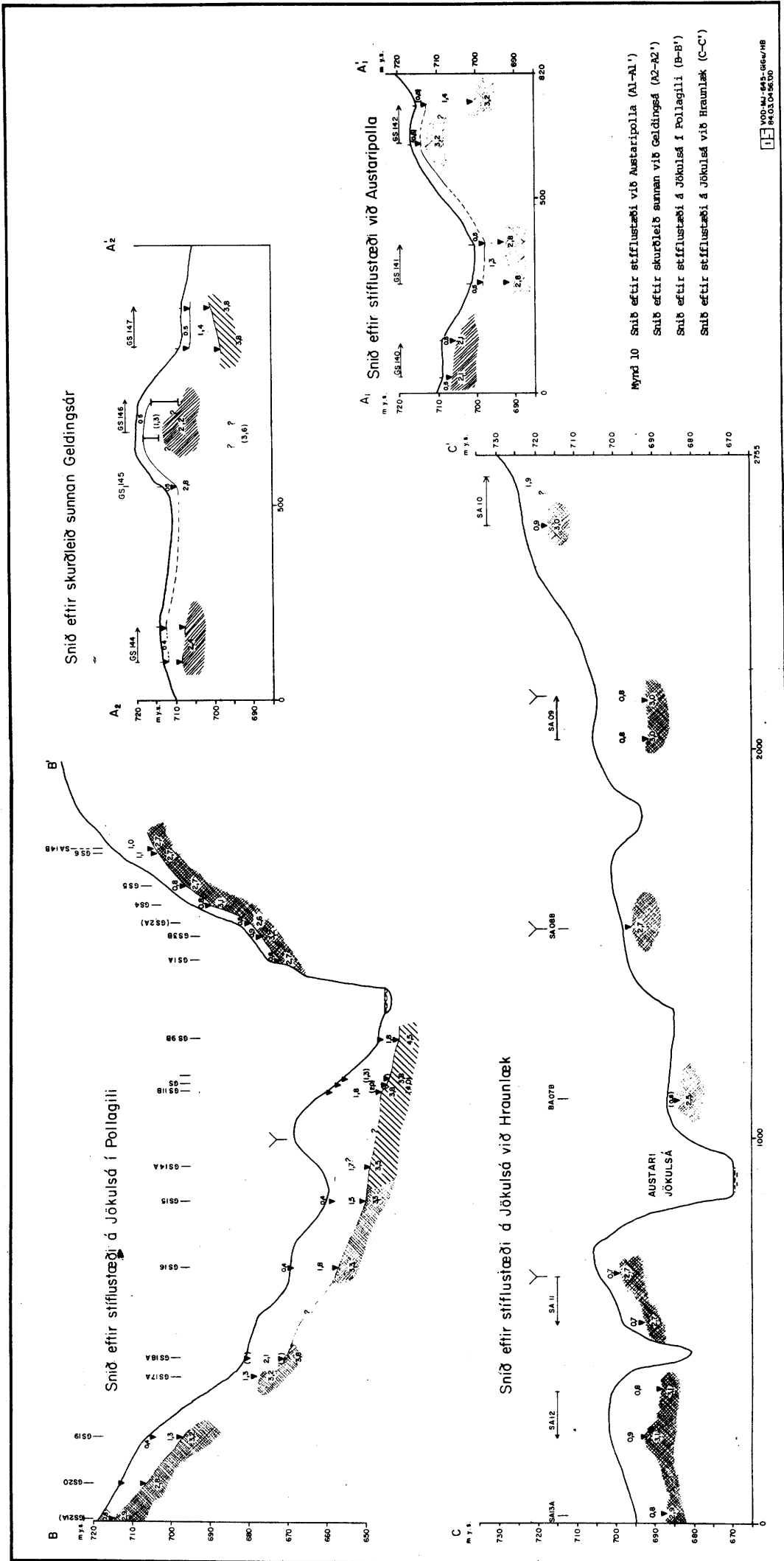
S Stopp  
H Hætt  
F Fast  
G Grjót } Skýringar úr cobraskýrslu

GC Cobraborun 1982-'83

SA Hljóðhraðamælingar 1981

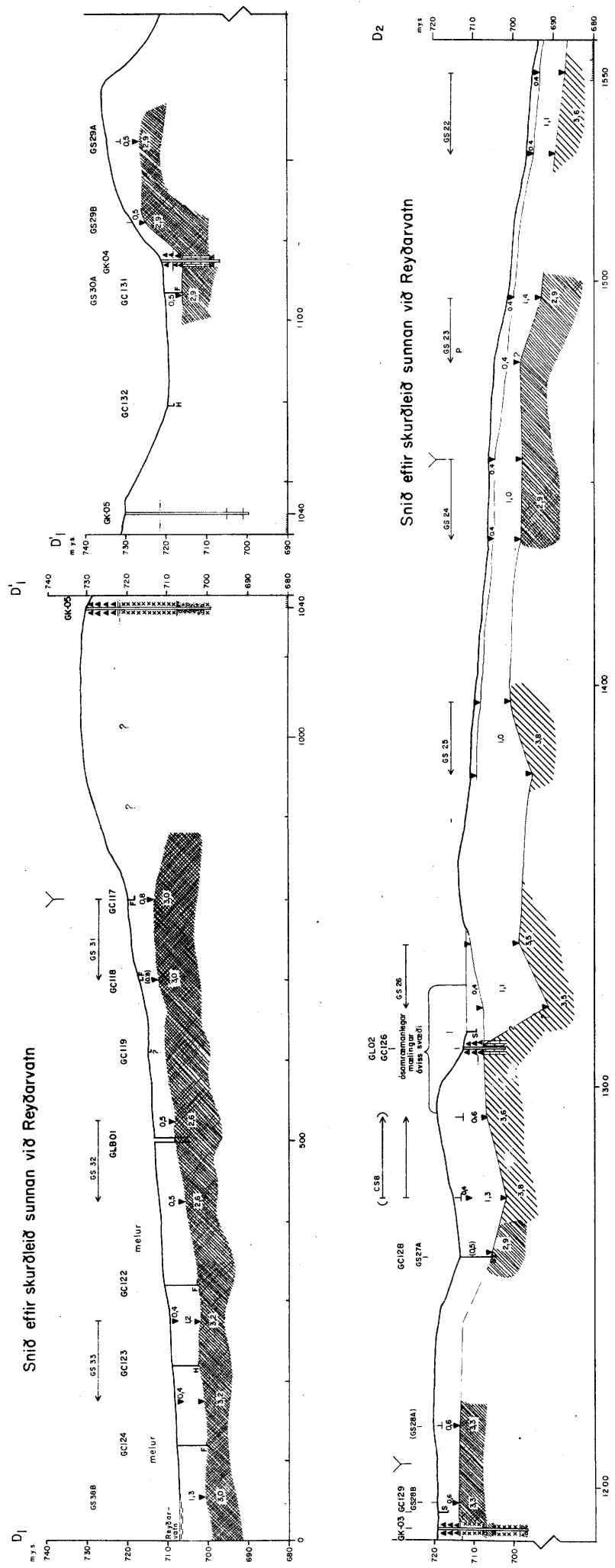
GS Hljóðhraðamælingar 1982 og '83

  $V_3 \leq 2,6 \text{ km/s}$   
  $V_3 = 2,7 - 3,3 \text{ km/s}$   
  $V_3 > 3,4 \text{ km/s}$  } Flokkun eftir  
hljóðhraða í 3.lagi

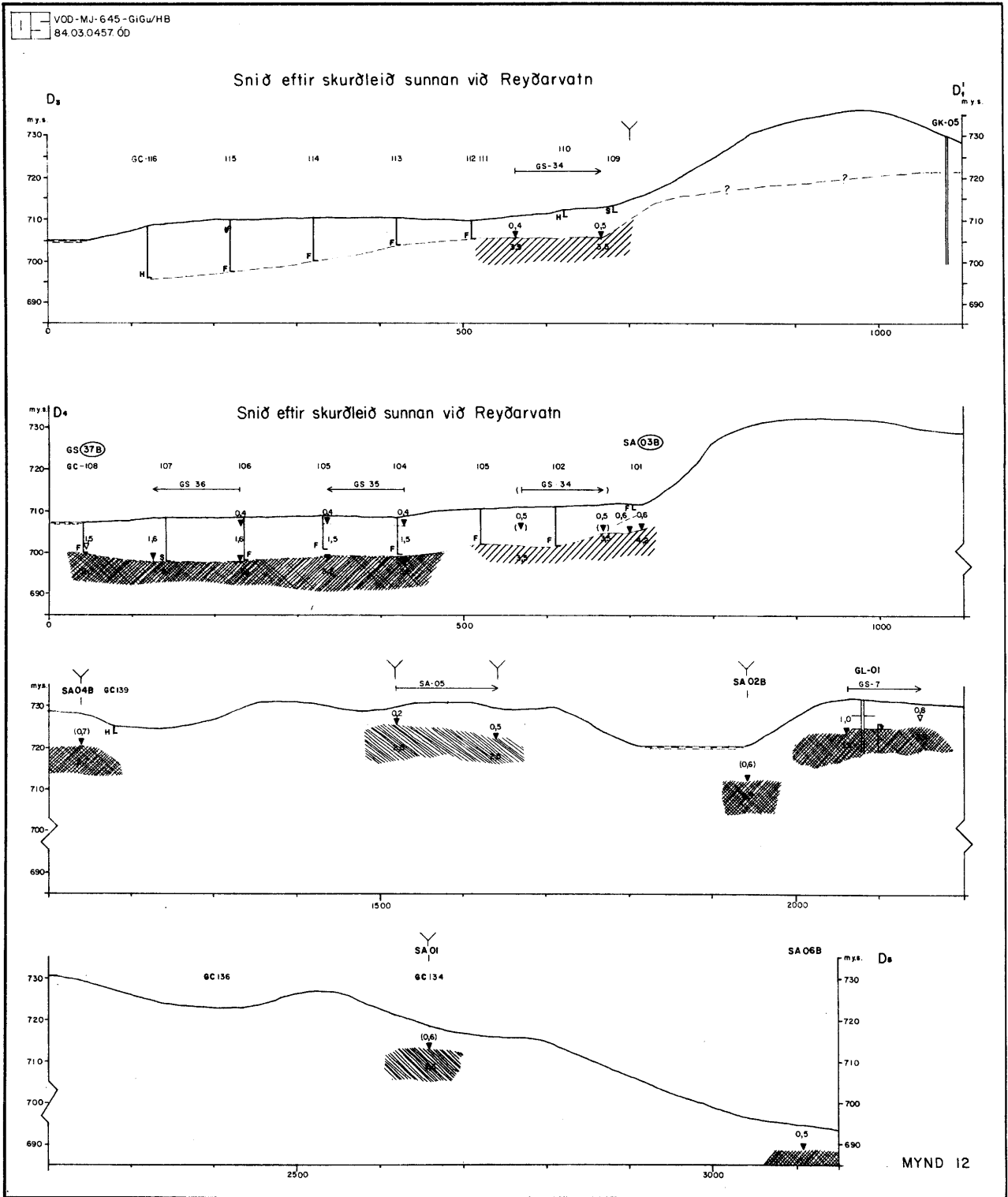


Mynd 10 Snið eftir stíflustæði við Austaripolla (A1-A1')  
 Snið eftir skurðleið summan við Geldingsdár (A2-A2')  
 Snið eftir stíflustæði á Jökulsá í Pollagili (B-B')  
 Snið eftir stíflustæði á Jökulsá við Hraunlæk (C-C')

VOP-NAJ-64'5, 9/65/HB  
#403.0457 00

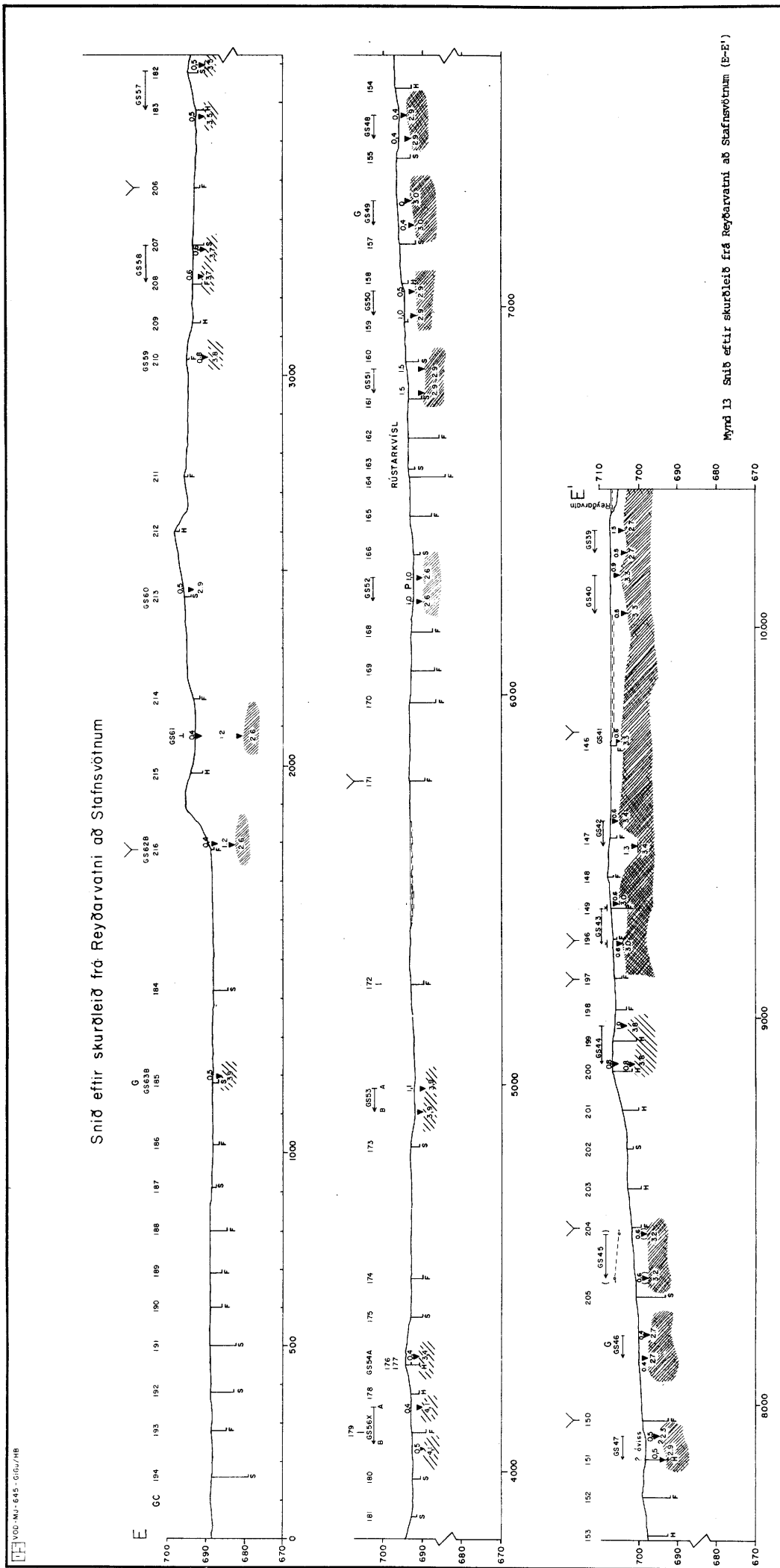


Mynd 11 Snið eftir skurðleið sunnan við Reyðarvatn (D<sub>1</sub>-D<sub>1'</sub>)  
Snið eftir skurðleið sunnan við Reyðarvatn (D<sub>1</sub>-D<sub>2'</sub>)

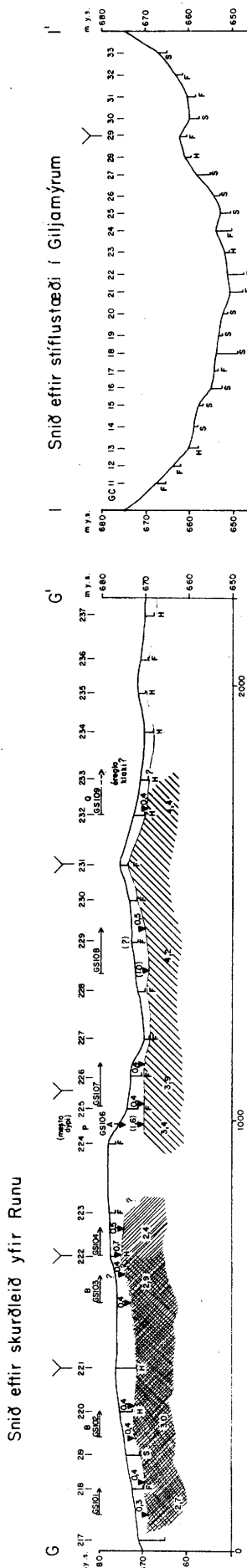
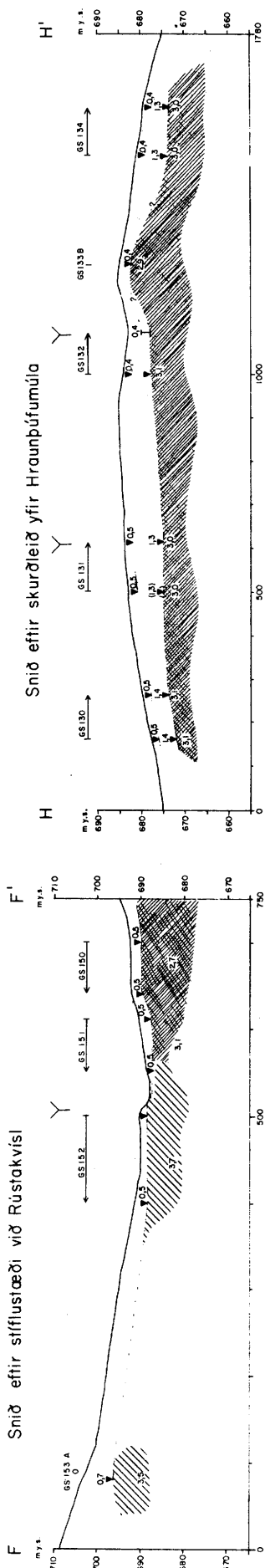


Mynd 12 Snið eftir skurðleið sunnan við Reyðarvatn (D3-D1')

Snið eftir skurðleið sunnan við Reyðarvatn (D4-D5)



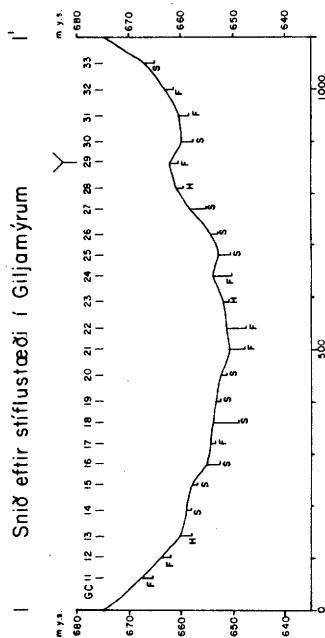
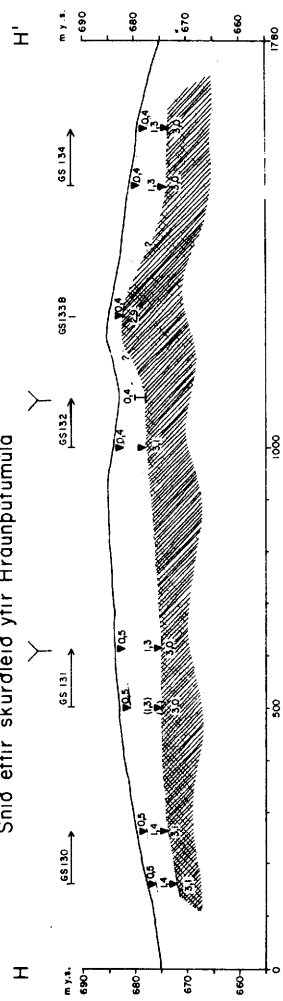
1:5000-NAJ-645-GI6V/HB



Mýnd 14 Snið eftir stíflustæði við Rústakvísl (F-F')  
 Snið eftir skurðleið yfir Runu (G-G')  
 Snið eftir skurðleið yfir Hraunpáfumúla (H-H')  
 Snið eftir stíflustæði í Giljamyrum (J-J')

Snið eftir skurðleið yfir Hraunpáfumúla

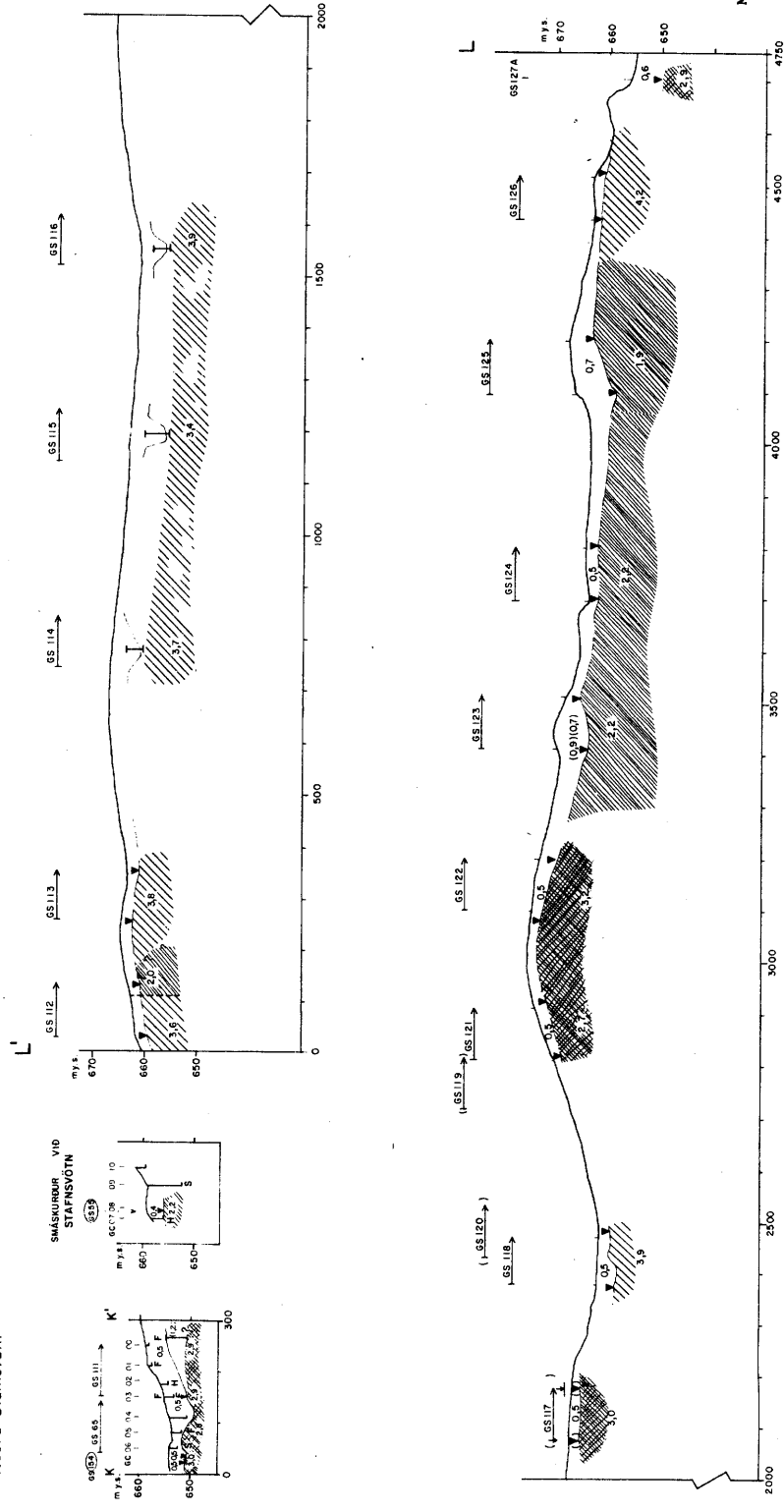
Snið eftir stíflustæði í Giljamyrum



YOD:MI-645-G.GU/HB  
84.03.0436.00

Snið eftir stíflustæði við Neðra Stafnsvatn

Snið eftir aðrennisskurðleið Stafnsvötn - Giljardáli

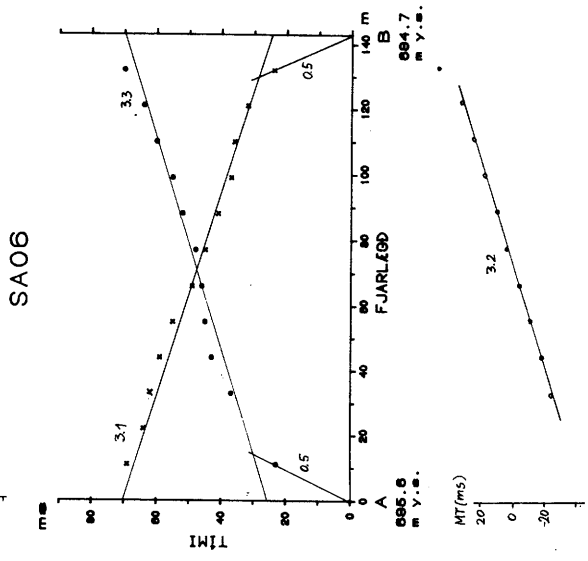
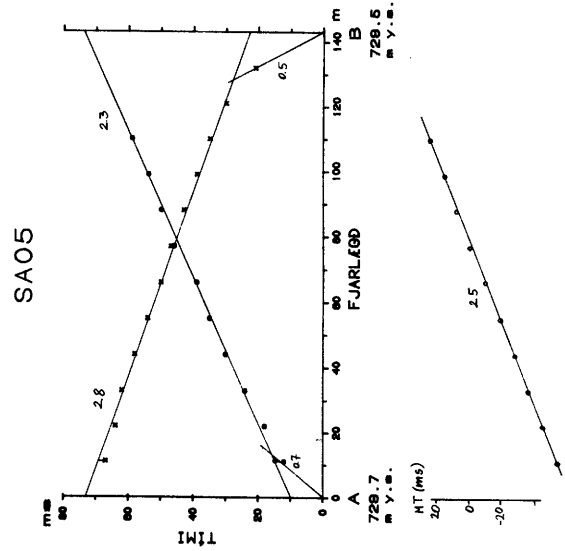
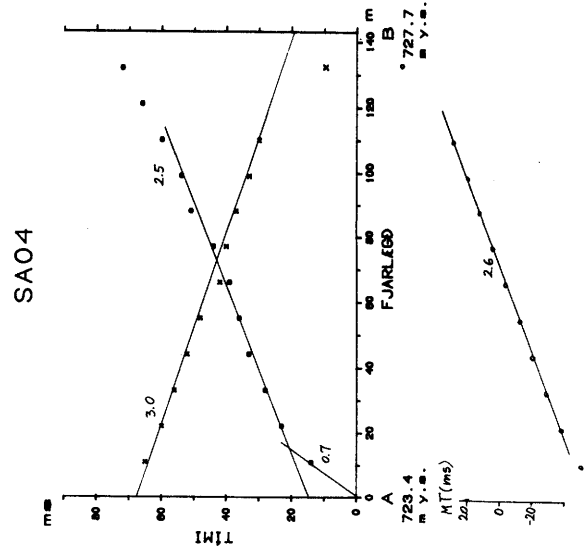
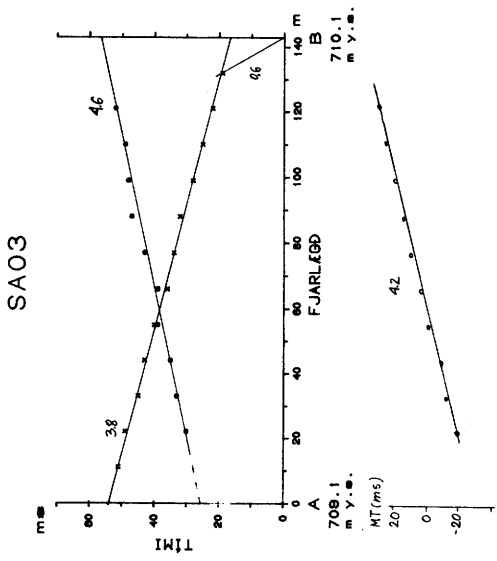
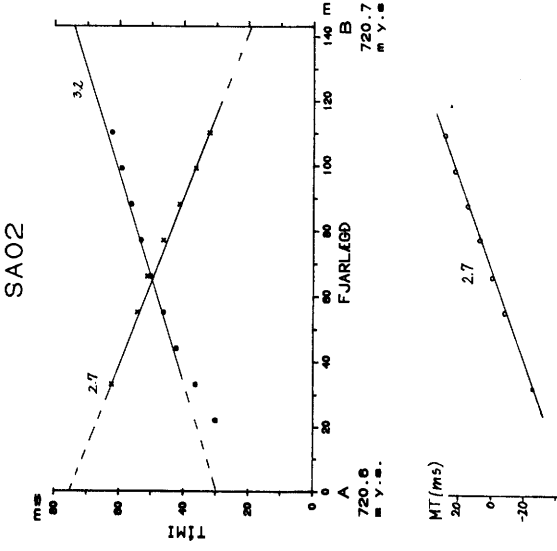
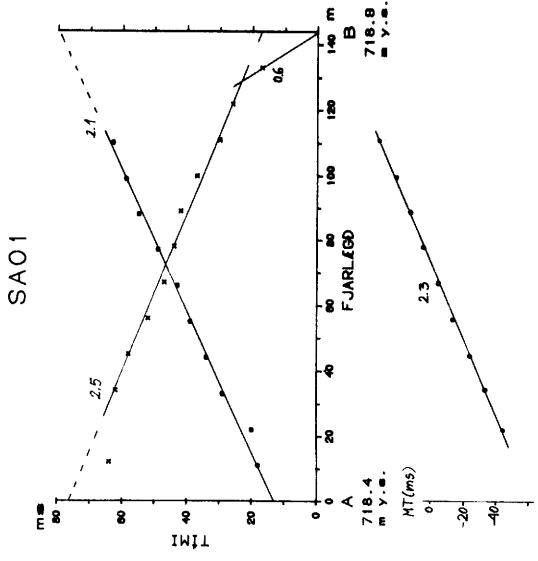


Mýnd 15 Snið eftir stíflustæði við Neðra Stafnsvatn (K-K')  
Snið eftir aðrennisskurðleið Stafnsvötn-Giljardali (L-L')

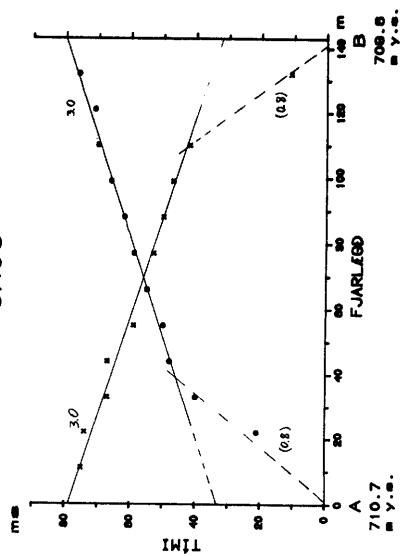


VÍÐAUKI A

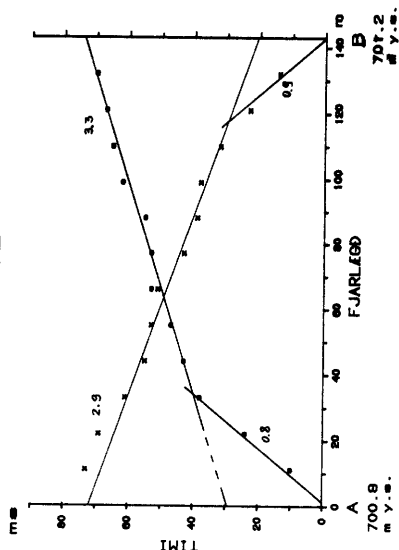
Hljóðhraðalfnurit SA(1981) og GS(1982,1983)



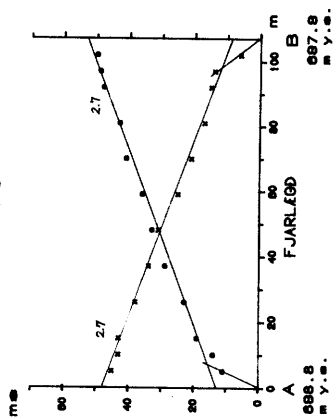
SA09



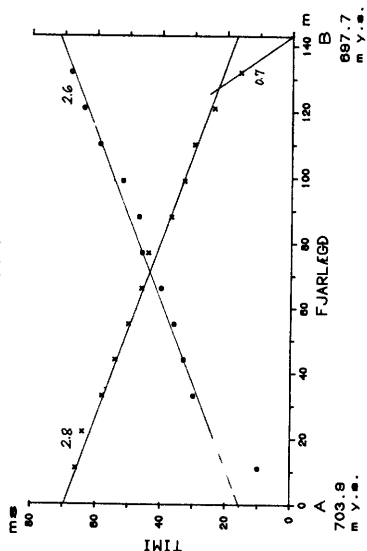
SA12



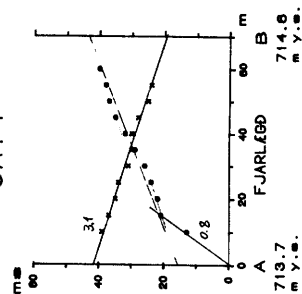
SA08



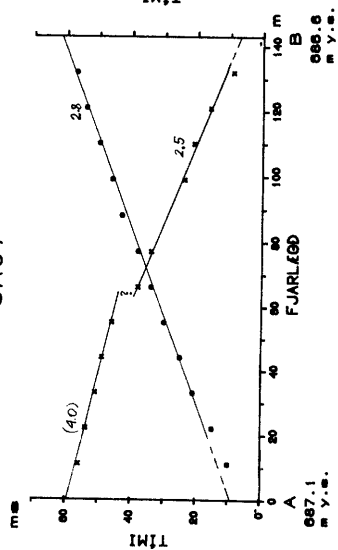
SA11



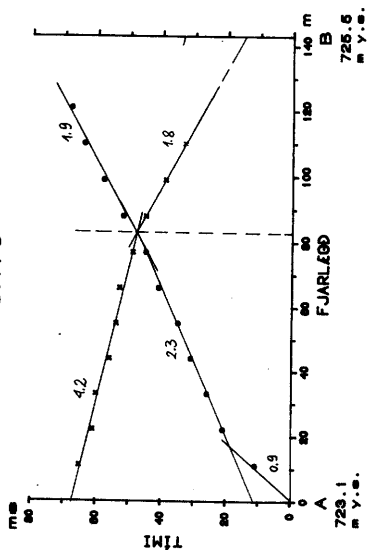
SA14



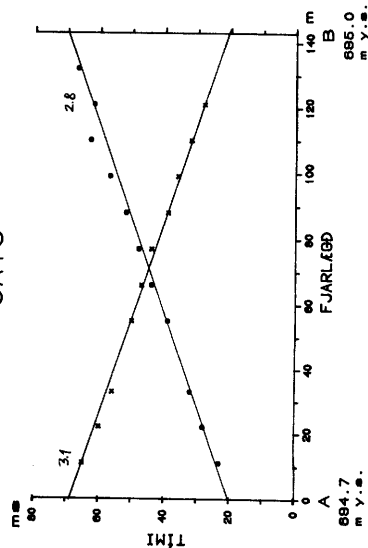
SA07



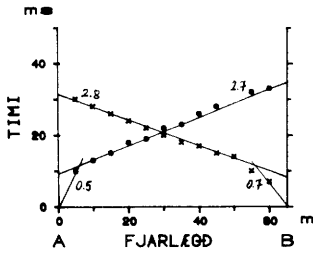
SA10



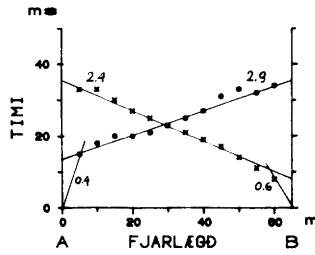
SA13



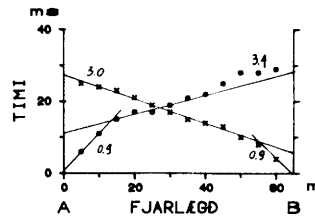
GS1



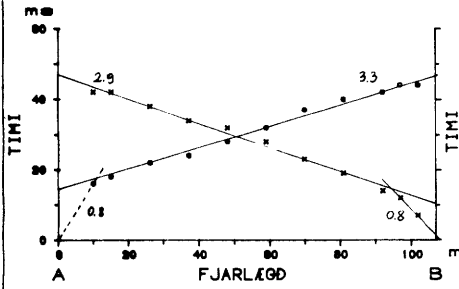
GS2



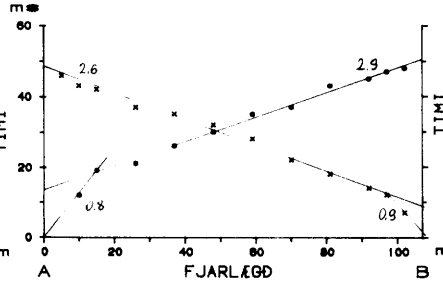
GS3



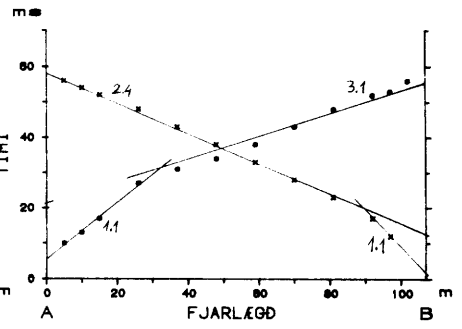
GS4



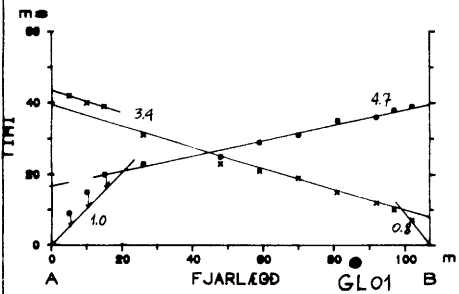
GS5



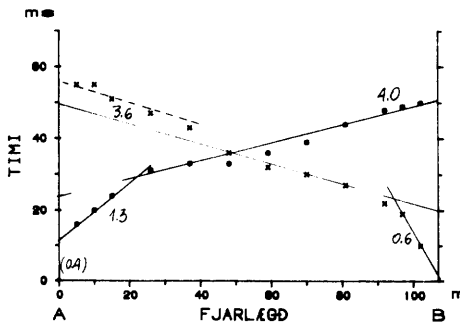
GS6



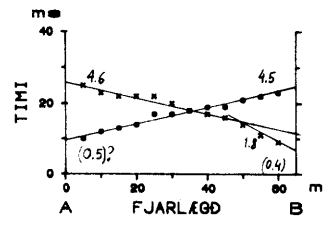
GS7



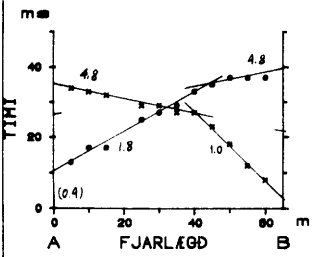
GS8



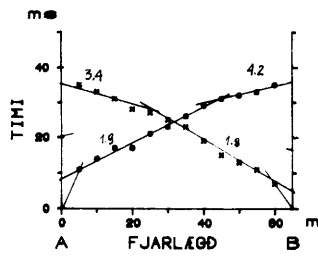
GS9



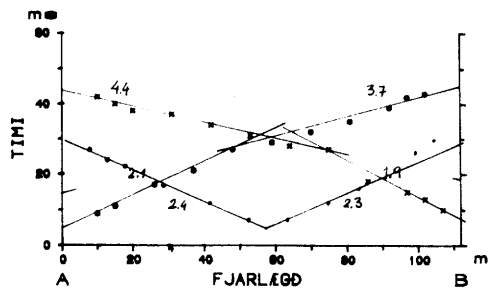
GS10

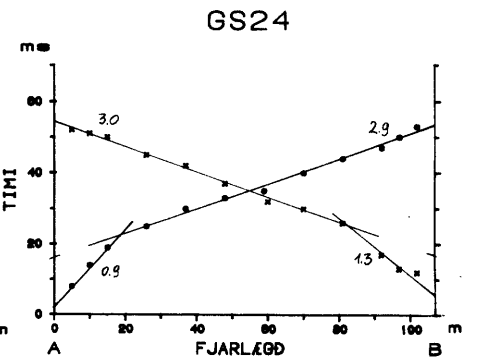
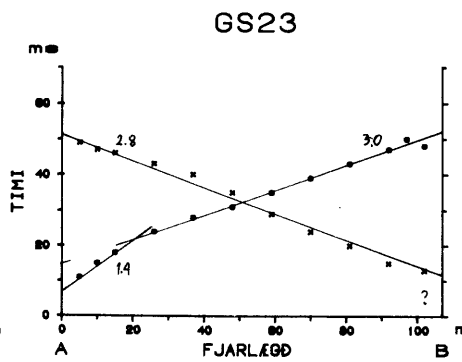
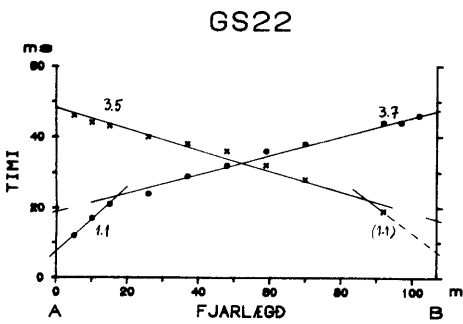
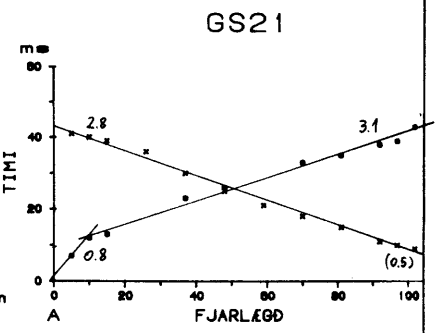
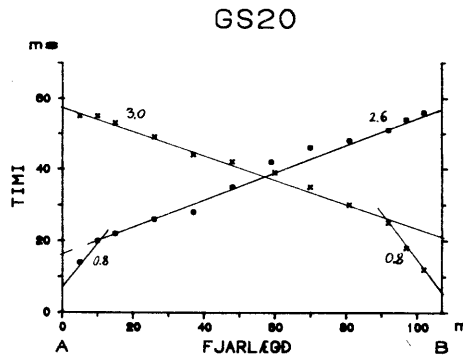
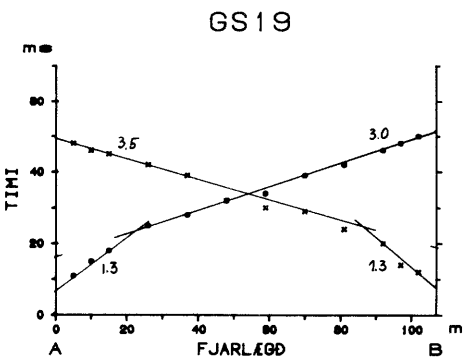
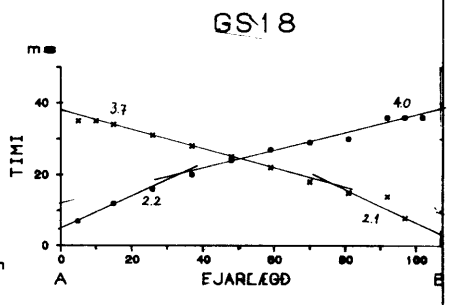
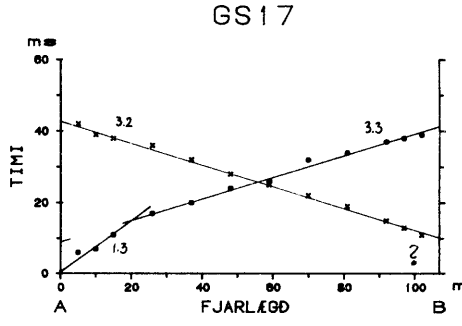
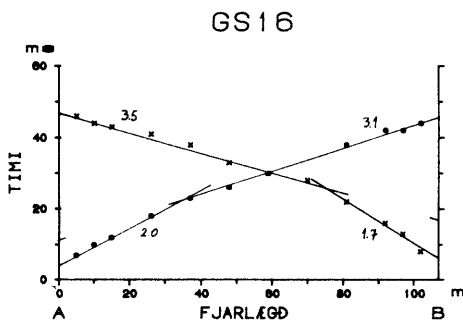
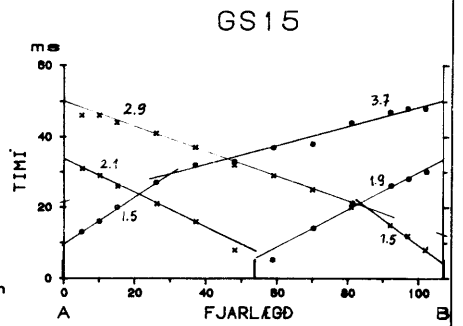
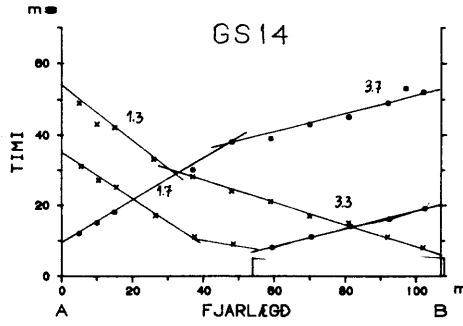
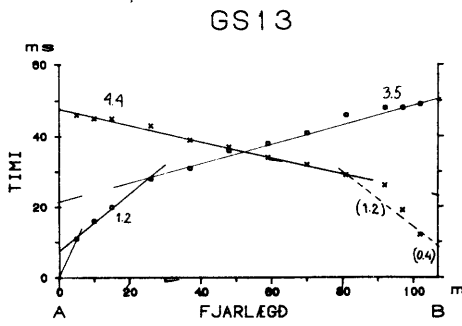


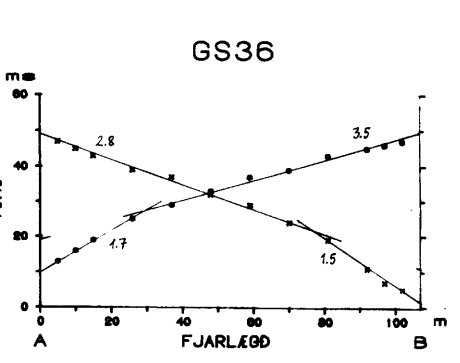
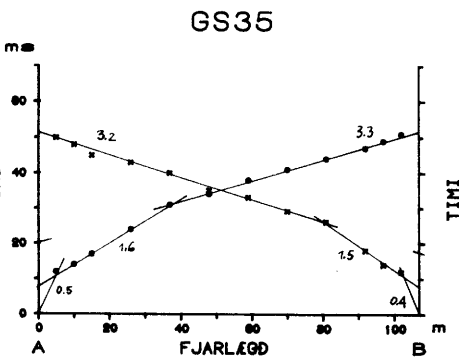
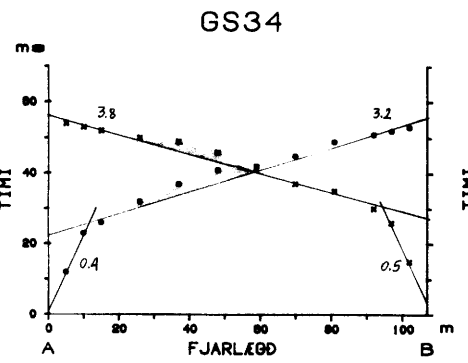
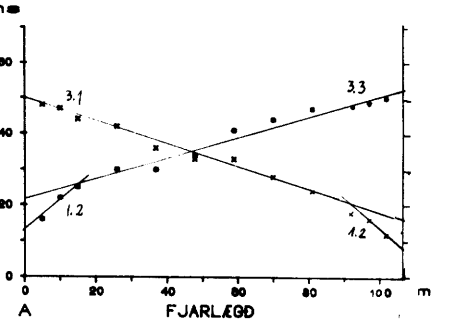
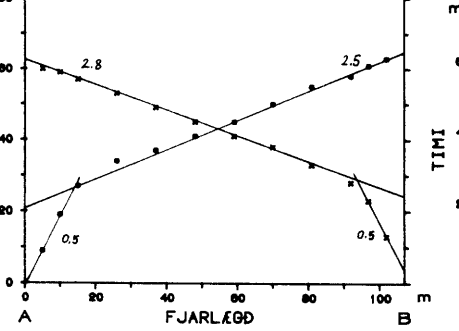
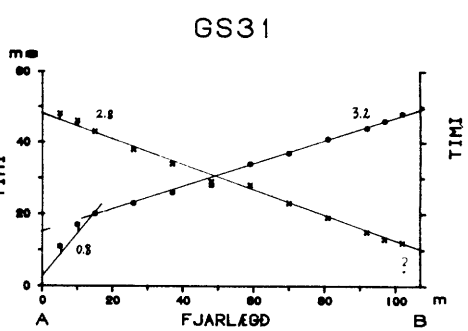
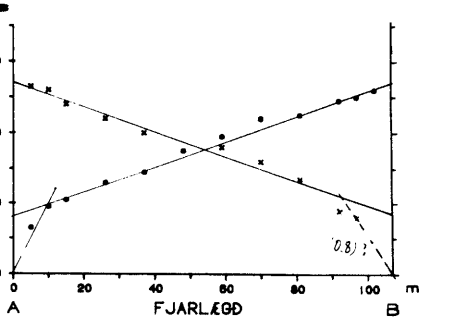
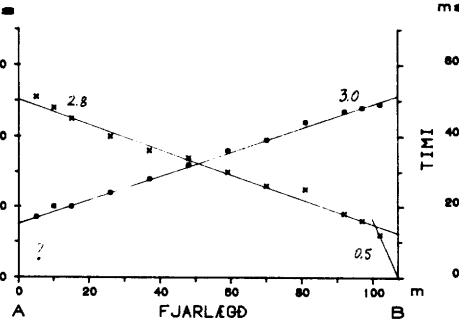
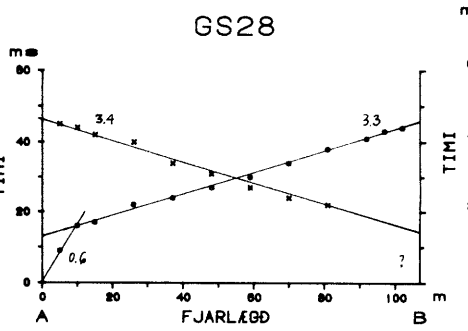
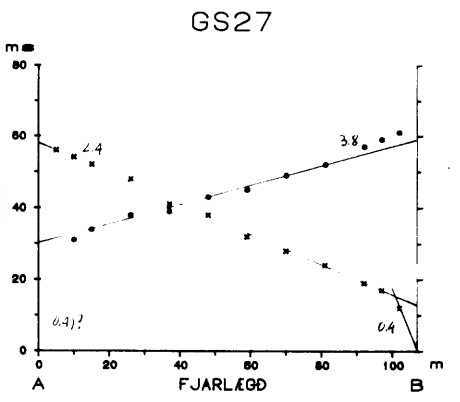
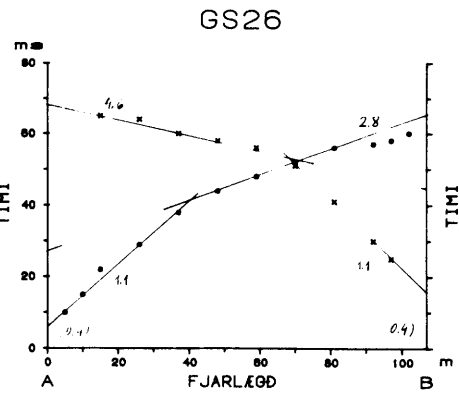
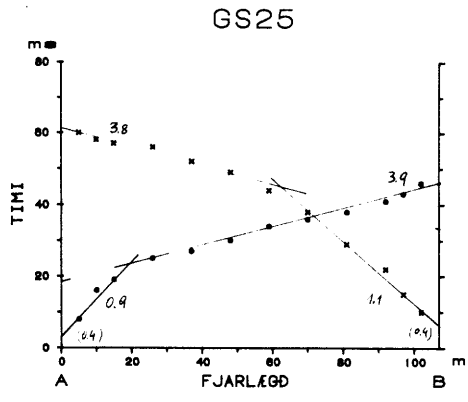
GS11

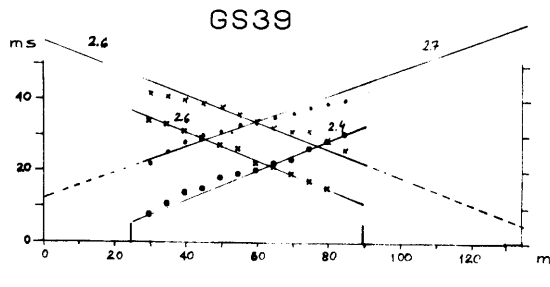
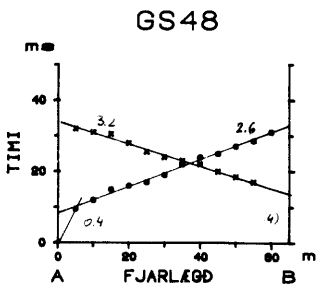
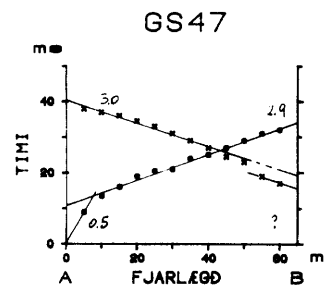
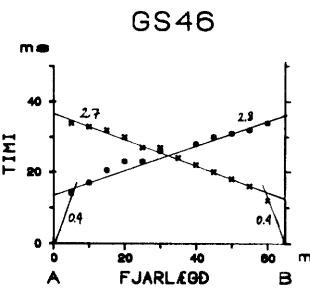
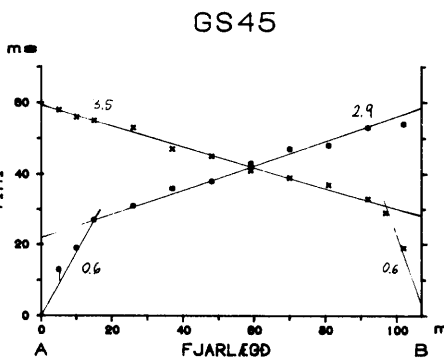
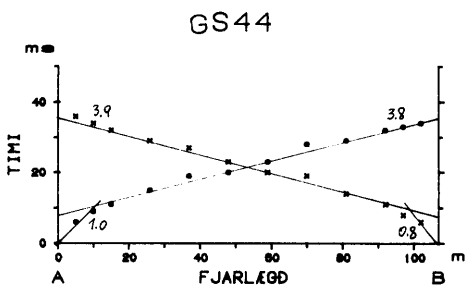
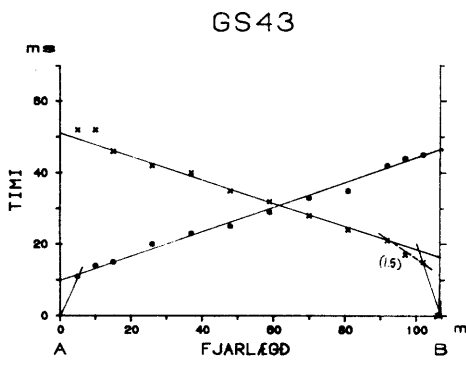
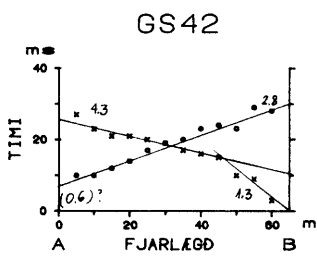
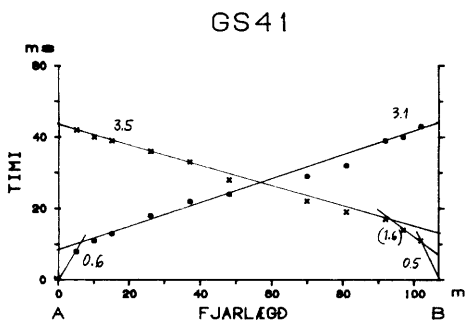
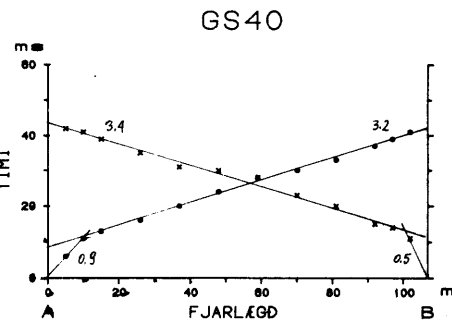
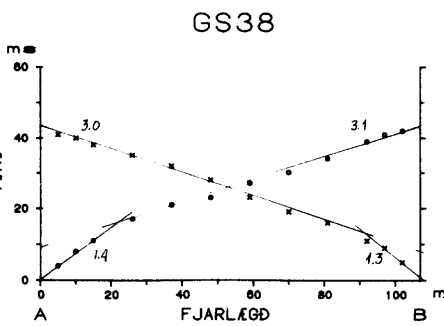
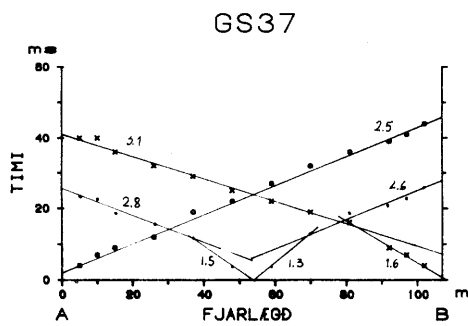


GS12

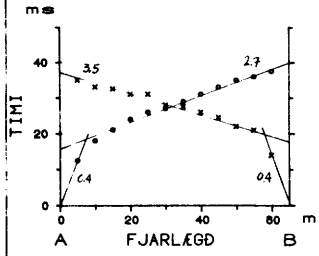




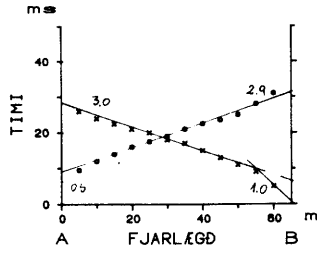




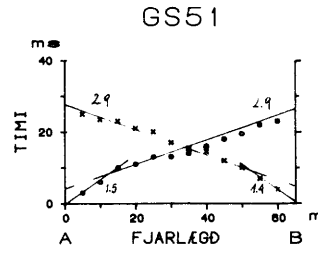
GS49



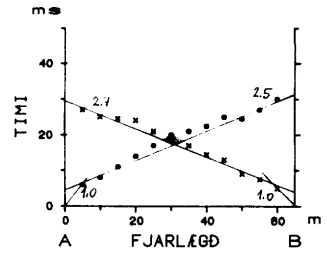
GS50



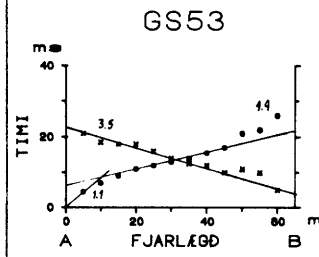
GS51



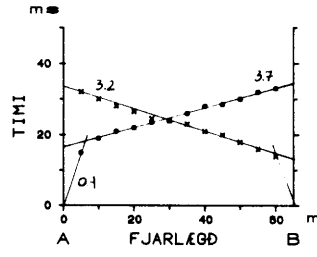
GS52



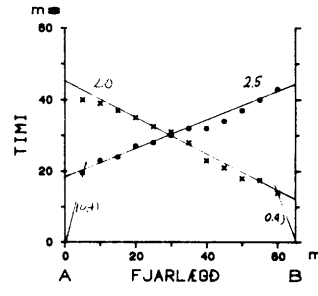
GS53



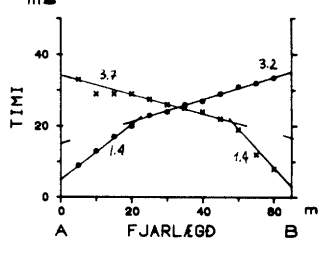
GS54



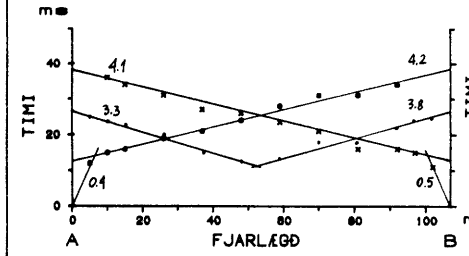
GS55



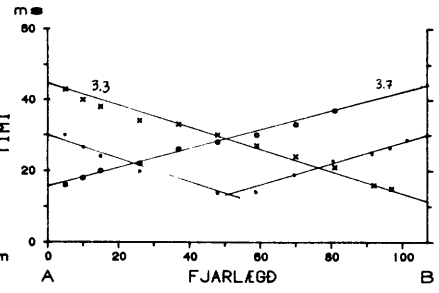
GS56



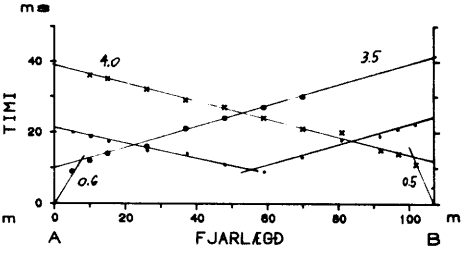
GS56X



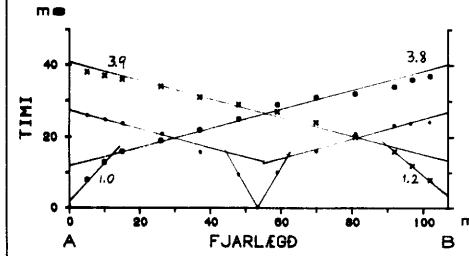
GS57



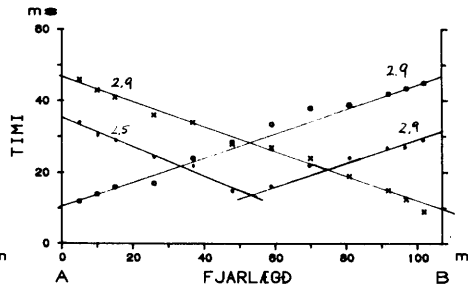
GS58



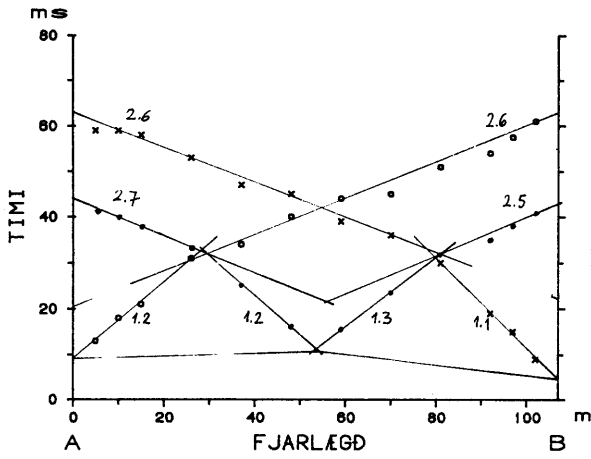
GS59



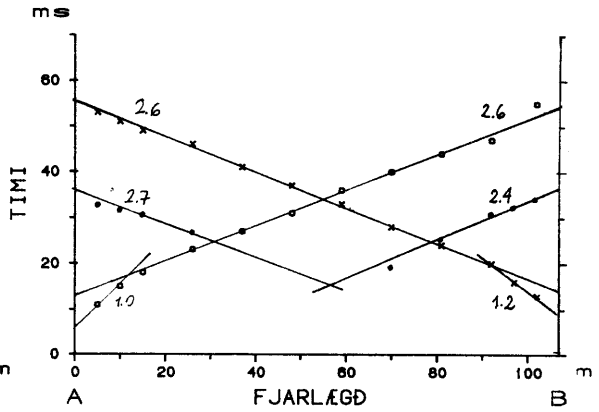
GS60



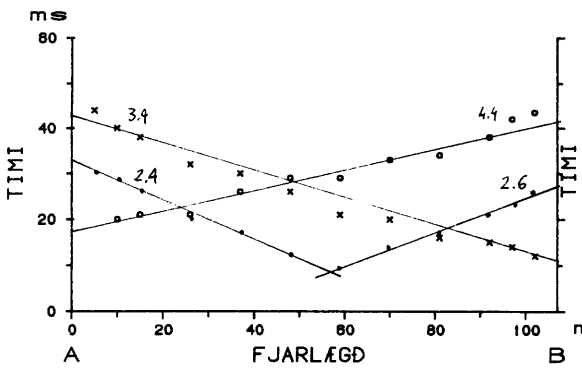
GS61



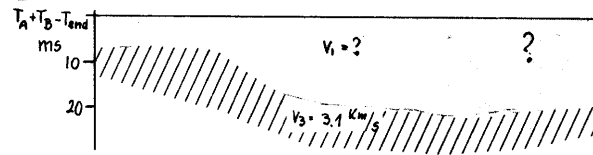
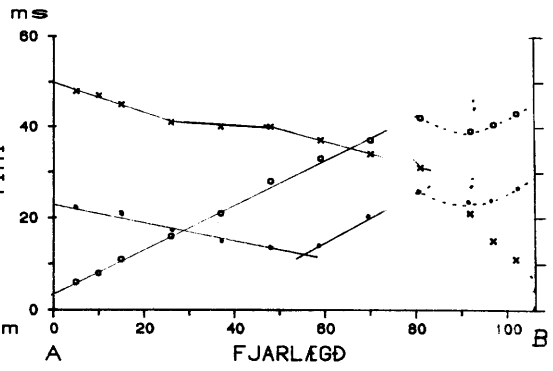
GS62



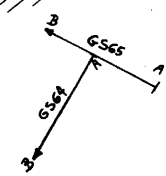
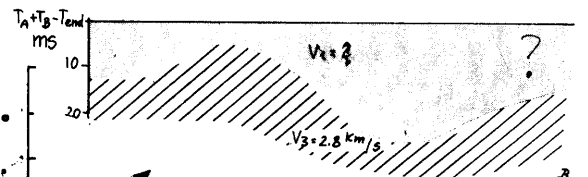
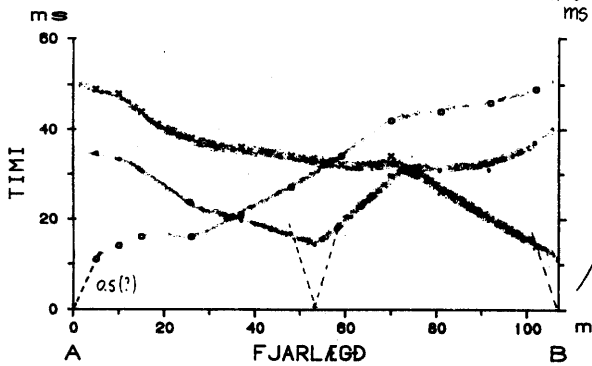
GS63

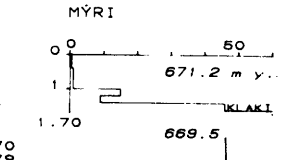
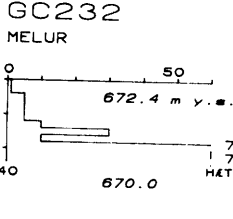
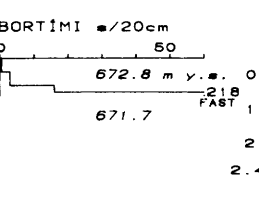
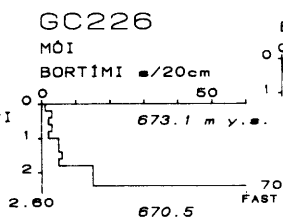
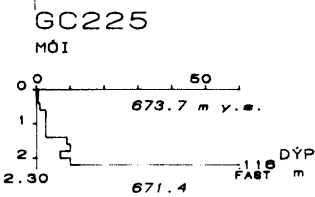
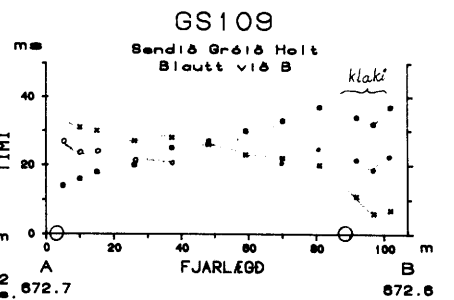
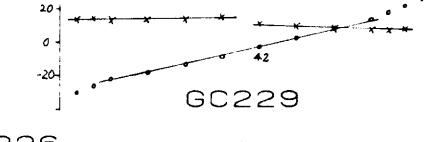
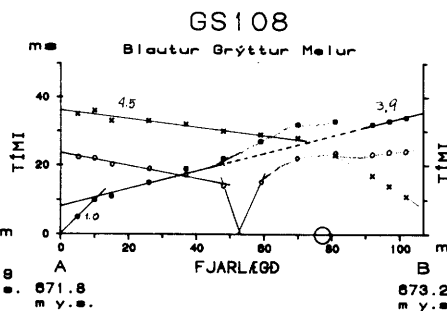
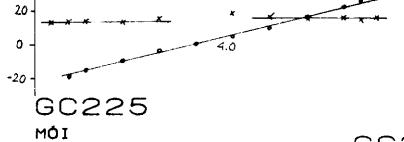
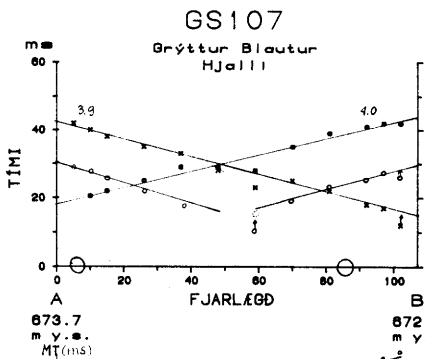
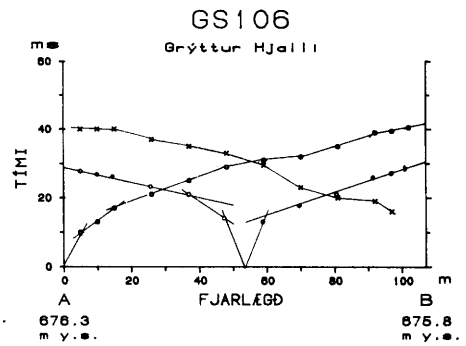
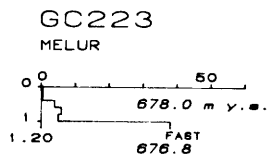
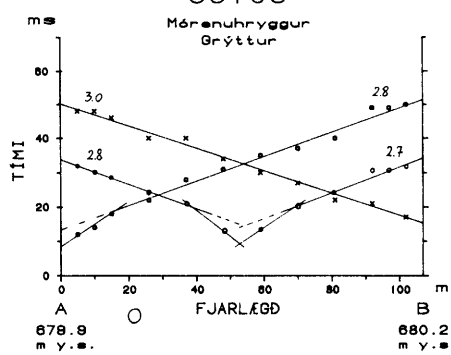
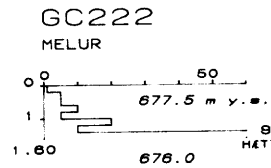
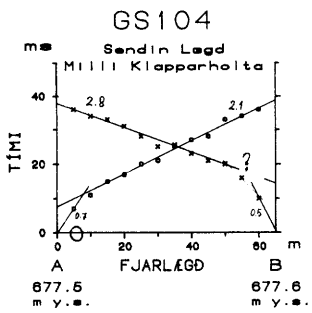
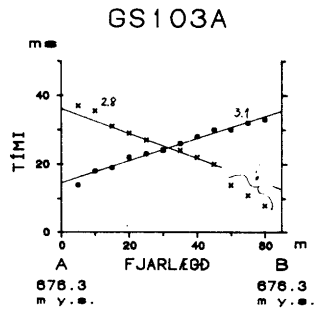
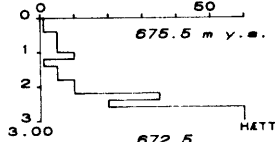
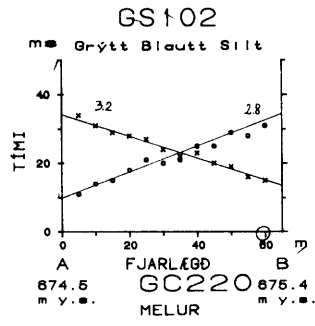
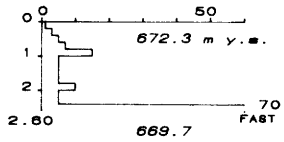
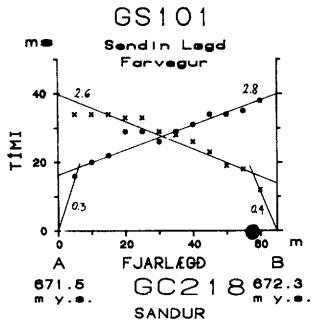


GS64

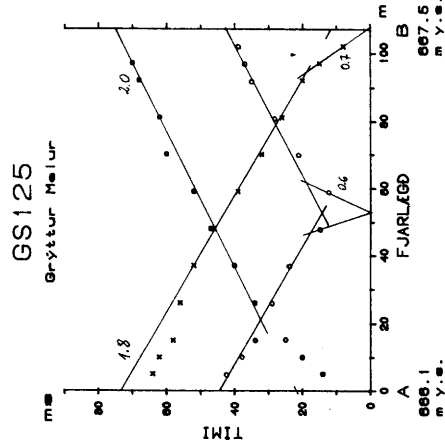
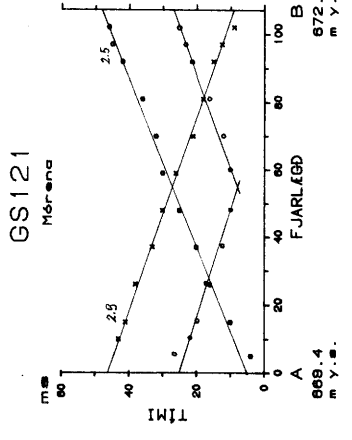
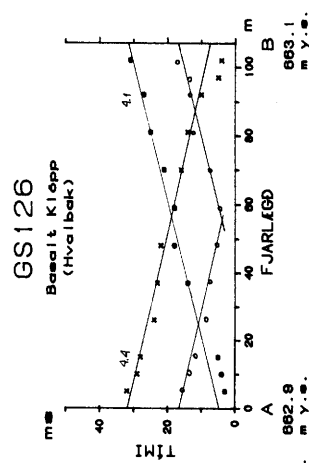
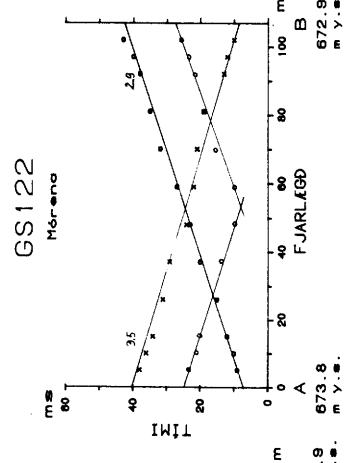
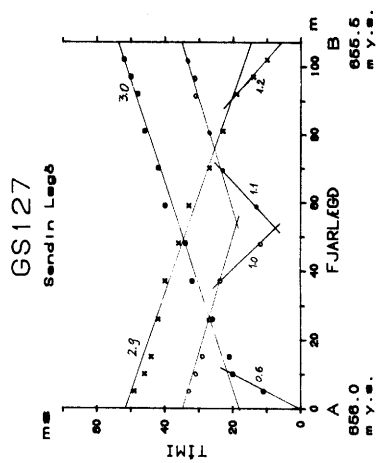
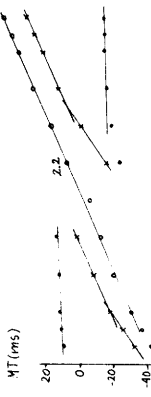
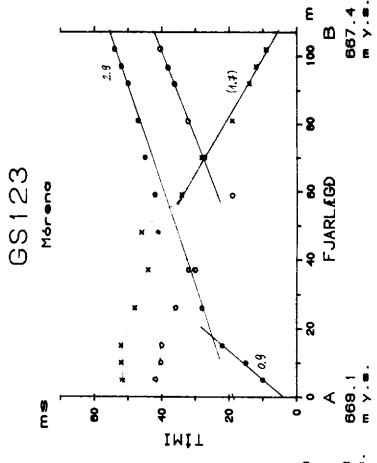
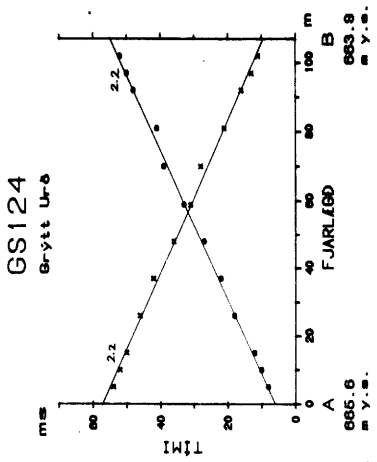


GS65

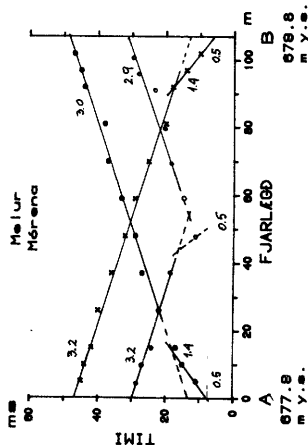




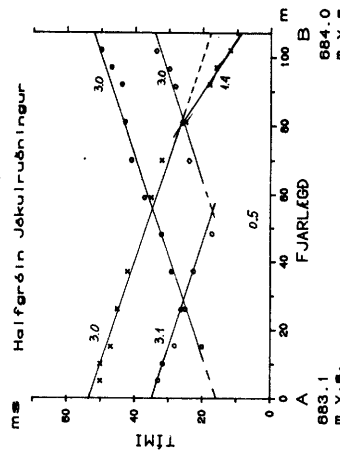




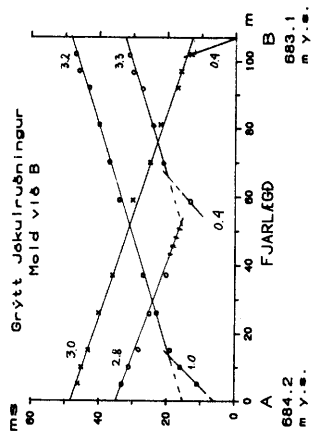
GS130



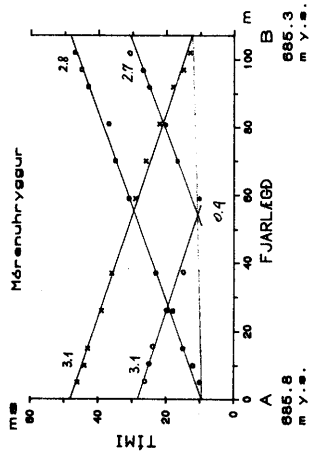
GS131



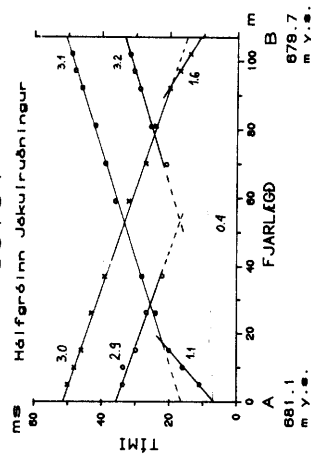
GS132



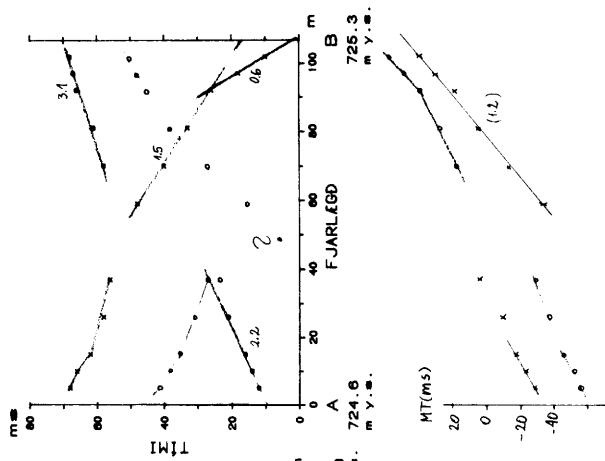
GS133



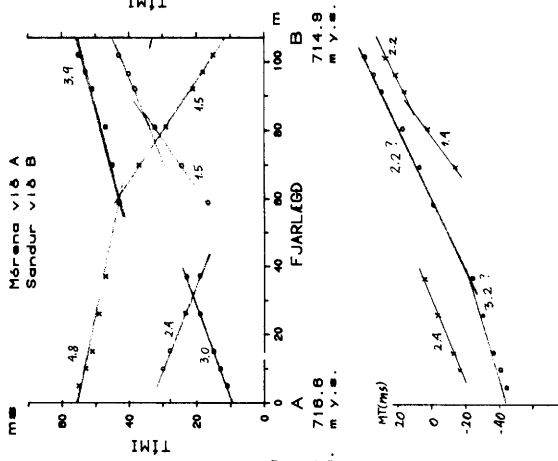
GS134



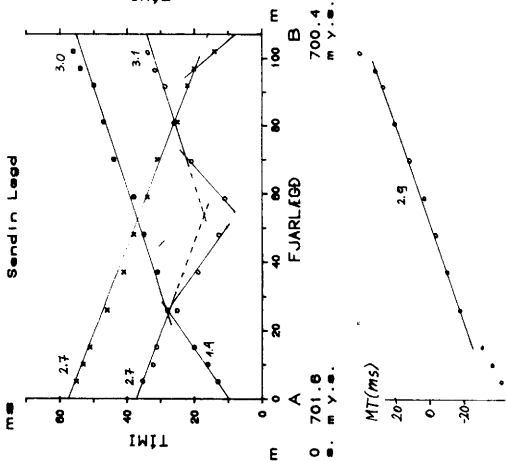
GS143



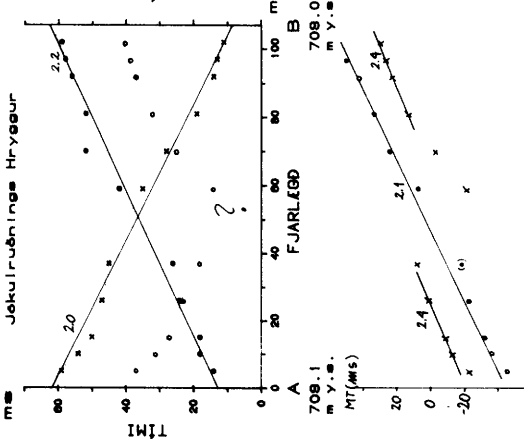
GS142  
Mórena við A  
Sandur við B



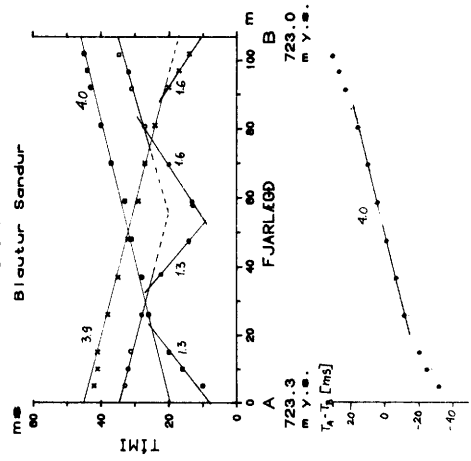
GS141  
Sandin Leod



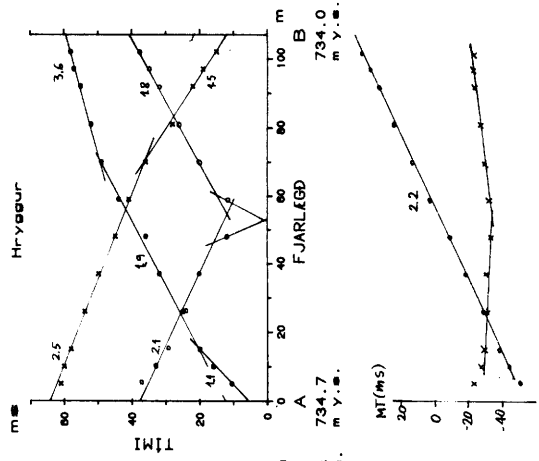
GS140  
Jökulruðnings Hryggur



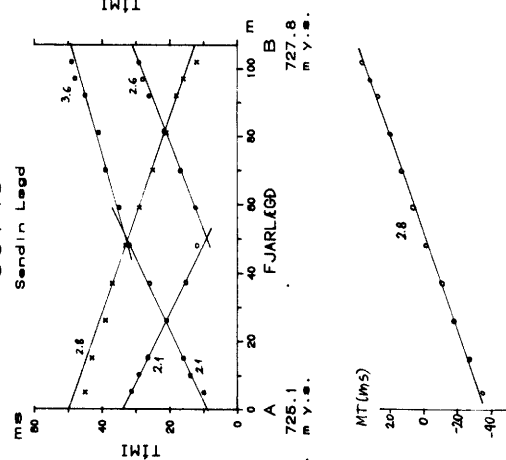
GS147  
Blautur Sandur



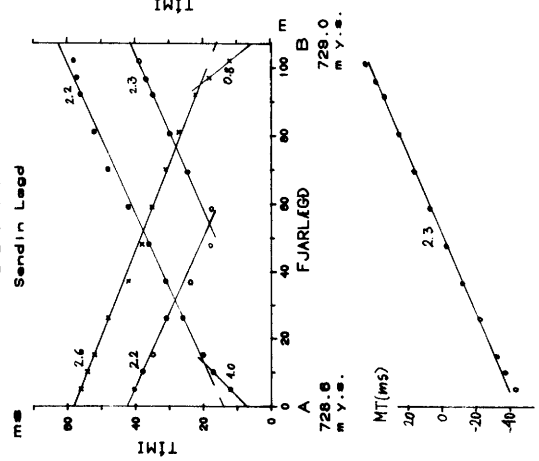
GS146  
Hryggur



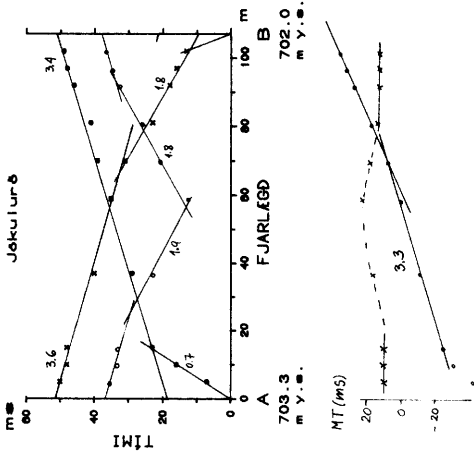
GS145  
Sandin Leod



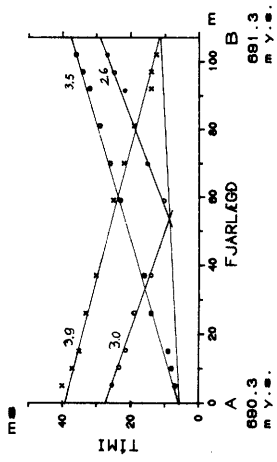
GS144  
Sandin Leod



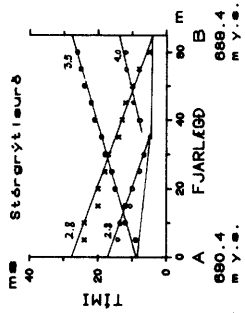
GS153  
Jökullurð



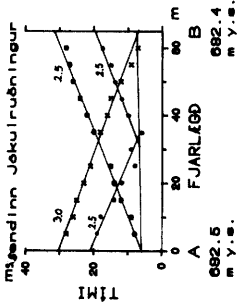
GS152



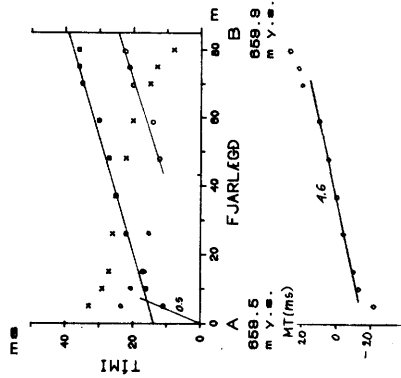
GS151  
Stórerytlaurð



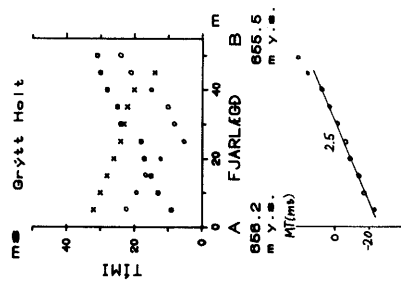
GS150  
miðlandinn Jökulrúðineur



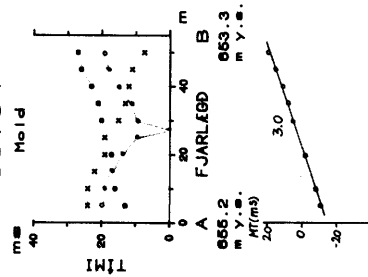
GS156



GS155  
Grýtt Holt



GS154  
Holt





VIÐAUKI B

Hljóðhraðamælingar - Töflur

ORKUSTOFNUN  
VATNSORKUDEILD

HLJODHRADAMELINGAR  
SKAGAFJÖRÐUR 1981-1983

1984-02-28  
Blad 1 af 9 HB

| Hall nr. |   | Hnit      |           | Hzd<br>m y.s. | Hljodhradi, km/s |    |    |        |    | Þakkt.m     |             |  | Dypt.m<br>a 3.lad<br>H2 |
|----------|---|-----------|-----------|---------------|------------------|----|----|--------|----|-------------|-------------|--|-------------------------|
|          |   | X-vestur  | Y-nordur  |               | U1               | U2 | Vt | U3     | Vt | 1.lad<br>h1 | 2.lad<br>h2 |  |                         |
| SA01     | A | 523169.56 | 509804.34 | 718.43        | (0.6)            |    |    | 2.10   |    |             | 5.0         |  | 00                      |
|          | B | 523209.35 | 509764.62 | 718.87        | 0.6              |    |    | 2.50   |    | 2.3         | 6.0         |  | 0                       |
| SA02     | A | 523673.92 | 510348.41 | 720.57        | (0.6)            |    |    | 3.10   |    |             | 8.0         |  |                         |
|          | B | 523561.15 | 510389.29 | 720.65        | (0.6)            |    |    | 2.70   |    | 2.9         | 6.0         |  |                         |
| SA03     | A | 524330.31 | 511352.82 | 709.12        | (0.6)            |    |    | 4.60   |    |             | 8.0         |  |                         |
|          | B | 524229.25 | 511417.25 | 710.10        | 0.6              |    |    | 3.80   |    | 4.2         | 5.0         |  |                         |
| SA04     | A | 524144.45 | 511020.04 | 723.41        | 0.7              |    |    | 2.50   |    |             | 5.5         |  |                         |
|          | B | 524029.03 | 510986.29 | 727.70        | (0.7)            |    |    | 3.00   |    | 2.7         | 7.0         |  |                         |
| SA05     | A | 523875.55 | 510636.92 | 729.70        | 0.7              |    |    | 2.30   |    |             | 3.5         |  |                         |
|          | B | 523812.59 | 510535.20 | 729.45        | 0.5              |    |    | 2.80   |    | 2.5         | 7.0         |  |                         |
| SA06     | A | 523123.95 | 509256.11 | 695.63        | 0.5              |    |    | 3.30   |    |             | 6.5         |  | G                       |
|          | B | 523069.26 | 509362.64 | 694.67        | 0.5              |    |    | 3.10   |    | 3.2         | 5.5         |  |                         |
| SA07     | A | 520093.94 | 508612.77 | 687.12        | 0.8              |    |    | 2.60   |    |             | 3.5         |  | F                       |
|          | B | 520015.54 | 508522.60 | 686.56        | 0.8              |    |    | 2.50   |    | 2.5         | 3.0         |  | 0P                      |
| SA08     | A | 519821.81 | 508909.87 | 698.79        | 0.5              |    |    | 2.70   |    |             | 3.5         |  | B                       |
|          | B | 519727.72 | 508880.34 | 697.93        | 0.5              |    |    | 2.70   |    | 2.7         | 2.0         |  |                         |
| SA09     | A | 519309.25 | 508648.72 | 710.74        | 0.8              |    |    | 3.00   |    |             | 14.0        |  |                         |
|          | B | 519199.37 | 508599.85 | 709.56        | 0.8              |    |    | 3.00   |    | 3.0         | 13.0        |  |                         |
| SA10     | A | 518899.72 | 508920.34 | 723.09        | 0.9              |    |    | 2.30   |    |             | 6.0         |  | DF                      |
|          | B | 518809.58 | 508999.18 | 725.46        | (0.9)            |    |    | (2.90) |    | 2.6         | ?           |  |                         |
| SA11     | A | 520367.37 | 508219.89 | 703.92        | 0.7              |    |    | 2.60   |    |             | 5.5         |  |                         |
|          | B | 520461.37 | 508294.39 | 697.68        | 0.7              |    |    | 2.80   |    | 2.7         | 5.5         |  |                         |
| SA12     | A | 520649.15 | 508335.10 | 700.92        | 0.8              |    |    | 3.30   |    |             | 13.0        |  |                         |
|          | B | 520748.34 | 508402.56 | 701.22        | 0.9              |    |    | 2.90   |    | 3.1         | 9.0         |  |                         |
| SA13     | A | 520903.99 | 508527.24 | 694.74        | 0.8              |    |    | 2.80   |    |             | 8.5         |  |                         |
|          | B | 520921.93 | 508407.87 | 695.02        | 0.8              |    |    | 3.10   |    | 2.9         | 8.5         |  |                         |
| SA14     | A | 521350.70 | 511413.06 | 713.73        | 0.8              |    |    | 3.10   |    |             | 6.0         |  | Q                       |
|          | B | 521323.06 | 511460.69 | 714.57        | (0.8)            |    |    | (2.70) |    | 2.9         | 7.0         |  |                         |
| GS1      | A | 521180.44 | 511467.03 | 674.97        | 0.6              |    |    | 2.70   |    |             | 3.0         |  |                         |
|          | B | 521155.61 | 511515.99 | 675.18        | 0.6              |    |    | 2.80   |    | 2.7         | 3.0         |  |                         |
| GS2      | A | 521208.78 | 511493.30 | 683.15        | 0.4              |    |    | 2.90   |    |             | 3.5         |  | G                       |
|          | B | 521195.74 | 511547.28 | 682.92        | 0.6              |    |    | 2.40   |    | 2.6         | 2.0         |  |                         |
| GS3      | A | 521226.18 | 511408.76 | 681.10        | 0.9              |    |    | 3.40   |    |             | 5.0         |  |                         |
|          | B | 521210.29 | 511461.60 | 679.46        | 0.9              |    |    | 3.00   |    | 3.2         | 3.0         |  |                         |

Q LIMURIT OGREINILEGT  
 O MINNSTA DYPI A FAST  
 G GOD LIMURIT  
 P MESTA DYPI A FAST  
 B TULKUN OVISS

V = velocity / hljodhradi  
 u = up-dip / hallar upp  
 d = down-dip / hallar nidur  
 t = true / rettur

ORKUSTOFNUN  
VATNSORKUDEILD

HLJODHRADAMELINGAR  
SKAGAFJÖRDUR 1981-1983

1984-02-28  
Blad 2 af 9 HB

| Hall<br>nr. |   | Hnit      |           | Hæð    |     | Hljóðhradi, km/s |       |      |             | Þykkt, m    |             |      | Dýpi, m |
|-------------|---|-----------|-----------|--------|-----|------------------|-------|------|-------------|-------------|-------------|------|---------|
|             |   | X-vestur  | Y-norður  | m y.s. | V1  | V2               | V3    | Vt   | 1.lag<br>h1 | 2.lag<br>h2 | 3.lag<br>h2 |      |         |
| GS4         | A | 521272.33 | 511411.98 | 695.70 | 0.8 |                  |       | 3.30 |             |             | 6.0         |      | 6       |
|             | B | 521235.16 | 511503.49 | 692.81 | 0.8 |                  |       | 2.90 | 3.1         |             | 4.5         |      |         |
| GS5         | A | 521289.07 | 511416.92 | 701.59 | 0.8 |                  |       | 2.90 |             |             | 6.0         |      | 6       |
|             | B | 521258.89 | 511510.62 | 700.65 | 0.9 |                  |       | 2.60 | 2.7         |             | 3.5         |      |         |
| GS6         | A | 521329.22 | 511432.69 | 713.01 |     | 1.10             |       | 3.10 |             |             | 12.0        |      | 6       |
|             | B | 521300.06 | 511526.83 | 714.41 |     | 1.10             | i . i | 2.40 | 2.7         |             | 8.0         |      |         |
| GS7         | A | 523523.67 | 510273.30 | 731.71 | 1.0 |                  |       | 4.70 |             |             | 8.0         |      |         |
|             | B | 523485.52 | 510182.97 | 731.05 | 0.8 |                  |       | 3.40 | 3.9         |             | 4.0         |      |         |
| GS8         | A | 522930.45 | 510653.30 | 715.50 | 0.4 | 1.30             |       | 4.00 |             |             | 2.5         | 8.0  | 11 00   |
|             | B | 522925.83 | 510554.64 | 714.78 | 0.6 |                  |       | 3.60 | 3.8         |             | 6.0         |      |         |
| GS9         | A | 521079.04 | 511357.18 | 647.85 | 0.4 | 1.80             |       | 4.50 |             |             | 1.0         | 4.0  | 5       |
|             | B | 521096.84 | 511409.52 | 646.47 | 0.5 |                  |       | 4.60 | 4.5         |             | 2.5         |      | 0       |
| GS10        | A | 521035.07 | 511337.32 | 656.33 | 0.4 | (1.80)           |       | 4.80 |             |             | 1.5         | 13.5 | 15      |
|             | B | 521041.58 | 511392.07 | 656.54 | 0.4 | 1.00             | 1.3   | 4.80 | 4.8         |             | 1.0         | 11.0 | 12 B    |
| GS11        | A | 520994.17 | 511357.17 | 660.34 | 0.4 | 1.90             |       | 4.20 |             |             | 1.5         | 12.5 | 14      |
|             | B | 521018.37 | 511407.04 | 660.35 | 0.4 | 1.80             | 1.8   | 3.40 | 3.8         |             | 1.0         | 13.0 | 14      |
| GS12        | A | 520958.98 | 511300.08 | 657.40 | 0.4 | 2.00             |       | 3.70 |             |             | 1.0         | 10.0 | 11      |
|             | B | 521030.10 | 511366.73 | 657.81 | 0.4 | 2.00             | 2.0   | 4.40 | 4.0         |             | 1.0         | 15.0 | 16      |
| GS13        | A | 520935.10 | 511336.85 | 661.54 | 0.4 | 1.20             |       | 3.50 |             |             | 2.0         | 8.0  | 10      |
|             | B | 520859.96 | 511316.51 | 661.43 | 0.4 | 1.20             | 1.2   | 4.40 | 3.9         |             | 2.0         | 9.0  | 11      |
| GS14        | A | 520929.64 | 511332.26 | 661.55 | 0.4 | 1.70             |       | 3.70 |             |             |             |      | ? F     |
|             | B | 520922.52 | 511429.06 | 661.96 | 0.4 | 1.30             | 1.5   | 3.30 | 3.5         | (2.0)       |             |      |         |
| GS15        | A | 520879.26 | 511322.74 | 661.24 | 0.4 | 1.50             |       | 3.70 |             |             | 2.0         | 10.0 | 12      |
|             | B | 520881.36 | 511419.73 | 658.92 | 0.4 | 1.50             | 1.5   | 2.90 | 3.3         |             | 1.0         | 7.0  | 8       |
| GS16        | A | 520768.54 | 511340.97 | 669.81 | 0.4 | 2.00             |       | 3.10 |             |             | 1.0         | 8.5  | 10 B    |
|             | B | 520806.71 | 511430.91 | 668.80 | 0.4 | 1.70             | 1.8   | 3.50 | 3.3         |             | 1.0         | 14.0 | 15      |
| GS17        | A | 520444.34 | 511344.26 | 685.51 |     | 1.30             |       | 3.30 |             |             |             | 7.0  |         |
|             | B | 520665.05 | 511439.39 | 683.82 |     |                  |       | 3.20 | 3.2         |             | (7.0)       |      | P       |
| GS18        | A | 520635.76 | 511234.72 | 680.45 | 0.4 | 2.20             |       | 4.00 |             |             | 1.0         | 9.0  | 10      |
|             | B | 520668.18 | 511326.28 | 681.02 | 0.4 | 2.10             | 2.1   | 3.70 | 3.8         |             | 1.0         | 6.0  | 7       |
| GS19        | A | 520569.13 | 511369.77 | 704.94 | 0.4 | 1.30             |       | 3.00 |             |             | 1.5         | 6.0  | 8 G     |
|             | B | 520590.65 | 511463.95 | 707.01 | 0.4 | 1.30             | 1.3   | 3.50 | 3.2         |             | 2.0         | 7.5  | 10      |
| GS20        | A | 520504.65 | 511360.58 | 711.40 | 0.4 | 0.80             |       | 2.60 |             |             | 1.5         | 4.0  | 6       |
|             | B | 520529.96 | 511455.01 | 714.08 | 0.4 | 0.80             | 0.8   | 3.00 | 2.8         |             | 1.0         | 6.0  | 7       |

G GOD LÍNURIT  
 Q LÍNURIT ÖGREINILEGT  
 0 FULKUN ÖVISS  
 0 HINNSTA DYPI A FAST  
 F ÖFUG HLJÓÐHRADASKIL, EKKI HÆGT AD SPA UM DYPI  
 P NESTA DYPI A FAST

V = velocity / hljóðhradi  
 u = up-dip / hallar upp  
 d = down-dip / hallar niður  
 t = true / réttur

ORKUSTOFNUN  
VATNSORKUDEILD

HLJÓÐHRADAMÆLINGAR  
SKAGAFJÖRÐUR 1981-1983

1984-02-28  
Blad 3 af 9 HB

| Hall nr. |   | Hnit      |           | Hæð     |       | HLjóðhradi, km/s |     |       |        | Þakktim |        | Þviss |
|----------|---|-----------|-----------|---------|-------|------------------|-----|-------|--------|---------|--------|-------|
|          |   | X-vestur  | Y-norður  | a úr s. | V1    | V2               | V3  | Vt    | 1. lsd | 2. lsd  | 3. lsd |       |
|          |   |           |           |         |       | VurVd            | Vt  | VurVd | Vt     | h1      | h2     | H2    |
| GS21     | A | 520489.25 | 511489.51 | 719.34  | 0.8   |                  |     | 3.10  |        | 3.5     |        |       |
|          | B | 520515.64 | 511584.18 | 719.79  | (0.5) |                  |     | 2.80  | 2.9    | 2.5     |        |       |
| GS22     | A | 522703.20 | 509350.87 | 695.46  | 0.4   | 1.10             |     | 3.70  |        | 1.5     | 6.0    | 8     |
|          | B | 522710.92 | 509447.22 | 697.09  | 0.4   | (1.10)           | 1.1 | 3.50  | 3.6    | 1.5     | 5.5    | 7     |
| GS23     | A | 522716.14 | 509617.34 | 702.01  | 0.4   | 1.40             |     | 3.00  |        | 1.5     | 6.0    | 8     |
|          | B | 522665.98 | 509701.16 | 705.38  | 0.4   | (1.40)           | 1.4 | 2.80  | 2.9    | 2.5     |        | D     |
| GS24     | A | 522667.66 | 509817.19 | 707.04  | 0.4   | 0.90             |     | 2.90  |        | 1.0     | 7.0    | 8     |
|          | B | 522735.66 | 509888.26 | 707.62  | 0.4   | 1.20             | 1.0 | 3.00  | 2.9    | 1.0     | 7.0    | 8     |
| GS25     | A | 522782.41 | 510090.20 | 711.24  | 0.4   | 1.00             |     | 3.90  |        | 1.0     | 7.0    | 8 G   |
|          | B | 522815.09 | 510182.23 | 712.15  | 0.4   | 1.00             | 1.0 | 3.80  | 3.8    | 1.0     | 14.0   | 15    |
| GS26     | A | 522880.16 | 510377.82 | 713.85  | 0.4   | 1.10             |     | 2.80  |        | 1.0     | 12.0   | 13 G  |
|          | B | 522957.74 | 510436.01 | 713.82  | 0.4   | 1.10             | 1.1 | 4.60  | 3.5    | 3.5     | 16.0   | 20    |
| GS27     | A | 522995.70 | 510694.34 | 715.31  | (0.5) |                  |     | 3.80  |        | 7.5     |        | 60    |
|          | B | 523083.65 | 510734.07 | 715.44  | 0.4   |                  |     | 2.40  | 2.9    | 3.0     |        |       |
| GS28     | A | 523083.02 | 510881.47 | 720.00  | 0.6   |                  |     | 3.30  |        | 4.0     |        |       |
|          | B | 523097.64 | 510977.78 | 721.21  | (0.6) |                  |     | 3.40  | 3.3    | 4.5     |        |       |
| GS29     | A | 523257.24 | 511024.32 | 730.71  | 0.5   |                  |     | 3.00  |        | 4.0     |        |       |
|          | B | 523326.43 | 511092.19 | 728.52  | 0.5   |                  |     | 2.80  | 2.9    | 3.0     |        |       |
| GS30     | A | 523420.53 | 511201.63 | 720.49  | (0.5) |                  |     | 2.80  |        | 4.0     |        | 0     |
|          | B | 523474.96 | 511283.08 | 721.43  | 0.5   |                  |     | 3.00  | 2.9    | 4.5     |        | B     |
| GS31     | A | 523758.27 | 511638.73 | 719.66  | 0.8   |                  |     | 3.20  |        | 6.0     |        |       |
|          | B | 523814.81 | 511717.21 | 717.36  | (0.8) |                  |     | 2.80  | 3.0    | 4.0     |        | F     |
| GS32     | A | 523932.41 | 511863.08 | 713.73  | 0.5   |                  |     | 2.50  |        | 5.5     |        | G     |
|          | B | 524000.54 | 511931.51 | 712.37  | 0.5   |                  |     | 2.80  | 2.6    | 6.0     |        |       |
| GS33     | A | 524112.94 | 512055.91 | 709.78  | 0.4   | 1.20             |     | 3.30  |        | 2.5     | 5.5    | 8 0   |
|          | B | 524193.10 | 512110.12 | 708.17  | 0.4   | 1.20             | 1.2 | 3.10  | 3.2    | 2.0     | 5.0    | 7 0   |
| GS34     | A | 524156.13 | 511556.93 | 710.72  | 0.4   |                  |     | 3.20  |        | 5.0     |        |       |
|          | B | 524113.98 | 511469.83 | 712.11  | 0.5   |                  |     | 3.80  | 3.5    | 6.5     |        |       |
| GS35     | A | 524234.30 | 511659.55 | 708.70  | 0.4   | 1.60             |     | 3.30  |        | 2.0     | 10.0   | 12 G  |
|          | B | 524281.34 | 511743.55 | 708.08  | 0.4   | 1.50             | 1.5 | 3.20  | 3.2    | 2.0     | 8.5    | 11    |
| GS36     | A | 524353.56 | 511853.51 | 707.83  | 0.4   | 1.70             |     | 3.50  |        | 2.0     | 8.0    | 10 G  |
|          | B | 524384.20 | 511945.20 | 707.46  |       | 1.50             | 1.6 | 2.80  | 3.1    |         | 9.0    |       |
| GS37     | A | 524471.06 | 512001.23 | 707.10  |       | 1.50             |     | 2.50  |        |         | 2.0    | F     |
|          | B | 524378.04 | 512029.55 | 706.88  |       | 1.50             | 1.5 | 3.10  | 2.8    |         | 6.0    |       |

G GOD LIMURIT  
0 KJMNSTA DYPI A FAST  
0 LIMURIT OGREINILEGT  
D TULKUN OVISS  
F MESTA DYPI A FAST

V = velocity / hljóðhradi  
a = a-dir / hallar a-  
d = down-dir / hallar niður  
t = true / réttur

ORKUSTOFNUN  
VATNSORKUDEILD

HLJÓÐHRADANÆLINGAR  
SKAGAFJÖRDUR 1981-1983

1984-02-28  
Blad 4 af 9 HB

| Hæll<br>nr. |   | Hnit      |           | Hæð    |       | Hljóðhræði: km/s |     |      | Púkkun      |             | Reisn       |   |
|-------------|---|-----------|-----------|--------|-------|------------------|-----|------|-------------|-------------|-------------|---|
|             |   | X-vestur  | Y-norður  | m y.s. | V1    | V2               | V3  | V4   | 1.los<br>hl | 2.los<br>h2 | 3.los<br>H2 |   |
| GS38        | A | 524325.92 | 512083.81 | 706.97 |       | 1.40             |     | 3.10 |             |             | 7.0         | 6 |
|             | B | 524272.43 | 512163.97 | 706.90 |       | 1.30             | 1.3 | 3.00 | 3.0         |             | 6.0         |   |
| GS39        | A | 524921.73 | 513075.97 | 706.87 |       | 1.50             |     | 2.90 |             |             | 3.5         |   |
|             | B | 524941.69 | 513128.18 | 706.76 | 0.5   |                  |     | 2.50 | 2.7         | 4.0         |             |   |
| GS40        | A | 524961.18 | 513163.45 | 706.78 | 0.9   |                  |     | 3.20 |             | 3.0         |             | 6 |
|             | B | 525047.79 | 513206.54 | 707.17 | 0.5   |                  |     | 3.40 | 3.3         | 4.5         |             |   |
| GS41        | A | 525312.70 | 513357.97 | 706.88 | 0.6   |                  |     | 3.10 |             | 2.5         |             |   |
|             | B | 525284.82 | 513449.91 | 706.84 | 0.6   |                  |     | 3.50 | 3.3         | 4.0         |             | 0 |
| GS42        | A | 525534.54 | 513443.84 | 706.83 | (0.6) |                  |     | 2.80 |             | 2.0         |             | 0 |
|             | B | 525589.80 | 513451.70 | 707.05 |       | 1.30             |     | 4.30 | 3.4         |             | 7.0         |   |
| GS43        | A | 525753.69 | 513436.56 | 708.13 | 0.6   |                  |     | 3.00 |             | 3.0         |             | 0 |
|             | B | 525841.33 | 513395.37 | 708.25 | 0.6   |                  |     | 3.00 | 3.0         | 4.0         |             |   |
| GS44        | A | 526013.07 | 513392.27 | 705.81 | 1.0   |                  |     | 3.80 |             | 1.0         |             |   |
|             | B | 526109.80 | 513390.56 | 705.08 | 0.8   |                  |     | 3.90 | 3.8         | 4.0         |             |   |
| GS45        | A | 526523.35 | 513445.89 | 705.19 | 0.6   |                  |     | 2.90 |             | 7.0         |             | 0 |
|             | B | 526607.80 | 513472.98 | 706.26 | 0.6   |                  |     | 3.50 | 3.2         | 8.5         |             |   |
| GS46        | A | 526742.59 | 513540.47 | 699.97 | 0.4   |                  |     | 2.80 |             | 3.0         |             |   |
|             | B | 526784.72 | 513575.96 | 699.75 | 0.4   |                  |     | 2.70 | 2.7         | 2.5         |             |   |
| GS47        | A | 527007.45 | 513614.25 | 698.54 | 0.5   |                  |     | 2.90 |             | 3.0         |             |   |
|             | B | 527060.69 | 513628.00 | 697.87 | 0.5   |                  |     | 3.00 | 2.9         | 4.0         |             |   |
| GS48        | A | 527406.50 | 513720.36 | 695.62 | 0.4   |                  |     | 2.60 |             | 2.0         |             |   |
|             | B | 527459.29 | 513737.41 | 695.86 | (0.4) |                  |     | 3.20 | 2.9         | 3.0         |             |   |
| GS49        | A | 527610.23 | 513827.79 | 696.43 | 0.4   |                  |     | 2.70 |             | 3.5         |             | 6 |
|             | B | 527662.90 | 513844.99 | 696.02 | 0.4   |                  |     | 3.50 | 3.0         | 4.0         |             |   |
| GS50        | A | 527821.40 | 513850.86 | 694.66 | (0.5) |                  |     | 2.90 |             | 2.5         |             |   |
|             | B | 527875.67 | 513867.28 | 694.37 |       | 1.00             |     | 3.00 | 2.9         |             | 3.0         |   |
| GS51        | A | 528059.07 | 513914.89 | 693.56 |       | 1.50             |     | 2.90 |             |             | 4.0         | 0 |
|             | B | 528113.68 | 513922.79 | 693.02 |       | 1.50             | 1.5 | 2.90 | 2.9         |             | 4.0         |   |
| GS52        | A | 528492.05 | 514114.24 | 692.19 |       | 1.00             |     | 2.50 |             |             | 2.0         | P |
|             | B | 528519.84 | 514162.32 | 692.03 |       | 1.00             | 1.0 | 2.70 | 2.6         |             | 2.0         |   |
| GS53        | A | 529035.99 | 515292.36 | 691.82 |       | 1.00             |     | 4.40 |             |             | 3.0         | P |
|             | B | 529052.87 | 515345.79 | 691.79 |       | (1.00)           | 1.0 | 3.50 | 3.9         |             | 2.0         |   |
| GS54        | A | 529337.49 | 515929.15 | 694.50 | 0.4   |                  |     | 3.70 |             | 3.5         |             |   |
|             | B | 529312.07 | 515976.53 | 694.55 | 0.4   |                  |     | 3.20 | 3.4         | 2.5         |             |   |

G GOD LINURIT  
O KINNSTA DYPI A FAST  
0 LINURIT ÖGREINILEGT  
P HESTA UTREIKNUD DYPI

V = velocity / hljóðhræði  
u = w-dir / hallar w  
d = down-dir / hallar niður  
t = true / reitur

ORKUSTOFNUN  
VATNSORKUDEILD

HLJÓÐHRADANLINGAR  
SKAGAFJÖRDUR 1981-1983

1984-02-28  
Blad 5 af 9 HB

| Hell<br>nr. |   | Hnit.     |           | Hæð<br>m u.s. | Hljóðhradi, km/s |        |     |    |      | Þekktum      |              |              |          |
|-------------|---|-----------|-----------|---------------|------------------|--------|-----|----|------|--------------|--------------|--------------|----------|
|             |   | X-vestur  | Y-norður  |               | V1               | V2     | V3  | V4 | V5   | 1. lag<br>h1 | 2. lag<br>h2 | 3. lag<br>h3 |          |
| GS55        | A | 536992.73 | 521019.42 | 658.71        | (0.4)            |        |     |    | 2.50 |              |              | 3.5          |          |
|             | B | 536945.63 | 521045.64 | 658.85        | (0.4)            |        |     |    | 2.00 | 2.2          |              | 2.5          |          |
| GS56        | A | 538660.51 | 521277.04 | 657.13        | 0.4              | 1.40   |     |    | 3.20 |              |              | 1.0          | 7.5 9 00 |
|             | B | 538699.73 | 521315.95 | 656.94        | 0.4              | 1.40   | 1.4 |    | 3.70 | 3.4          |              | 1.0          | 8.5 10   |
| GS56X       | A | 529372.69 | 516057.72 | 693.24        | 0.4              |        |     |    | 4.20 |              |              | 3.0          |          |
|             | B | 529407.24 | 516149.19 | 693.36        | 0.5              |        |     |    | 4.10 | 4.1          |              | 3.0          |          |
| GS57        | A | 529521.28 | 516409.38 | 694.84        | (0.5)            |        |     |    | 3.70 |              |              | 4.0          |          |
|             | B | 529569.17 | 516494.63 | 693.72        | (0.5)            |        |     |    | 3.30 | 3.5          |              | 3.0          |          |
| GS58        | A | 529831.85 | 516748.19 | 693.63        | 0.6              |        |     |    | 3.50 |              |              | 3.0          |          |
|             | B | 529856.40 | 516843.76 | 693.69        | 0.5              |        |     |    | 4.00 | 3.7          |              | 3.0          |          |
| GS59        | A | 529962.85 | 516934.85 | 696.21        | 0.8              |        |     |    | 3.80 |              |              | 5.0          | 0        |
|             | B | 529999.74 | 517024.59 | 694.35        | 0.8              |        |     |    | 3.90 | 3.8          |              | 6.0          | 0        |
| GS60        | A | 530235.19 | 517470.72 | 695.52        | (0.5)            |        |     |    | 2.90 |              |              | 2.5          |          |
|             | B | 530298.11 | 517558.57 | 696.87        | (0.5)            |        |     |    | 2.90 | 2.9          |              | 2.5          |          |
| GS61        | A | 530357.01 | 517760.66 | 697.87        | 0.4              | 1.20   |     |    | 2.60 |              |              | 1.5          | 9.5 11   |
|             | B | 530468.77 | 517801.39 | 697.43        | 0.4              | 1.20   | 1.2 |    | 2.60 | 2.6          |              | 1.5          | 10.0 12  |
| GS62        | A | 530620.84 | 517994.53 | 690.50        | 0.4              | 1.20   |     |    | 2.60 |              |              | 1.5          | 4.0 6    |
|             | B | 530668.86 | 518078.32 | 689.00        | 0.4              | 1.20   | 1.2 |    | 2.60 | 2.6          |              | 1.5          | 4.5 6    |
| GS63        | A |           |           |               | (0.3)            |        |     |    | 3.90 |              |              | 4.0          |          |
|             | B |           |           |               | (0.5)            |        |     |    | 3.90 | 3.9          |              | 2.5          |          |
| GS64        | A | 538681.43 | 521426.35 | 654.02        | 0.5              |        |     |    | 3.10 |              |              | 2.0          |          |
|             | B | 538778.43 | 521423.09 | 653.33        | 0.5              |        |     |    | 3.10 | 3.1          |              | 3.0          | 0        |
| GS65        | A | 538682.59 | 521390.12 | 653.91        | (0.3)            |        |     |    | 2.80 |              |              | 3.0          | 0        |
|             | B | 538678.41 | 521488.62 | 655.31        | (0.5)            |        |     |    | 2.80 | 2.8          |              | 3.0          |          |
| GS101       | A | 533053.42 | 519182.86 | 671.53        | 0.3              |        |     |    | 2.80 |              |              | 2.5          |          |
|             | B | 533053.28 | 519126.78 | 672.27        | 0.4              |        |     |    | 2.60 | 2.7          |              | 2.5          |          |
| GS102       | A | 533010.06 | 519002.23 | 674.50        | (0.4)            |        |     |    | 2.80 |              |              | 2.0          | 0        |
|             | B | 532986.38 | 518945.31 | 675.42        | (0.4)            |        |     |    | 3.20 | 3.0          |              | 3.0          | 0        |
| GS103       | A | 532970.29 | 518697.12 | 676.32        | (0.4)            |        |     |    | 3.10 |              |              | 3.0          | 0        |
|             | B | 532977.83 | 518641.37 | 676.34        | (0.4)            |        |     |    | 2.80 | 2.9          |              | 2.0          | 0        |
| GS104       | A | 533003.90 | 518590.20 | 677.51        | 0.7              |        |     |    | 2.10 |              |              | 2.0          |          |
|             | B | 533054.25 | 518566.14 | 677.64        | 0.5              |        |     |    | 2.80 | 2.4          |              | 3.0          |          |
| GS105       | A | 533035.47 | 518538.07 | 679.88        | 0.4              | (1.40) |     |    | 2.80 |              |              | 1.5          | 4.0 6    |
|             | B | 533132.42 | 518547.46 | 680.22        | 0.4              | (1.50) | 1.4 |    | 3.00 | 2.9          |              | 2.5          | 2.0 5    |

0 LÍMURIT ÖGREINILEGT  
D TULKUM ÖVISS  
0 MINNSTA BYPI A FAST

V = velocity / hljóðhradi  
u = up-dip / hallar upp  
d = down-dip / hallar niður  
t = true / rettur

ORKUSTOFNUN  
VATNSORKUDEILD

HLJÓÐHRADAMÆLINGAR  
SKAGAFJÖRÐUR 1981-1983

1984-02-28  
Blad 6 af 9 HB

| Hyll<br>nr. |   | Hnit                |           | Hæð<br>m úr s. | Hljóðhræðis km/s |        |     |       |     | Púkkirn      |              |              |
|-------------|---|---------------------|-----------|----------------|------------------|--------|-----|-------|-----|--------------|--------------|--------------|
|             |   | X-vestur            | Y-norður  |                | V1               | VúsvD  | Vt  | VúsvD | Vt  | 1. lög<br>h1 | 2. lög<br>h2 | 3. lög<br>h2 |
| GS106       | A | 533157.92           | 518424.59 | 676.26         | 0.4              | 1.60   |     | 3.40  |     | 1.5          | 4.5          | 6 0P         |
|             | B | 533177.29           | 518327.91 | 675.84         | 0.4              | 1.60   | 1.6 | 3.50  | 3.4 | 2.5          | 2.0          | 5 P          |
| GS107       | A | 533226.12           | 518313.45 | 673.65         | (0.4)            |        |     | 4.00  |     | 3.5          |              | 0            |
|             | B | 533174.10           | 518235.08 | 672.90         | (0.4)            |        |     | 3.90  | 3.9 | 3.0          |              | 0            |
| GS108       | A | 533029.18           | 518088.34 | 671.80         | 1.0              |        |     | 3.90  |     | 3.0          |              | 0            |
|             | B | 532958.19           | 518020.29 | 673.18         | (0.5)            |        |     | 4.50  | 4.2 | 3.0          |              | 0            |
| GS109       | A | 532787.83           | 517827.26 | 672.74         | 0.4              |        |     | 4.00  |     | (3.0)        |              | 0            |
|             | B | 532716.66           | 517749.35 | 672.61         | ?                |        |     | 4.90  | 4.4 | ?            |              | 0K           |
| GS110       | A | hja' Fastmerki 9890 |           |                | 0.6              |        |     | 3.50  |     | 2.0          |              | G            |
|             | B |                     |           |                | 0.6              |        |     | 3.30  | 3.4 | 2.0          |              |              |
| GS111       | A | 538697.32           | 521478.84 | 655.25         | (0.5)            |        |     | 2.90  |     | 4.5          |              |              |
|             | B | 538698.30           | 521574.09 | 658.72         | 0.5              | (1.20) |     | 3.00  | 2.9 |              | (4.5-8.5)    | D            |
| GS112       | A | 538767.45           | 521655.22 | 661.57         | 0.5              |        |     | 3.60  |     | 2.0          |              |              |
|             | B | 538834.75           | 521726.19 | 663.08         |                  | 2.00   |     | 3.60  | 3.6 | ?            |              | F            |
| GS113       | A | 538953.96           | 521789.87 | 664.39         | (0.5)            |        |     | 3.90  |     | 2.0          |              | 0            |
|             | B | 539025.56           | 521857.36 | 663.35         | (0.5)            |        |     | 3.80  | 3.8 | 2.0          |              |              |
| GS114       | A | 539267.66           | 522163.64 | 666.87         | (0.5)            |        |     |       | 3.7 |              |              | 0R           |
|             | B | 539354.73           | 522208.35 | 666.02         | (0.5)            |        |     |       |     |              | (2-6)        |              |
| GS115       | A | 539601.94           | 522400.27 | 663.84         | (0.5)            |        |     |       | 3.4 |              |              | 0R           |
|             | B | 539673.85           | 522465.48 | 663.25         | (0.5)            |        |     |       |     |              | (3-7)        |              |
| GS116       | A | 539880.80           | 522643.85 | 661.61         | (0.5)            |        |     |       | 3.9 |              |              | 0R           |
|             | B | 539947.96           | 522715.80 | 662.73         | (0.5)            |        |     |       |     |              | (2.5-5)      | K            |
| GS117       | A | 540202.89           | 523135.74 | 668.46         | (0.5)            |        |     |       | 3.0 |              |              | 0R           |
|             | B | 540280.48           | 523194.70 | 666.85         | (0.5)            |        |     |       |     |              | (2.5-5)      | K            |
| GS118       | A | 540468.67           | 523276.85 | 661.10         | 0.5              |        |     | 4.00  |     | 3.5          |              | 0R           |
|             | B | 540544.03           | 523340.24 | 660.77         | 0.5              |        |     |       |     | 2.0          |              | K            |
| GS119       | A | 540742.32           | 523453.11 | 657.60         | 0.5              |        |     | 3.60  |     | 2.0          |              | 0R           |
|             | B | 540827.62           | 523502.32 | 657.99         | 0.5              |        |     | 3.50  | 3.5 | 3.0          |              | KF           |
| GS120       | A | 540458.81           | 523401.98 | 670.09         | 0.6              |        |     | 2.00  |     | 2.0          |              |              |
|             | B | 540524.07           | 523476.26 | 671.34         | 0.7              |        |     | 2.10  | 2.0 | 2.0          |              | 0R           |
| GS121       | A | 540780.30           | 523592.96 | 669.41         | (0.5)            |        |     | 2.50  |     | (2.0)        |              |              |
|             | B | 540859.17           | 523651.41 | 672.92         | (0.5)            |        |     | 2.90  | 2.7 | (2.5)        |              |              |
| GS122       | A | 541010.68           | 523720.89 | 673.83         | (0.5)            |        |     | 2.90  |     | 2.0          |              | G            |
|             | B | 541065.71           | 523801.35 | 672.94         | (0.5)            |        |     | 3.50  | 3.2 | 2.5          |              |              |

0 LINURIT ÖGREINILEGT  
P HESTA BYPI A FAST  
0 MINNSTA BYPI A FAST  
K LIKLEGA KLAKI, ÖMURLEG AD SPA UHI BYPI  
G GÖÐ LINURIT

V = velocity / hljóðhræði  
u = up-dip / hallar upp  
d = down-dip / hallar niður  
t = true / réttur

D TULKUN ÖVISS  
E ÖFUS HLJÓÐHRADARAKTI

ORKUSTOFNUN  
VATNSORKUDEILD

HL JODHRADAMÆLINGAR  
SKAGAFJÖRDUR 1981-1983

1984-02-28  
Blad 7 af 9 HB

| Hæll<br>nr. |   | Hnít      |           | Hæð<br>m y.s. | Hljóðhraði: km/s |        |     |      | Þekktum     |             |             |          |
|-------------|---|-----------|-----------|---------------|------------------|--------|-----|------|-------------|-------------|-------------|----------|
|             |   | X-vestur  | Y-norður  |               | V1               | V2     | V3  | Vt   | 1.los<br>hl | 2.los<br>h2 | 3.los<br>h2 |          |
| GS123       | A | 541277.80 | 523895.62 | 669.10        | 0.9              |        |     | 2.90 |             | 6.0         |             | 00       |
|             | B | 541354.59 | 523957.18 | 667.43        | 0.5              |        |     | 1.80 | 2.2         | 2.5         |             | B        |
| GS124       | A | 541509.93 | 524075.26 | 665.62        | 0.5              |        |     | 2.20 |             | 1.5         |             | 6        |
|             | B | 541600.88 | 524110.61 | 663.91        | 0.5              |        |     | 2.20 | 2.2         | 2.0         |             |          |
| GS125       | A | 541870.18 | 524248.12 | 666.11        | (0.7)            |        |     | 2.00 |             | 8.0         |             | 0        |
|             | B | 541957.79 | 524291.72 | 667.49        | 0.7              |        |     | 1.80 | 1.9         | 4.5         |             |          |
| GS126       | A | 542177.14 | 524379.32 | 662.92        |                  |        |     | 4.10 |             | 1.0         |             |          |
|             | B | 542247.24 | 524448.30 | 663.09        |                  |        |     | 4.40 | 4.2         | 2.0         |             |          |
| GS127       | A | 542417.12 | 524510.23 | 656.04        | 0.6              |        |     | 3.00 |             | 5.5         |             | 0        |
|             | B | 542511.11 | 524493.59 | 655.53        | 0.5              | 1.20   |     | 2.90 | 2.9         | 2.0         | 5.0         | 7        |
| GS130       | A | 533811.54 | 516449.42 | 677.93        | 0.5              | 1.40   |     | 3.00 |             | 2.0         | 4.0         | 6        |
|             | B | 533800.47 | 516351.72 | 679.75        | 0.5              | 1.40   | 1.4 | 3.20 | 3.1         | 2.0         | 4.0         | 6        |
| GS131       | A | 533767.48 | 516108.50 | 683.10        | 0.5              | 1.30   |     | 3.00 |             | 2.0         | 5.5         | 8 P      |
|             | B | 533772.34 | 516011.06 | 683.98        | 0.5              | 1.30   | 1.3 | 3.00 | 3.0         | 2.0         | 7.0         | 9        |
| GS132       | A | 533985.91 | 515684.20 | 684.16        | 0.4              | 1.00   |     | 3.20 |             | 1.5         | 4.5         | 6        |
|             | B | 534033.22 | 515607.49 | 683.14        | 0.4              | (1.00) | 1.0 | 3.00 | 3.1         | 2.5         |             | (2.5-6)0 |
| GS133       | A | 534154.65 | 515503.16 | 685.82        | 0.4              |        |     | 2.80 |             | 2.0         |             | 6        |
|             | B | 534066.22 | 515461.50 | 685.30        | 0.4              |        |     | 3.10 | 2.9         | 2.5         |             |          |
| GS134       | A | 534098.99 | 515204.42 | 681.06        | 0.4              | 1.10   |     | 3.10 |             | 2.0         | 5.0         | 7        |
|             | B | 534117.85 | 515106.91 | 679.68        | 0.4              | 1.60   | 1.3 | 3.00 | 3.0         | 2.0         | 4.0         | 6        |
| GS140       | A | 519434.41 | 510972.82 | 709.10        | 0.5              |        |     | 2.20 |             | 2.5         |             | 0        |
|             | B | 519342.03 | 511004.88 | 708.95        | 0.5              |        |     | 2.00 | 2.1         | 3.5         |             | H        |
| GS141       | A | 519187.16 | 510956.90 | 701.61        | (0.5)            | 1.40   |     | 3.00 |             | 3.0         | 7.0         | 10 G     |
|             | B | 519099.26 | 510912.34 | 700.41        | (0.5)            | 1.30   | 1.3 | 2.70 | 2.8         | 2.5         | 5.0         | 8        |
| GS142       | A | 518835.69 | 510869.59 | 716.63        | 0.5              |        |     |      |             | 2.5         |             | 00       |
|             | B | 518756.82 | 510809.66 | 714.92        | 0.5              | 1.40   |     |      |             | 2.5         |             | 0        |
| GS143       | A | 517972.38 | 511100.32 | 724.63        | 0.5              |        |     |      |             | 2.5         |             | 00       |
|             | B | 517885.28 | 511055.87 | 725.34        | 0.6              |        |     |      |             | 5.0         |             | 0        |
| GS144       | A | 517477.59 | 510251.45 | 728.58        | (0.4)            | 1.00   |     | 2.20 |             | 1.5         | 3.5         | 5        |
|             | B | 517459.96 | 510156.04 | 728.95        | (0.4)            | 0.90   | 0.9 | 2.60 | 2.4         | 1.5         | 5.5         | 7        |
| GS145       | A | 517557.02 | 509879.18 | 725.06        | (0.5)            |        |     | 2.80 |             | 2.5         |             | B        |
|             | B | 517494.69 | 509804.32 | 727.79        | (0.5)            |        |     | 2.90 | 2.8         | 3.5         |             |          |
| GS146       | A | 517533.36 | 509666.37 | 734.67        | (0.5)            | (1.10) |     | 2.50 |             |             |             | (2-6) B  |
|             | B | 517539.54 | 509567.71 | 733.96        | (0.5)            | (1.50) | 1.3 | 2.20 | 2.3         |             |             | (3-10)   |

0 LIMURIT ÖGREINILEGT  
 0 KINNSTA DYPI A FAST  
 B FULKUN ÖVISS  
 G GÖB LIMURIT  
 P NESTA DYPI A FAST  
 H HÖGULEIKI A PUNNU <4m h2

V = velocity / hljóðhraði  
 u = u-dip / hallar uer  
 d = down-dip / hallar niður  
 t = true / réttur

ORKUSTOFNUN  
VATNSORKUDEFILD

HLJÓÐHRADAMÉLINGAR  
SKAGAFJÖRDUR 1981-1983

1984-02-28  
Blad 8 af 9 HB

| Hell<br>nr. |   | Hnit      |           | Hæð<br>m s.s. | Hljóðhraði km/s |                                |                |                                |                | Þekktum     |             |             |
|-------------|---|-----------|-----------|---------------|-----------------|--------------------------------|----------------|--------------------------------|----------------|-------------|-------------|-------------|
|             |   | X-vestur  | Y-norður  |               | U1              | U <sub>sv</sub> U <sub>d</sub> | U <sub>t</sub> | U <sub>sv</sub> U <sub>d</sub> | U <sub>t</sub> | 1.lag<br>h1 | 2.lag<br>h2 | 3.lag<br>h2 |
| GS147       | A | 517631.18 | 509470.42 | 723.30        | 0.5             | 1.30                           |                | 4.00                           |                | 2.0         | 8.0         | 10.6        |
|             | B | 517683.60 | 509386.51 | 722.99        | 0.4             | 1.60                           | 1.4            | 3.90                           | 3.9            | 2.5         | 5.0         | 8           |
| GS150       | A | 529269.84 | 513928.45 | 692.30        | (0.5)           |                                |                | 2.50                           |                | 2.0         |             |             |
|             | B | 529270.37 | 513984.09 | 692.37        | 0.5             | 1.80                           |                | 3.00                           | 2.7            | 2.0         |             |             |
| GS151       | A | 529253.60 | 514018.33 | 690.36        | (0.5)           |                                |                | 3.50                           |                | 2.5         |             |             |
|             | B | 529246.81 | 514072.98 | 689.43        | 0.5             |                                |                | 2.80                           | 3.1            | 1.5         |             |             |
| GS152       | A | 529219.47 | 514112.74 | 690.25        | (0.5)           |                                |                | 3.50                           |                | 1.5         |             | 6           |
|             | B | 529239.33 | 514208.23 | 691.30        | 0.5             |                                |                | 3.90                           | 3.7            | 3.0         |             |             |
| GS153       | A | 529237.17 | 514524.58 | 703.28        | 0.7             |                                |                | 3.40                           |                | 7.0         |             | 00          |
|             | B | 529333.69 | 514542.11 | 702.04        | 0.4             | 1.80                           |                | 3.60                           | 3.5            | 4.0         | 11.0        | 15          |
| GS154       | A | 538668.87 | 521360.45 | 655.16        | 0.5             |                                |                |                                | 3.0            |             |             | 0           |
|             | B | 538694.33 | 521397.56 | 653.34        | 0.5             |                                |                |                                | 3.0            | 2.0         |             | 0           |
| GS155       | A | 538730.62 | 521293.18 | 656.17        | 0.6             |                                |                | 2.20                           |                | 3.0         |             | 0           |
|             | B | 538762.31 | 521326.23 | 655.49        | 0.5             |                                |                | 3.00                           | 2.5            | 4.5         |             | 0           |
| GS156       | A | 538711.74 | 521593.46 | 659.48        | 0.5             |                                |                | 4.60                           |                | 3.5         |             | 0           |
|             | B | 538667.59 | 521657.56 | 659.89        | 0.5             |                                |                | 4.60                           | 4.6            | 3.0         |             | 0           |

G GOD LINURIT  
 0 HINNSTA DYPI A FAST  
 B FULKUN ÖVISS  
 0 LINURIT ÖGREINILEGT

V = velocity / hljóðhraði  
 u = up-dip / hallar nor  
 d = down-dip / hallar suður  
 t = true / réttur



VIÐAUKI C

Coraborun - Töflur

**ORKUSTOFNUN**

VATNSORKUDEILD

82.12.20 IPM

**COBRABORUN**

HOFSAFRETT 1982

**NEDRA STAFNSVATN**

| Hnitakerfi: Lambert |               | Hæð<br>yfir-<br>borðs<br>(m) | Nafn<br>punkts | Dypt<br>holu<br>(m) | Borad<br>nidur<br>í hæð<br>(m) | Athugasemd<br>gerð Þegar<br>hætt var<br>að bora |
|---------------------|---------------|------------------------------|----------------|---------------------|--------------------------------|---|
| X-hnit<br>(m)       | Y-hnit<br>(m) |                              |                |                     |                                |   |
| 538701.2            | 521576.8      | 658.9                        | GC00           | 0.60                | 658.3                          | FAST  |
| 538701.5            | 521544.7      | 657.9                        | GC01           | 0.40                | 657.5                          | FAST  |
| 538700.0            | 521509.8      | 655.8                        | GC02           | 1.20                | 654.6                          | HÆTT  |
| 538697.1            | 521474.6      | 655.3                        | GC03           | 1.90                | 653.4                          | FAST  |
| 538692.8            | 521441.8      | 654.3                        | GC04           | 3.60                | 650.7                          |   |
| 538685.0            | 521409.9      | 653.4                        | GC05           | 1.80                | 651.6                          | FAST  |
| 538685.8            | 521377.1      | 654.3                        | GC06           | 2.03                | 652.3                          | STOPP   |
| 536974.5            | 521034.3      | 658.3                        | GC07           | 2.30                | 656.0                          | HÆTT  |
| 536973.9            | 521013.2      | 659.3                        | GC08           | 1.75                | 657.5                          | HÆTT  |
| 536978.3            | 520980.8      | 658.9                        | GC09           | 6.70                | 652.2                          | STOPP   |
| 536980.4            | 520945.9      | 661.7                        | GC10           | 2.20                | 659.5                          |   |
| 534885.4            | 522178.5      | 667.6                        | GC11           | 2.20                | 665.4                          | FAST  |
| 534918.4            | 522150.9      | 664.1                        | GC12           | 1.80                | 662.3                          | FAST  |
| 534956.1            | 522127.6      | 660.2                        | GC13           | 2.00                | 658.2                          | HÆTT  |
| 534991.9            | 522102.8      | 659.0                        | GC14           | 0.60                | 658.3                          | STOPP   |
| 535027.2            | 522077.0      | 657.9                        | GC15           | 1.00                | 656.9                          | STOPP   |
| 535063.5            | 522051.7      | 655.1                        | GC16           | 2.75                | 652.4                          | STOPP   |
| 535098.0            | 522026.0      | 654.6                        | GC17           | 1.10                | 653.5                          | FAST  |
| 535132.9            | 522000.5      | 653.8                        | GC18           | 4.60                | 649.2                          | STOPP   |
| 535168.9            | 521975.3      | 653.4                        | GC19           | 1.10                | 652.3                          | STOPP   |
| 535204.0            | 521950.8      | 652.4                        | GC20           | 1.00                | 651.4                          | STOPP   |
| 535245.1            | 521922.1      | 650.8                        | GC21           | 3.10                | 647.7                          | FAST  |
| 535282.3            | 521896.5      | 651.4                        | GC22           | 3.90                | 647.5                          | FAST  |
| 535317.2            | 521872.4      | 651.9                        | GC23           | 0.90                | 651.0                          | HÆTT  |
| 535353.6            | 521848.7      | 654.1                        | GC24           | 3.70                | 650.4                          | FAST  |
| 535389.1            | 521823.7      | 653.2                        | GC25           | 2.75                | 650.4                          | STOPP   |
| 535425.1            | 521798.3      | 654.6                        | GC26           | 1.50                | 653.1                          | STOPP   |
| 535460.5            | 521773.9      | 658.4                        | GC27           | 3.20                | 655.2                          | STOPP   |
| 535496.0            | 521749.5      | 661.0                        | GC28           | 1.30                | 659.7                          | HÆTT  |
| 535531.5            | 521724.6      | 662.2                        | GC29           | 1.65                | 660.5                          | KLÖPP   |
| 535573.1            | 521704.0      | 660.1                        | GC30           | 2.40                | 657.7                          | STOPP   |
| 535615.4            | 521682.7      | 660.5                        | GC31           | 2.10                | 658.5                          | FAST  |
| 535657.8            | 521660.0      | 663.2                        | GC32           | 1.70                | 661.5                          | FAST  |
| 535700.4            | 521634.7      | 667.0                        | GC33           | 1.20                | 665.8                          | STOPP   |

ORKUSTOFNUN

VATNSORKUDEILD  
83.12.08 GP, GHV

COBRABORUN

HOFSAFRETT

| Hnitakerfi: Lambert |               | Hæð<br>yfir-<br>borðs<br>(m) | Nafn<br>punkts | Dypt<br>holu<br>(m) | Borð<br>númer<br>í hæð<br>(m) | Athugasemd<br>gerð Pesar<br>hætt var<br>að bora |
|---------------------|---------------|------------------------------|----------------|---------------------|-------------------------------|---|
| X-hnit<br>(m)       | Y-hnit<br>(m) |                              |                |                     |                               |   |
| 524162.8            | 511396.9      | 711.8                        | GC101          | 1.50                | 710.3                         | FAST  |
| 524192.4            | 511490.7      | 711.1                        | GC102          | 9.40                | 701.7                         | FAST  |
| 524220.8            | 511582.7      | 710.3                        | GC103          | 8.30                | 702.0                         | FAST  |
| 524245.3            | 511672.8      | 708.3                        | GC104          | 8.70                | 699.6                         | FAST  |
| 524276.0            | 511763.6      | 708.8                        | GC105          | 7.80                | 701.0                         | FAST  |
| 524334.6            | 511845.1      | 708.5                        | GC106          | 10.30               | 698.2                         | FAST  |
| 524346.9            | 511940.8      | 708.3                        | GC107          | 10.40               | 697.9                         | STOPP   |
| 524383.5            | 512027.9      | 707.2                        | GC108          | 7.10                | 700.1                         | FAST  |
| 524062.6            | 511492.0      | 713.4                        | GC109          | 1.60                | 711.8                         | STOPP   |
| 524087.1            | 511539.4      | 712.4                        | GC110          | 1.60                | 710.8                         | HATT  |
| 524116.2            | 511636.6      | 716.0                        | GC111          | 1.20                | 714.8                         | STOPP   |
| 524162.6            | 511629.3      | 709.7                        | GC112          | 3.90                | 705.8                         | FAST  |
| 524186.1            | 511723.8      | 710.5                        | GC113          | 6.50                | 704.0                         | FAST  |
| 524229.1            | 511815.1      | 710.3                        | GC114          | 10.10               | 700.2                         | FAST  |
| 524273.2            | 511898.2      | 709.8                        | GC115          | 12.40               | 697.4                         | FAST  |
| 524317.1            | 511989.1      | 708.4                        | GC116          | 12.20               | 696.2                         | HATT  |
| 523740.0            | 511644.6      | 719.9                        | GC117          | 1.25                | 718.6                         | FAST  |
| 523815.4            | 511711.1      | 717.5                        | GC118          | 1.10                | 716.4                         | FAST  |
| 523855.2            | 511799.6      | 715.2                        | GC119          | 0.60                | 714.6                         | GRJOT   |
|                     |               |                              | GC120          | 0.80                |                               | FAST  |
|                     |               |                              | GC121          | 1.50                |                               | STOPP   |
| 524071.4            | 512002.3      | 711.0                        | GC122          | 8.20                | 702.8                         | FAST  |
| 524143.4            | 512071.5      | 709.2                        | GC123          | 6.60                | 702.6                         | HATT  |
| 524221.1            | 512130.3      | 707.7                        | GC124          | 7.40                | 700.3                         | FAST  |
| 524301.6            | 512111.9      | 707.0                        | GC125          | 5.60                | 701.4                         | STOPP   |
| 522978.7            | 510453.6      | 714.2                        | GC126          | 2.40                | 711.8                         | STOPP   |
|                     |               |                              | GC127          | 1.90                |                               | STOPP   |
| 523008.2            | 510727.2      | 715.6                        | GC128          | 8.60                | 707.0                         | STOPP   |
| 523105.1            | 511005.0      | 721.1                        | GC129          | 2.60                | 718.5                         | STOPP   |
| 523171.9            | 510980.3      | 719.9                        | GC130          | 3.40                | 716.5                         | HATT  |
| 523423.7            | 511198.4      | 720.4                        | GC131          | 4.30                | 716.1                         | FAST  |
| 523575.2            | 511209.9      | 719.5                        | GC132          | 3.20                | 716.3                         | HATT  |
| 522986.4            | 509365.5      | 693.6                        | GC133          | 7.30                | 686.3                         | FAST  |
| 523185.1            | 509793.1      | 718.5                        | GC134          | 2.10                | 716.4                         | HATT  |
| 523109.8            | 509935.0      | 720.0                        | GC135          | 1.60                | 718.4                         | FAST  |
| 523290.6            | 510039.4      | 720.0                        | GC136          | 1.90                | 718.1                         | FAST  |
| 523701.1            | 510330.1      | 721.1                        | GC137          | 2.30                | 718.8                         | FAST  |
| 523729.2            | 510266.7      | 721.5                        | GC138          | 6.30                | 715.3                         | STOPP   |
| 523963.0            | 511029.1      | 725.3                        | GC139          | 1.80                | 723.5                         | HATT  |
| 524678.4            | 508518.9      | 712.5                        | GC140          | 1.70                | 710.8                         | FAST  |
| 524649.9            | 508465.5      | 710.2                        | GC141          | 3.10                | 707.1                         | STOPP   |
| 524672.2            | 508681.4      | 710.6                        | GC142          | 11.00               | 699.6                         | FAST  |
| 524516.1            | 511311.7      | 710.4                        | GC143          | 1.40                | 709.0                         | HATT  |
| 524770.8            | 511610.1      | 711.5                        | GC144          | 2.60                | 708.9                         | HATT  |
| 524832.0            | 511770.7      | 711.9                        | GC145          | 3.10                | 708.8                         | STOPP   |
| 525317.1            | 513411.1      | 707.2                        | GC146          | 1.60                | 705.6                         | STOPP   |
| 525665.4            | 513440.6      | 707.0                        | GC147          | 1.60                | 705.4                         | FAST  |
| 525666.2            | 513429.4      | 707.7                        | GC148          | 1.30                | 706.4                         | FAST  |
| 525741.5            | 513440.9      | 706.8                        | GC149          | 3.90                | 702.9                         | FAST  |
| 526972.2            | 513591.5      | 698.9                        | GC150          | 6.40                | 692.5                         | FAST  |

ORKUSTOFNUN

CORRABORUN

VATNSORKUDEILD

HOFSAFRETT

B3.12.08 GP,GHV

| Hnitakerfi: Lambert |               | Hæð<br>yfir-<br>borðs<br>(m) | Nafn<br>punkts | Dypt<br>holu<br>(m) | Borad<br>nidur<br>i hæð<br>(m) | Athugasemd<br>gerð þegar<br>hætt var<br>að bora |
|---------------------|---------------|------------------------------|----------------|---------------------|--------------------------------|---|
| X-hnit<br>(m)       | Y-hnit<br>(m) |                              |                |                     |                                |   |
| 527050.0            | 513631.2      | 698.2                        | GC151          | 5.80                | 692.4                          | HATT  |
| 527156.2            | 513659.0      | 698.0                        | GC152          | 6.10                | 691.9                          | FAST  |
| 527251.5            | 513685.2      | 697.6                        | GC153          | 5.00                | 692.6                          | HATT  |
| 527339.3            | 513718.4      | 696.8                        | GC154          | 3.90                | 692.9                          | HATT  |
| 527507.2            | 513776.2      | 696.3                        | GC155          | 3.10                | 693.2                          | STOPP   |
|                     |               |                              | GC156          | 4.10                |                                | STOPP   |
| 527705.1            | 513855.5      | 695.5                        | GC157          | 3.70                | 691.8                          | STOPP   |
| 527804.3            | 513877.9      | 695.1                        | GC158          | 1.40                | 693.7                          | HATT  |
| 527901.4            | 513893.4      | 694.3                        | GC159          | 0.90                | 693.3                          | STEINN  |
| 527996.1            | 513915.1      | 694.1                        | GC160          | 2.40                | 691.7                          | STOPP   |
| 528066.2            | 513938.6      | 693.6                        | GC161          | 3.30                | 690.3                          | STOPP   |
| 528178.1            | 513967.5      | 693.4                        | GC162          | 7.40                | 686.0                          | FAST  |
| 528276.8            | 513988.6      | 693.5                        | GC163          | 1.60                | 692.0                          | STOPP   |
| 528291.4            | 513972.5      | 692.9                        | GC164          | 9.20                | 683.7                          | FAST  |
| 528387.9            | 514017.4      | 692.8                        | GC165          | 5.10                | 687.7                          | FAST  |
| 528469.9            | 514071.6      | 692.2                        | GC166          | 1.70                | 690.5                          | STOPP   |
|                     |               |                              | GC167          | 2.10                |                                | STOPP   |
| 528558.4            | 514250.8      | 692.5                        | GC168          | 5.10                | 687.4                          | FAST  |
| 528567.7            | 514358.6      | 692.6                        | GC169          | 5.50                | 687.1                          | FAST  |
| 528599.7            | 514425.9      | 693.1                        | GC170          | 6.60                | 686.5                          | FAST  |
| 528742.2            | 514590.2      | 693.3                        | GC171          | 3.70                | 689.6                          | FAST  |
| 528973.0            | 515032.4      | 693.1                        | GC172          | 3.20                | 689.9                          | FAST  |
| 529133.2            | 515421.4      | 693.0                        | GC173          | 2.10                | 690.9                          | STOPP   |
| 529254.1            | 515730.0      | 693.1                        | GC174          | 3.10                | 690.0                          | FAST  |
| 529296.8            | 515820.6      | 693.0                        | GC175          | 2.90                | 690.2                          | STOPP   |
| 529337.3            | 515927.9      | 694.4                        | GC176          | 1.60                | 692.8                          | HATT  |
| 529366.7            | 515926.8      | 694.0                        | GC177          | 3.20                | 690.8                          | HATT  |
| 529365.1            | 515999.5      | 693.1                        | GC178          | 2.20                | 690.9                          | HATT  |
| 529403.9            | 516094.5      | 693.0                        | GC179          | 3.50                | 689.5                          | FAST  |
| 529428.8            | 516227.1      | 692.7                        | GC180          | 2.10                | 690.6                          | STOPP   |
| 529463.2            | 516315.5      | 693.1                        | GC181          | 1.60                | 691.5                          | STOPP   |
| 529500.7            | 516413.1      | 694.8                        | GC182          | 2.20                | 692.6                          | STOPP   |
| 529543.9            | 516504.6      | 692.7                        | GC183          | 1.60                | 691.0                          | HATT  |
| 530897.3            | 518307.0      | 688.5                        | GC184          | 4.00                | 684.5                          | STOPP   |
| 531045.3            | 518500.7      | 688.5                        | GC185          | 1.60                | 686.9                          | STOPP   |
| 531184.6            | 518576.6      | 688.7                        | GC186          | 2.00                | 686.7                          | FAST  |
| 531291.7            | 518632.0      | 688.6                        | GC187          | 1.00                | 687.6                          | STOPP   |
| 531335.0            | 518740.9      | 688.7                        | GC188          | 4.30                | 684.4                          | FAST  |
| 531418.7            | 518817.4      | 688.8                        | GC189          | 2.70                | 686.1                          | FAST  |
| 531484.6            | 518890.3      | 688.7                        | GC190          | 2.70                | 686.0                          | FAST  |
| 531556.0            | 518953.6      | 688.7                        | GC191          | 6.20                | 682.5                          | STOPP   |
| 531637.0            | 519037.4      | 688.7                        | GC192          | 6.00                | 682.7                          | STOPP   |
| 531730.1            | 519094.0      | 688.3                        | GC193          | 3.40                | 684.9                          | FAST  |
| 531805.7            | 519185.5      | 688.2                        | GC194          | 9.30                | 678.9                          | STOPP   |
| 531939.1            | 519223.0      | 687.3                        | GC195          | 7.00                | 680.3                          | HATT  |
| 525823.3            | 513439.8      | 706.5                        | GC196          | 1.00                | 705.5                          | FAST  |
| 525889.3            | 513373.0      | 706.1                        | GC197          | 1.80                | 704.3                          | FAST  |
| 525972.8            | 513365.2      | 705.7                        | GC198          | 2.60                | 703.1                          | FAST  |
| 526055.0            | 513367.6      | 706.4                        | GC199          | 5.80                | 700.6                          | HATT  |
| 526136.4            | 513332.0      | 706.7                        | GC200          | 4.50                | 702.2                          | HATT  |

ORKUSTOFNUN

VATNSORKUDEILD  
83.12.08 GP, GHV

COBRABORUN

HOFSAFRETT

| Hnitakerfi: Lambert |               | Hæð<br>sfir-<br>borðs<br>(m) | Nafn<br>punkts | Dypt<br>holu<br>(m) | Borð<br>nidur<br>í hæð<br>(m) | Athugasemur<br>gerð þessar<br>hætt var<br>að borð |
|---------------------|---------------|------------------------------|----------------|---------------------|-------------------------------|---|
| X-hnit<br>(m)       | Y-hnit<br>(m) |                              |                |                     |                               |   |
| 526238.9            | 513361.8      | 704.0                        | GC201          | 3.80                | 700.3                         | HATT  |
| 526336.9            | 513360.1      | 703.0                        | GC202          | 1.50                | 701.5                         | STOPP   |
| 526426.6            | 513416.3      | 702.7                        | GC203          | 3.20                | 699.5                         | HATT  |
| 526532.1            | 513384.1      | 701.6                        | GC204          | 2.00                | 699.6                         | FAST  |
| 526698.6            | 513449.0      | 700.4                        | GC205          | 6.90                | 693.5                         | STOPP   |
| 529649.2            | 516674.7      | 693.6                        | GC206          | 1.50                | 692.1                         | FAST  |
| 529795.1            | 516724.4      | 694.0                        | GC207          | 2.90                | 691.1                         | STOPP   |
| 529848.3            | 516813.5      | 693.7                        | GC208          | 2.30                | 691.4                         | FAST  |
| 529909.2            | 516898.9      | 694.0                        | GC209          | 2.20                | 691.8                         | HATT  |
| 529980.4            | 516978.3      | 695.7                        | GC210          | 0.80                | 694.9                         | FAST  |
| 530053.2            | 517281.4      | 691.1                        | GC211          | 1.00                | 690.1                         | FAST  |
| 530135.0            | 517412.3      | 698.4                        | GC212          | 1.30                | 697.1                         | HATT  |
| 530278.3            | 517515.5      | 696.0                        | GC213          | 1.80                | 694.2                         | STOPP   |
| 530442.6            | 517716.6      | 693.5                        | GC214          | 1.30                | 692.2                         | KLÖPP FAST  |
| 530564.3            | 517863.3      | 694.0                        | GC215          | 3.00                | 691.0                         | HATT  |
| 530659.0            | 518048.5      | 689.1                        | GC216          | 1.20                | 687.9                         | KLÖPP FAST  |
| 533062.2            | 519235.7      | 670.7                        | GC217          | 5.60                | 665.1                         | STOPP   |
| 533056.4            | 519125.6      | 672.3                        | GC218          | 2.60                | 669.7                         | FAST  |
| 533042.3            | 519050.7      | 674.2                        | GC219          | 3.60                | 670.6                         | STOPP   |
| 533004.9            | 518937.5      | 675.5                        | GC220          | 3.00                | 672.5                         | HATT  |
| 532984.3            | 518848.7      | 676.3                        | GC221          | 4.80                | 671.5                         | HATT  |
| 533005.8            | 518593.2      | 677.5                        | GC222          | 1.60                | 676.0                         | HATT  |
| 533062.8            | 518509.9      | 678.0                        | GC223          | 1.20                | 676.8                         | FAST  |
| 533098.1            | 518451.4      | 678.3                        | GC224          | 1.80                | 676.5                         | FAST  |
| 533218.6            | 518329.7      | 673.7                        | GC225          | 2.30                | 671.4                         | FAST  |
| 533198.6            | 518263.3      | 673.1                        | GC226          | 2.60                | 670.5                         | FAST  |
| 533178.3            | 518170.7      | 670.2                        | GC227          | 1.20                | 669.0                         | FAST  |
| 533071.4            | 518103.6      | 671.3                        | GC228          | 1.50                | 669.8                         | FAST  |
| 532981.6            | 518049.4      | 672.8                        | GC229          | 1.10                | 671.7                         | FAST  |
| 532918.1            | 517971.3      | 673.5                        | GC230          | 1.60                | 671.9                         | FAST  |
| 532851.5            | 517916.4      | 675.5                        | GC231          | 1.60                | 673.9                         | FAST  |
| 532805.2            | 517828.1      | 672.4                        | GC232          | 2.40                | 670.0                         | HATT  |
| 532758.3            | 517754.6      | 671.2                        | GC233          | 1.70                | 669.5                         | HATT  |
| 532706.1            | 517666.8      | 670.3                        | GC234          | 2.00                | 668.3                         | HATT  |
| 532650.8            | 517589.3      | 672.0                        | GC235          | 1.80                | 670.2                         | HATT  |
| 532608.6            | 517521.8      | 671.3                        | GC236          | 1.80                | 669.5                         | FAST  |
| 532548.3            | 517444.7      | 670.2                        | GC237          | 1.90                | 668.3                         | HATT  |
|                     |               |                              | GC238          | 1.00                |                               | FAST  |



VÍÐAUKI D

Kjarna-og Titringsholur - Töflur og Snið

KJARNA OG-TITRINGSHOLUR

| X-HNIT   | Y-HNIT   | HÆÐ   | HEITI HOLA |
|----------|----------|-------|------------|
| 523506.4 | 510255.8 | 731.9 | GL01       |
| 522973.0 | 510488.2 | 715.1 | GL02       |
| 523948.0 | 511878.2 | 713.5 | GBL01      |
| 524295.5 | 511420.0 | 708.7 | GBL02      |
| 523115.4 | 511024.2 | 721.2 | GK03       |
| 523411.7 | 511151.8 | 720.9 | GK04       |
| 523718.3 | 511285.6 | 730.0 | GK05       |



VIÐAUKI E

Samánburður dýptarákvörðunar hljóðhraðamælinga og kjarnaholur - Tafla

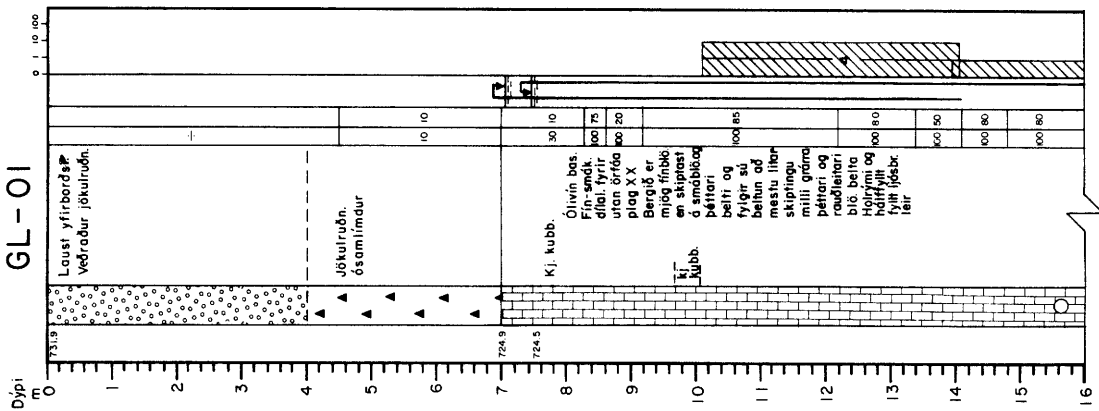
| Borhola                  |                 | Borhola   | Hljóðhraðam.  | Samanburður  |
|--------------------------|-----------------|---|---|--|
| kjarnah.                 | titringsh.      | niðurst.  | niðurstöður   |  |
| GL01<br>(GS7)            |                 | 0-4 m laust yfirb.<br>4-7 m jökulruðn.<br>fra 7 m olivin<br>basalt<br><br>JVB a 7 m | V1=V2=0.9 km/s<br><br>V3 = 4 km/s<br>H = 6.5 m  | Þykkt yfirborð-<br>lags næstum sama<br>og jökulruðn.kemur<br>út eins og eitt<br>hljóðhraðalag með<br>hraða 0.9 km/s<br>dýptar útreikn.<br>á "fast" passa saman |
| GL02<br>(GS8)<br>(GS26)  |                 | 0-2.5m laust yfirb.<br>2.5-6m jökulruðn.<br>fra 6 m olivin<br>basalt<br>JVB a 3 m   | Oviss V1 og V2<br>V1 = 0.4-0.6 (?)<br>V2 = 1.1-1.3 (?)<br>V3 = 2.9-3.4 km/s<br>H = 6-20 m (?) | Ósamræmi á milli<br>hljóðhraðam í<br>kringum holu GL02.<br>Svæði er merkt<br>"óviss".Þarf að<br>ath.jarfræði betur   |
| GK03<br>(GS28)           |                 | 0-6 m laust jökulr.<br>fra 6 m basalt<br>JVB a 6 m                                  | V1 = 0.6 km/s<br>V3 = 3.3 km/s<br>H = 4.5 m   | Hola er ca.40 m frá<br>GS28.Nærlig.cobrahola<br>stoppaði á 2.6 m   |
| GK04<br>(GS30)<br>(GS29) |                 | 0-4 m laust (?)<br>fra 4 m basalt<br>JVB a 2.5 m                                    | V1 = 0.5 km/s<br>V3 = 3 km/s<br>H = 4 m   | Gott samræmi á<br>milli hljóðhraða,<br>cobrah. og kjarnah.   |
|                          | GBL01<br>(GS32) | 0-4.5 m laust<br>fra 4.5 fast   | V1 = 0.5 km/s<br>V3 = 2.6 km/s<br>H = 5-6 m   | Passar ágætlega<br>saman   |
|                          | GBL02<br>(SA03) | 0-8 m laust<br>fra 8 m fast   | V1 = 0.6 km/s<br>V3 = 4.1 km/s<br>H = 7-8 m   | Passar ágætlega<br>saman   |

VIÐAUKI F

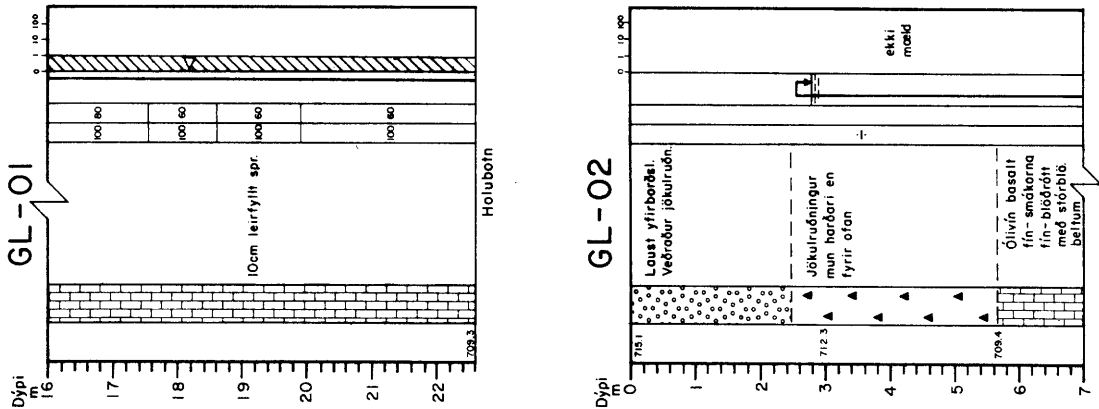
Kjarnaholur - Sníð

VOD-MJ-645-GIGU  
84.03.042B-EK

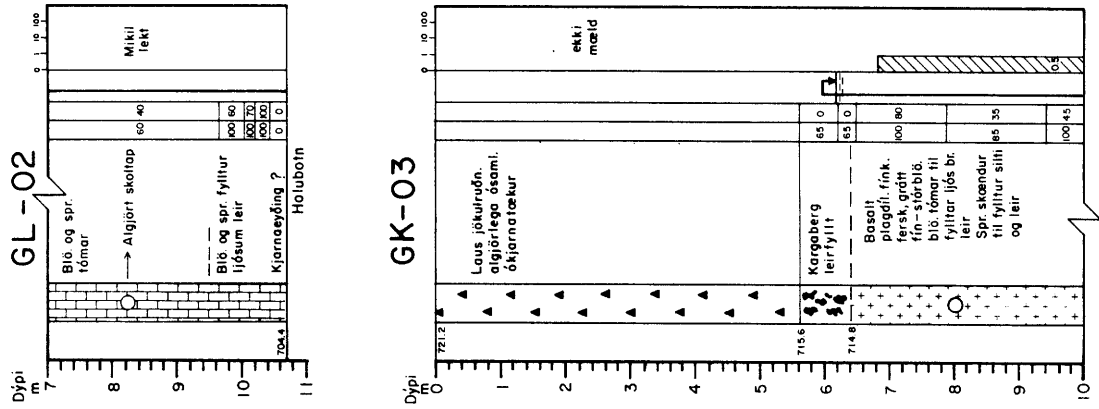
|         |                |                |
|---------|----------------|----------------|
| HEÐ     | GREINING       | LEKT           |
| Eirvötn | CLASSIFICATION | PERME- ABILITY |
|         |                | LU             |
|         |                | UVB            |
|         |                | GWT            |
|         |                | ABILITY        |
|         |                | LU             |
|         |                | ROD            |
|         |                | Kjarni/Coef %  |



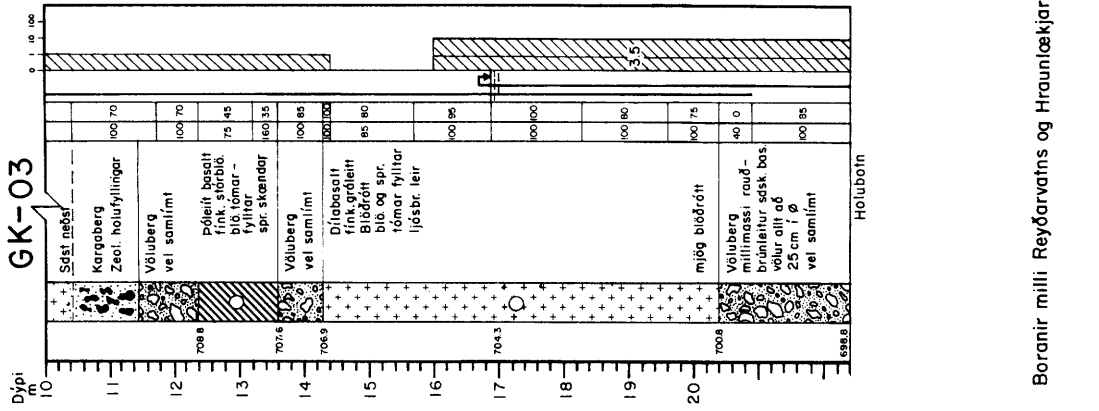
|         |                |                |
|---------|----------------|----------------|
| HEÐ     | GREINING       | LEKT           |
| Eirvötn | CLASSIFICATION | PERME- ABILITY |
|         |                | LU             |
|         |                | UVB            |
|         |                | GWT            |
|         |                | ABILITY        |
|         |                | LU             |
|         |                | ROD            |
|         |                | Kjarni/Coef %  |



|         |                |                |
|---------|----------------|----------------|
| HEÐ     | GREINING       | LEKT           |
| Eirvötn | CLASSIFICATION | PERME- ABILITY |
|         |                | LU             |
|         |                | UVB            |
|         |                | GWT            |
|         |                | ABILITY        |
|         |                | LU             |
|         |                | ROD            |
|         |                | Kjarni/Coef %  |



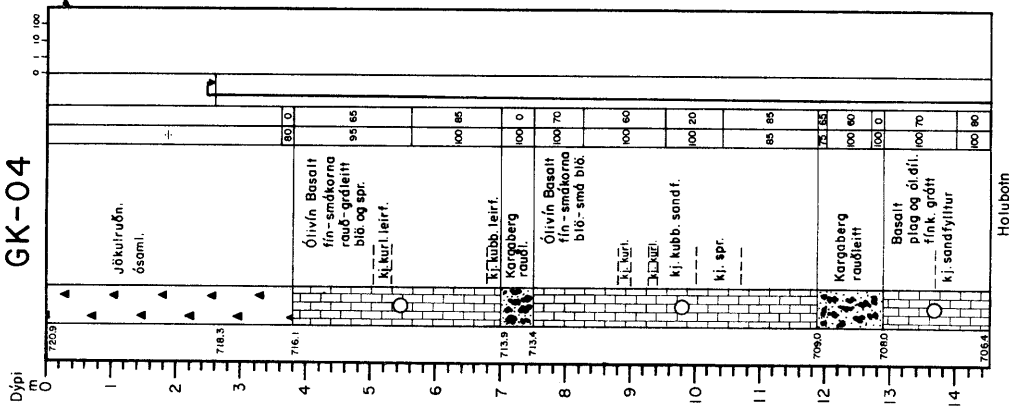
|         |                |                |
|---------|----------------|----------------|
| HEÐ     | GREINING       | LEKT           |
| Eirvötn | CLASSIFICATION | PERME- ABILITY |
|         |                | LU             |
|         |                | UVB            |
|         |                | GWT            |
|         |                | ABILITY        |
|         |                | LU             |
|         |                | ROD            |
|         |                | Kjarni/Coef %  |



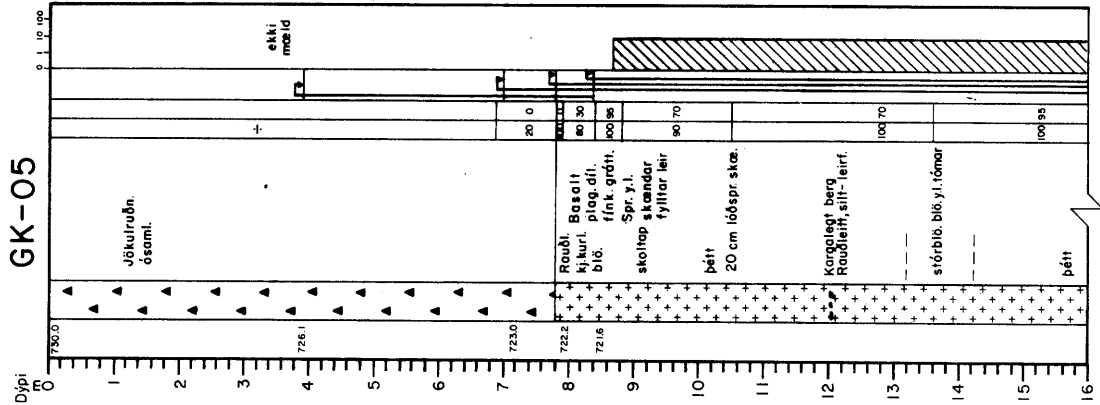
Boranir milli Reyðvatns og Hraunlækjar

V00-MJ-645-GIGU  
84.03.0429-EK

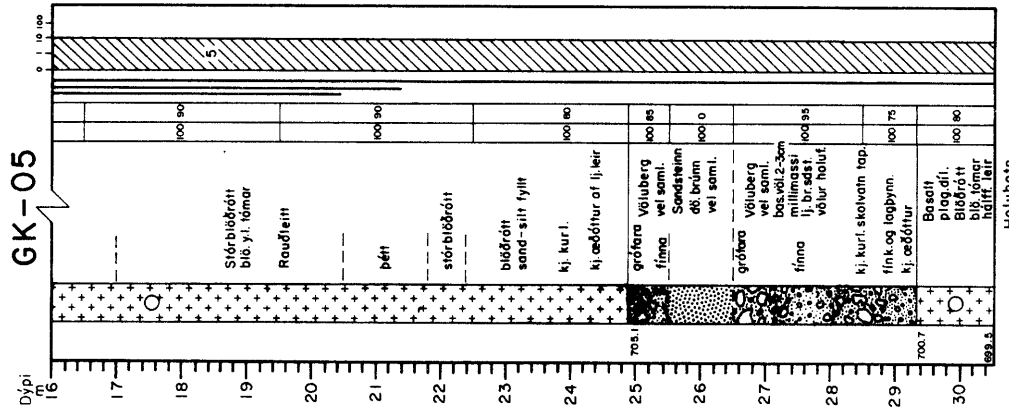
|           |                |              |      |     |         |
|-----------|----------------|--------------|------|-----|---------|
| HEÐ       | GREINING       | Kjarni/Corr% | Q100 | JVB | LEKT    |
| Elevation | CLASSIFICATION |              |      | GWT | PERME-  |
|           |                |              |      |     | ABILITY |
|           |                |              |      |     | LU      |



|           |                |              |      |     |         |
|-----------|----------------|--------------|------|-----|---------|
| HEÐ       | GREINING       | Kjarni/Corr% | Q100 | JVB | LEKT    |
| Elevation | CLASSIFICATION |              |      | GWT | PERME-  |
|           |                |              |      |     | ABILITY |
|           |                |              |      |     | LU      |



|           |                |              |      |     |         |
|-----------|----------------|--------------|------|-----|---------|
| HEÐ       | GREINING       | Kjarni/Corr% | Q100 | JVB | LEKT    |
| Elevation | CLASSIFICATION |              |      | GWT | PERME-  |
|           |                |              |      |     | ABILITY |
|           |                |              |      |     | LU      |



Borarnir milli Reyðarvatns og Hraunlækjar



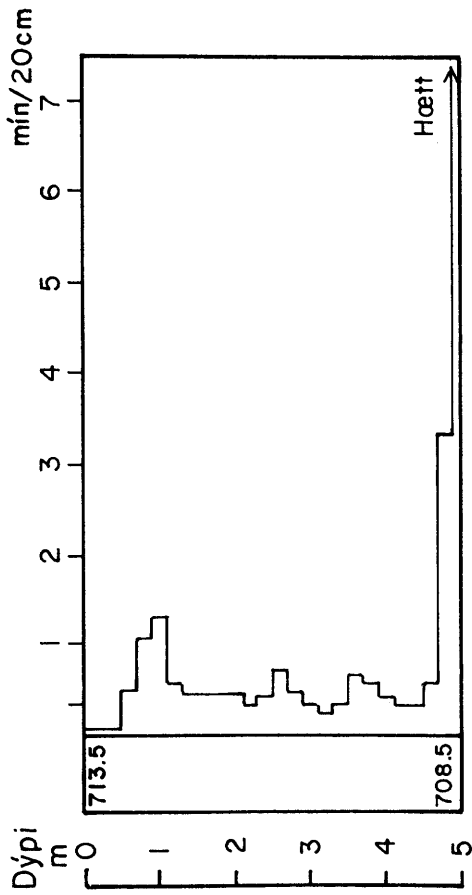
VOD · MJ · 645 · AIG/GiGu  
'84.02.0284 · EK

### Borróholur við Reyðarvatn

|             |                    |
|-------------|--------------------|
| H<br>F<br>B | Borhraði og lýsing |
|-------------|--------------------|

|             |                    |
|-------------|--------------------|
| H<br>F<br>B | Borhraði og lýsing |
|-------------|--------------------|

#### GBL-01



#### GBL-02

